

Zeitschrift: Bericht der Eidgenössischen Kommission zur Überwachung der Radioaktivität

Herausgeber: Eidgenössische Kommission zur Überwachung der Radioaktivität

Band: 30 (1987-1988)

Heft: 2: Figures & tableaux

Anhang: [Figures 3]

Nutzungsbedingungen

Die ETH-Bibliothek ist die Anbieterin der digitalisierten Zeitschriften auf E-Periodica. Sie besitzt keine Urheberrechte an den Zeitschriften und ist nicht verantwortlich für deren Inhalte. Die Rechte liegen in der Regel bei den Herausgebern beziehungsweise den externen Rechteinhabern. Das Veröffentlichen von Bildern in Print- und Online-Publikationen sowie auf Social Media-Kanälen oder Webseiten ist nur mit vorheriger Genehmigung der Rechteinhaber erlaubt. [Mehr erfahren](#)

Conditions d'utilisation

L'ETH Library est le fournisseur des revues numérisées. Elle ne détient aucun droit d'auteur sur les revues et n'est pas responsable de leur contenu. En règle générale, les droits sont détenus par les éditeurs ou les détenteurs de droits externes. La reproduction d'images dans des publications imprimées ou en ligne ainsi que sur des canaux de médias sociaux ou des sites web n'est autorisée qu'avec l'accord préalable des détenteurs des droits. [En savoir plus](#)

Terms of use

The ETH Library is the provider of the digitised journals. It does not own any copyrights to the journals and is not responsible for their content. The rights usually lie with the publishers or the external rights holders. Publishing images in print and online publications, as well as on social media channels or websites, is only permitted with the prior consent of the rights holders. [Find out more](#)

Download PDF: 14.04.2026

ETH-Bibliothek Zürich, E-Periodica, <https://www.e-periodica.ch>

Fig.3.1: Activité de l'air à Fribourg (aérosol)

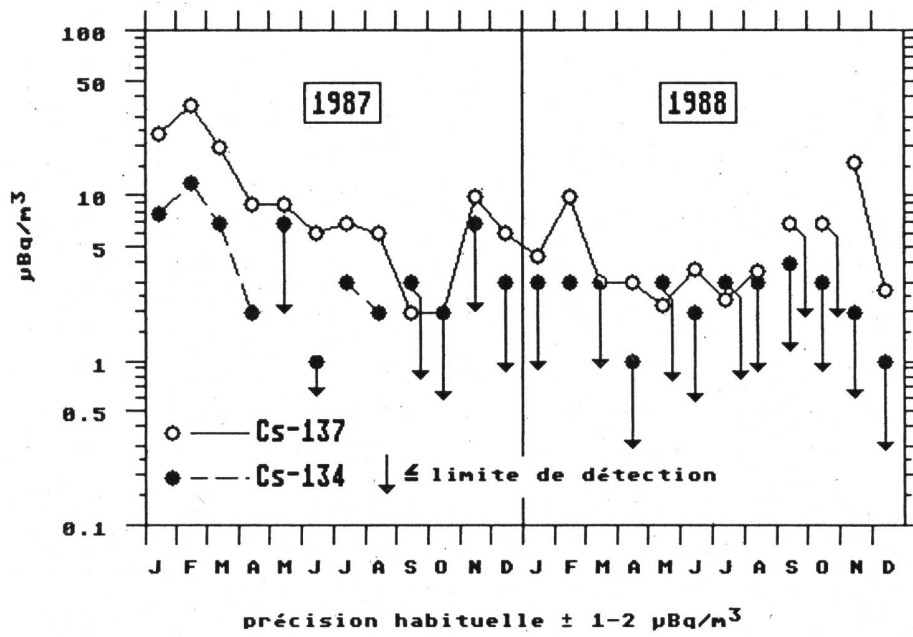


Fig.3.2: Activité de l'air à Gösgen (aérosol)

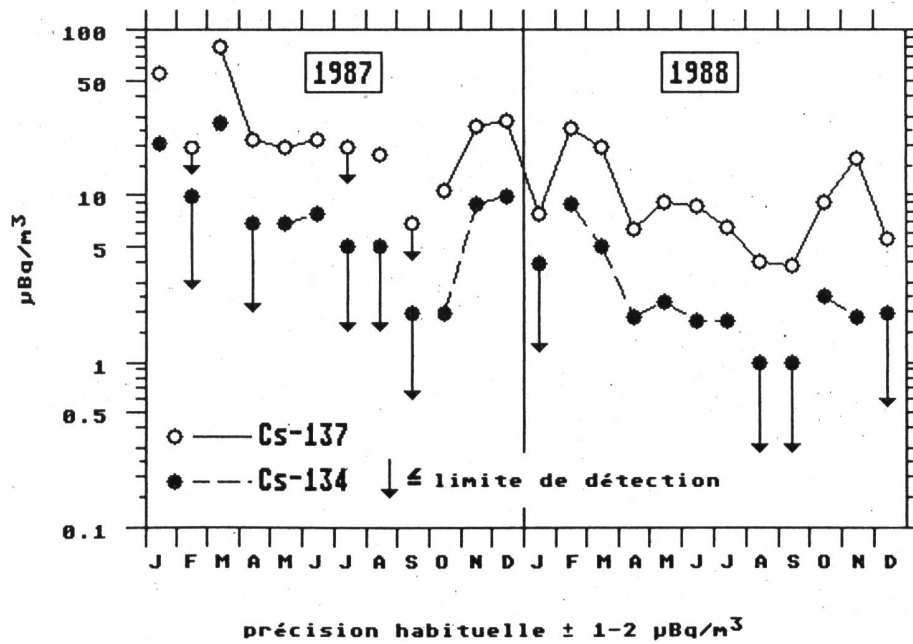
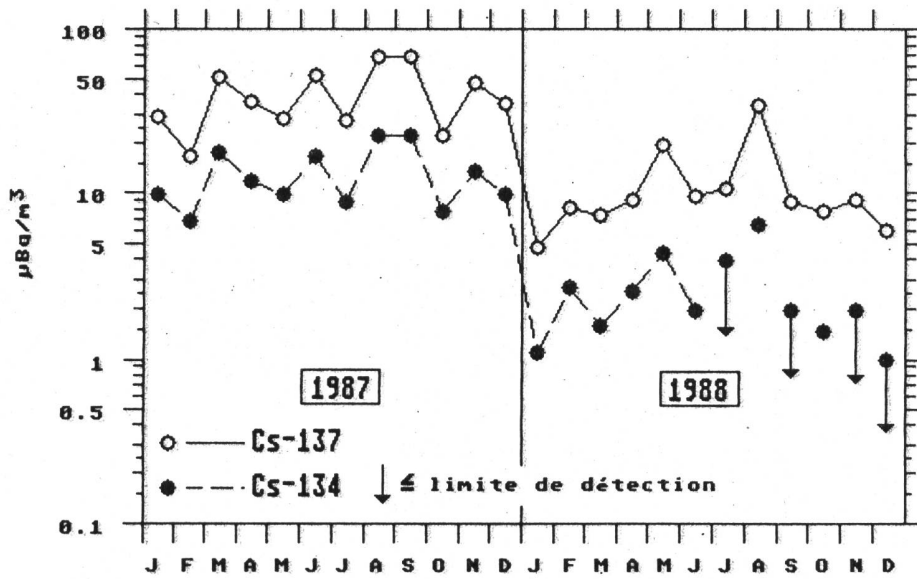
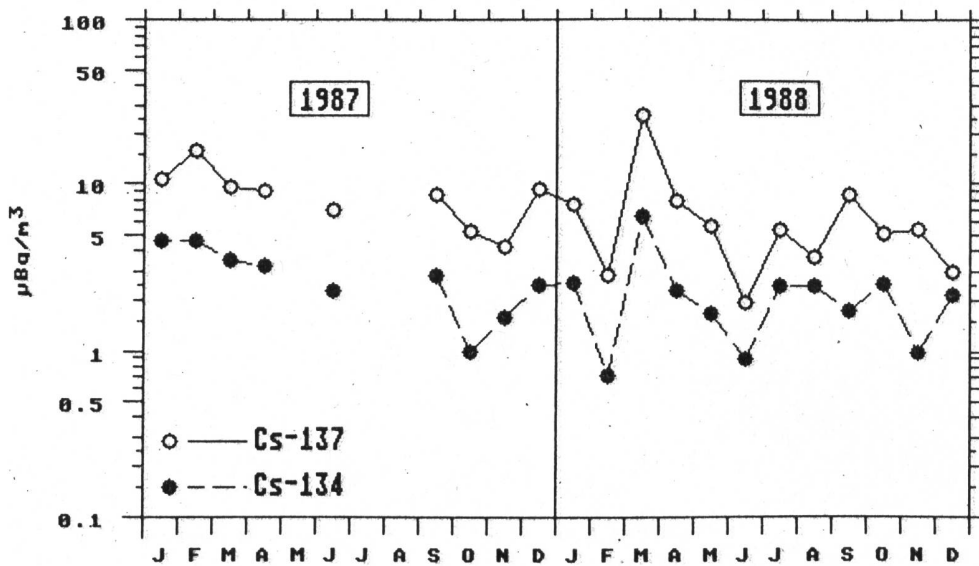


Fig.3.3: Activité de l'air à Leibstadt (aérosol)



précision habituelle \pm 1-2 $\mu\text{Bq}/\text{m}^3$

Fig.3.4: Activité de l'air à Mühleberg (aérosol)



précision habituelle \pm 1-2 $\mu\text{Bq}/\text{m}^3$

Fig. 3.5: Ar-37 dans la troposphère de Berne

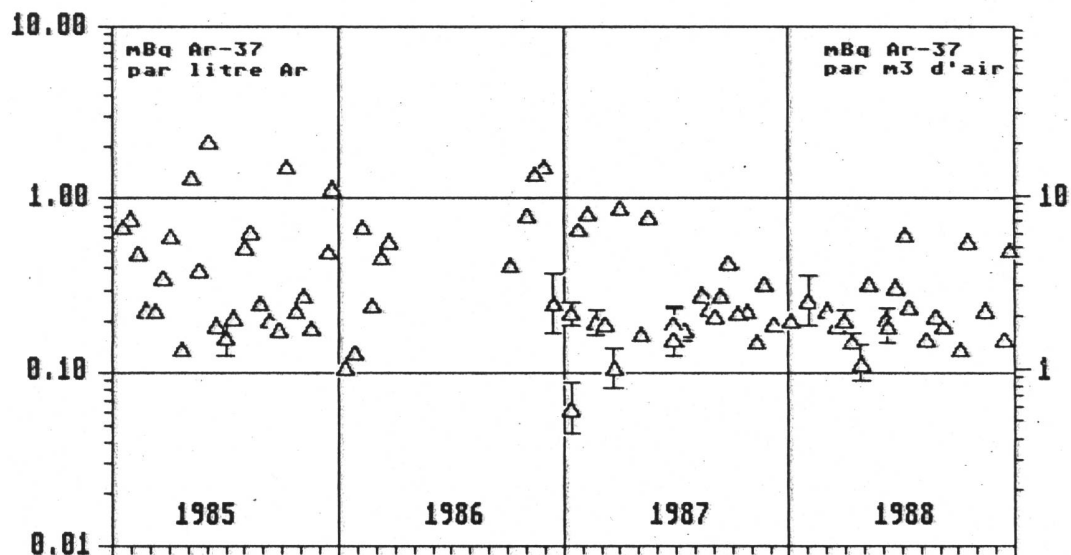
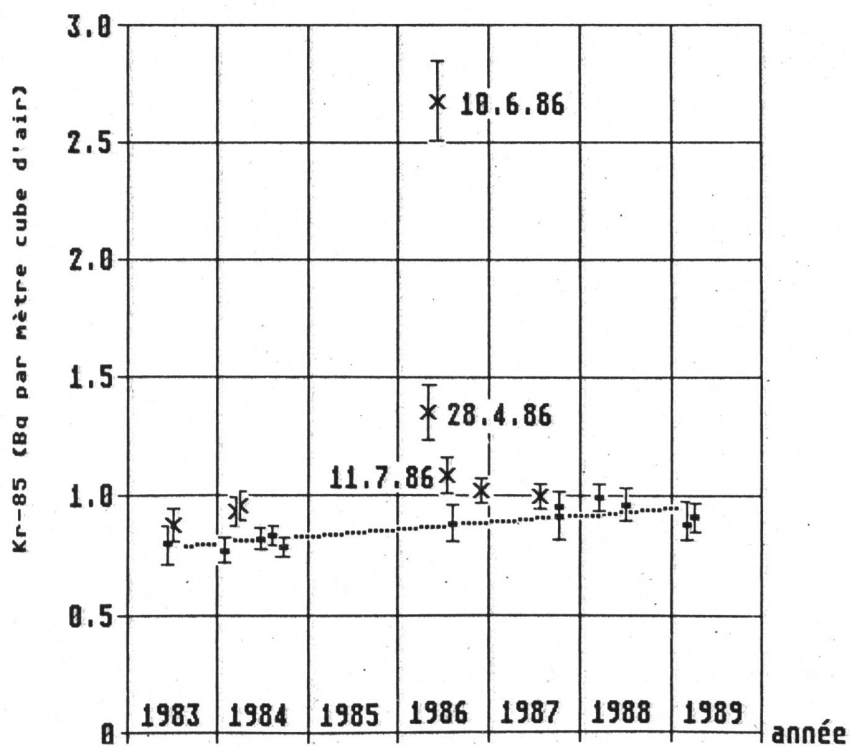


Fig. 3.6: Kr-85 dans les échantillons d'air de Berne



Points utilisés pour la régression linéaire : \ast

Fig.3.7: Activité- β -totale dans la pluie en 1987

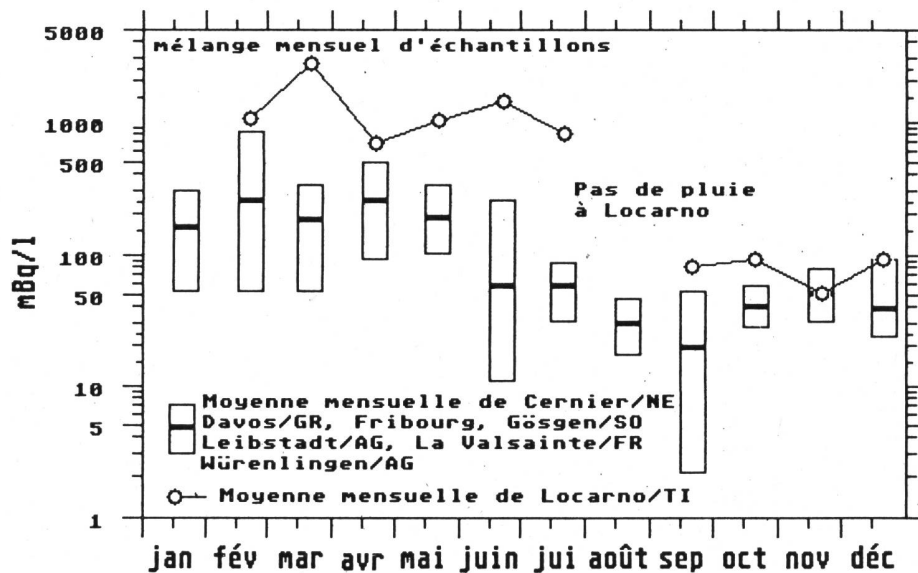


Fig.3.8: Radioactivité dans la pluie en 1988

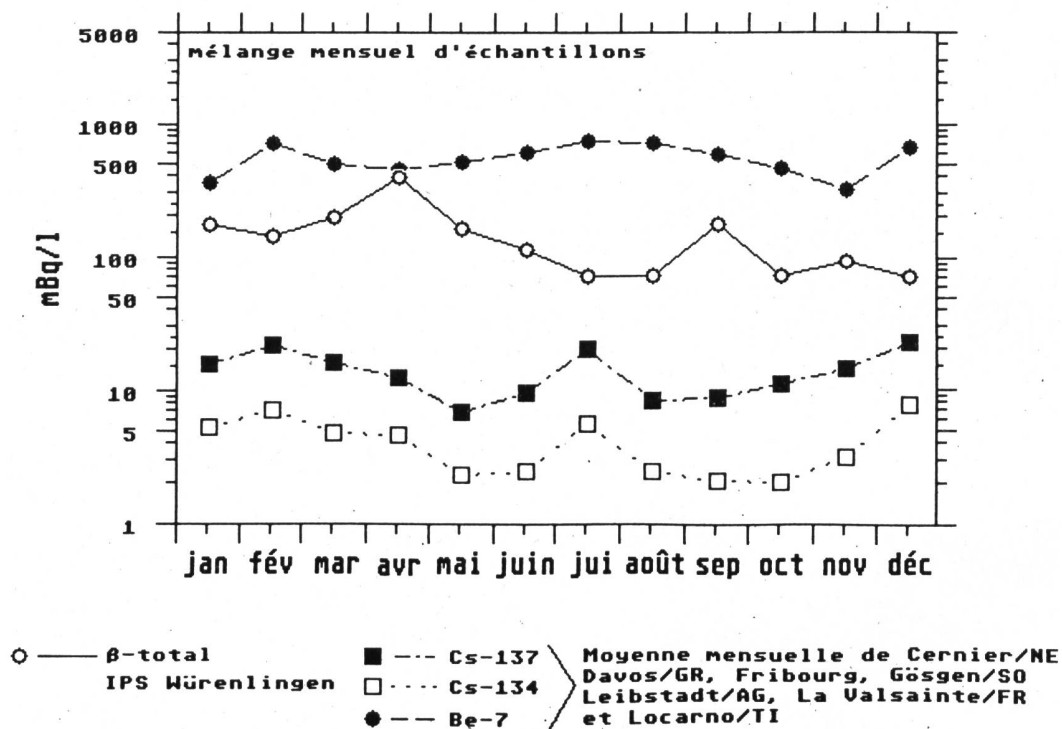


Fig.3.9: Tritium dans les précipitations de Bâle et du Säntis

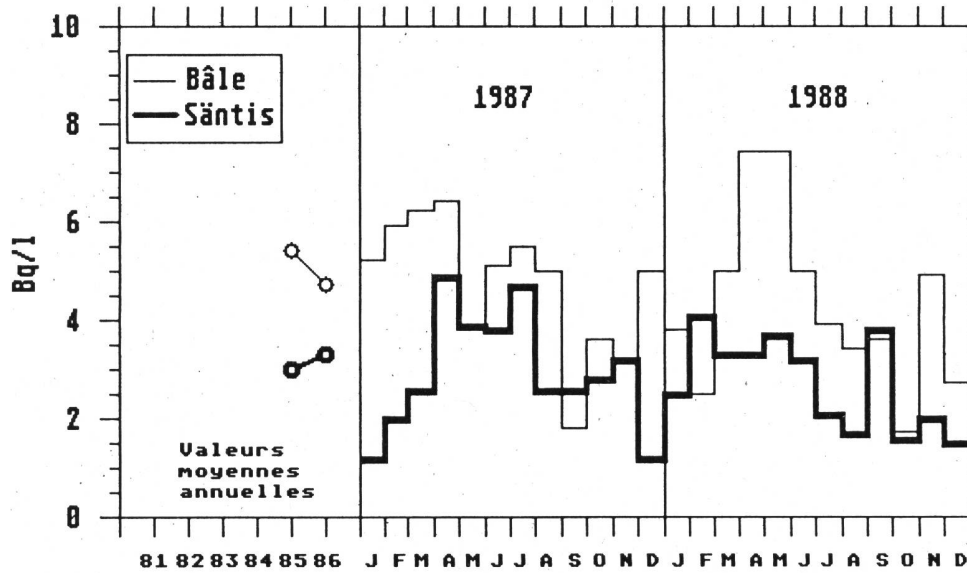


Fig.3.10: Tritium dans les précipitations de Grindelwald / BE et de Guttannen / BE

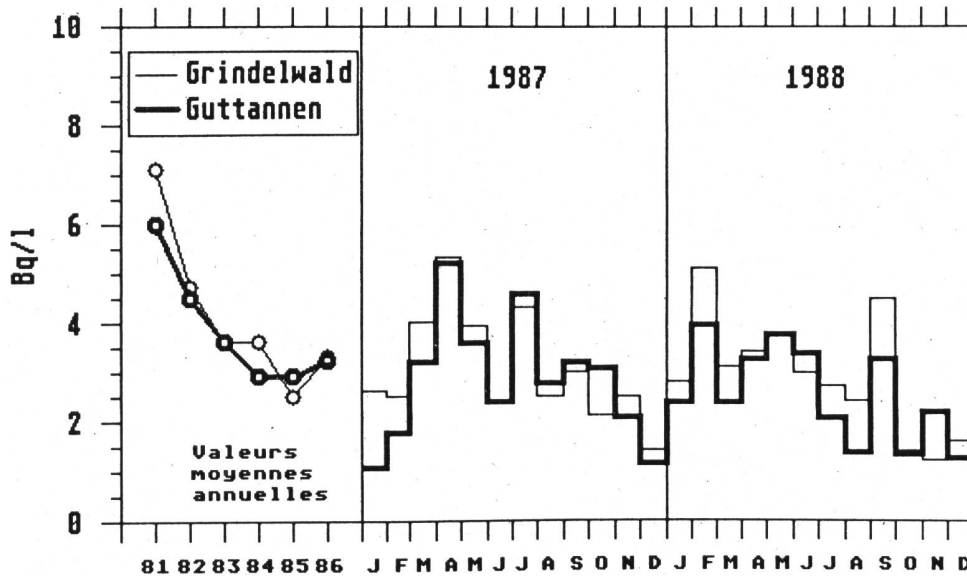


Fig.3.11: Tritium dans les précipitations de Viège / VS et de Locarno / TI

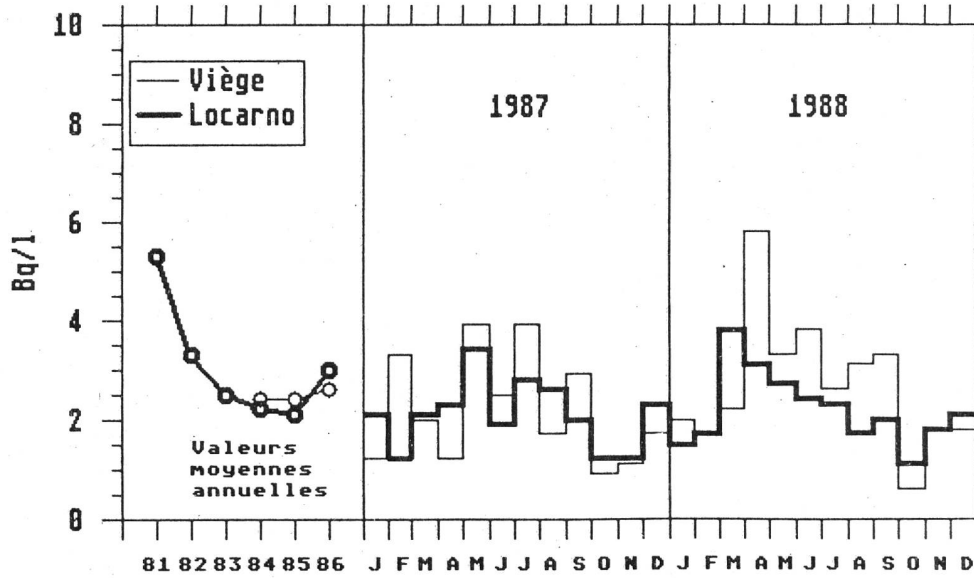


Fig.3.12: Tritium dans les précipitations de Berne

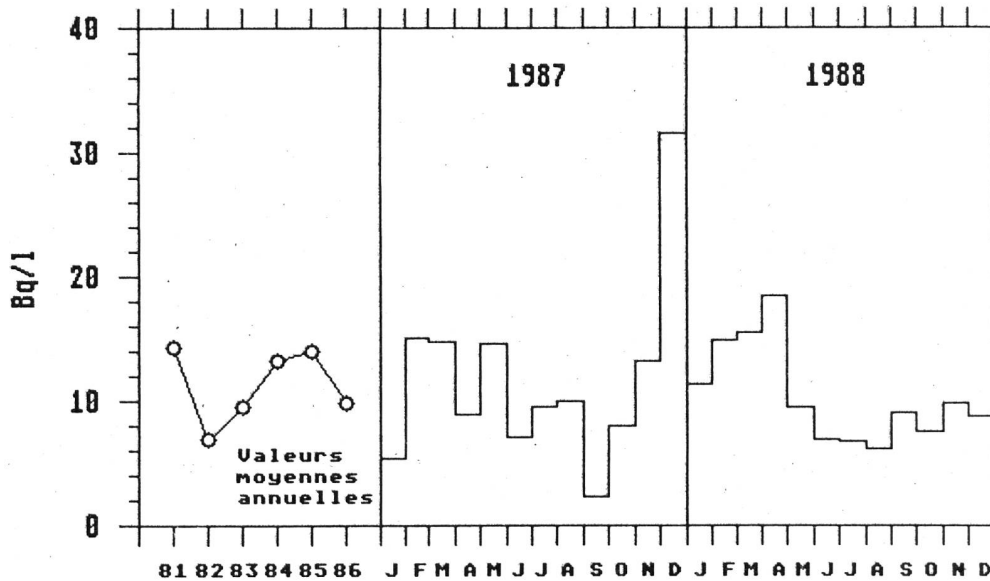


Fig.3.13: Tritium dans les précipitations de Niedergösgen / SO et de Dulliken / SO

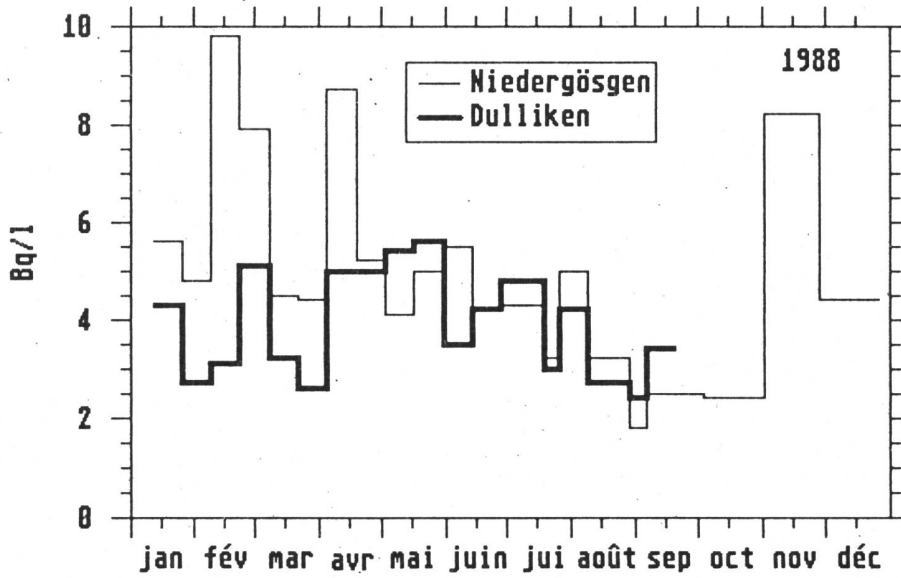
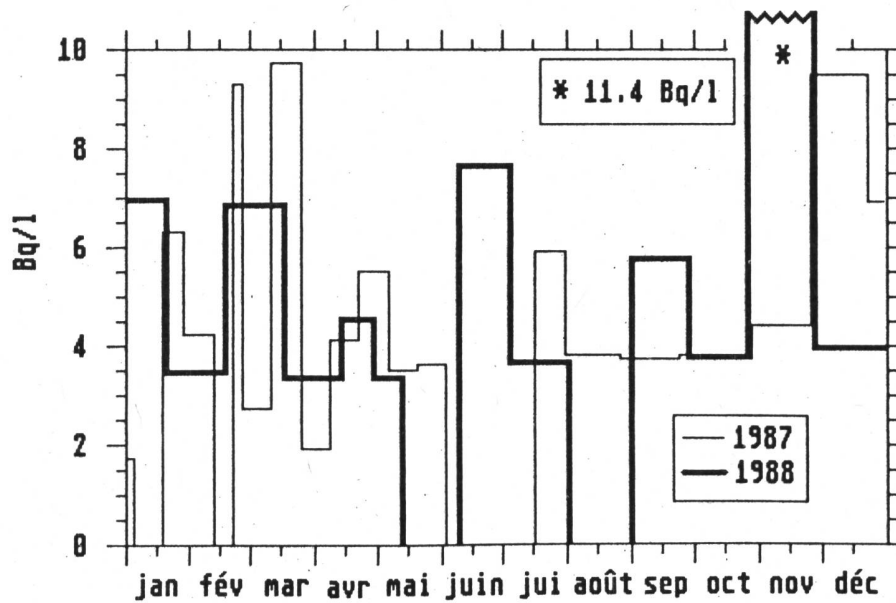


Fig.3.14: Tritium dans les précipitations de la CN Mühleberg (Ufem Horn)



**Fig.3.15: Exposition externe au Tessin
mesurée en mai 1987 (nSv/h)
par la SEPA du canton du Tessin**

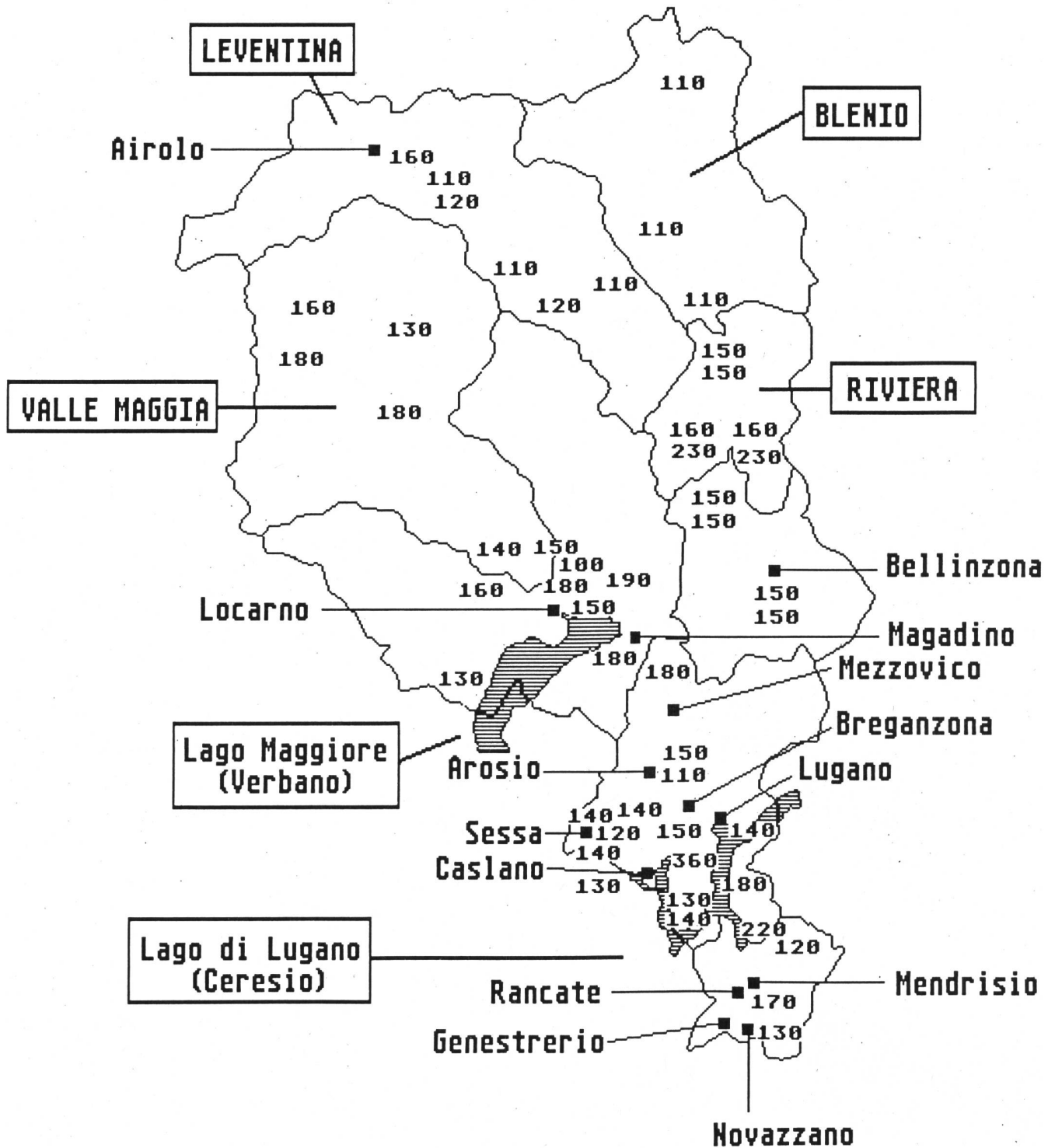


Fig. 3.16.a: Influence des précipitations sur le débit de dose à la station NADAM de NEUCHÂTEL 9.9.1988

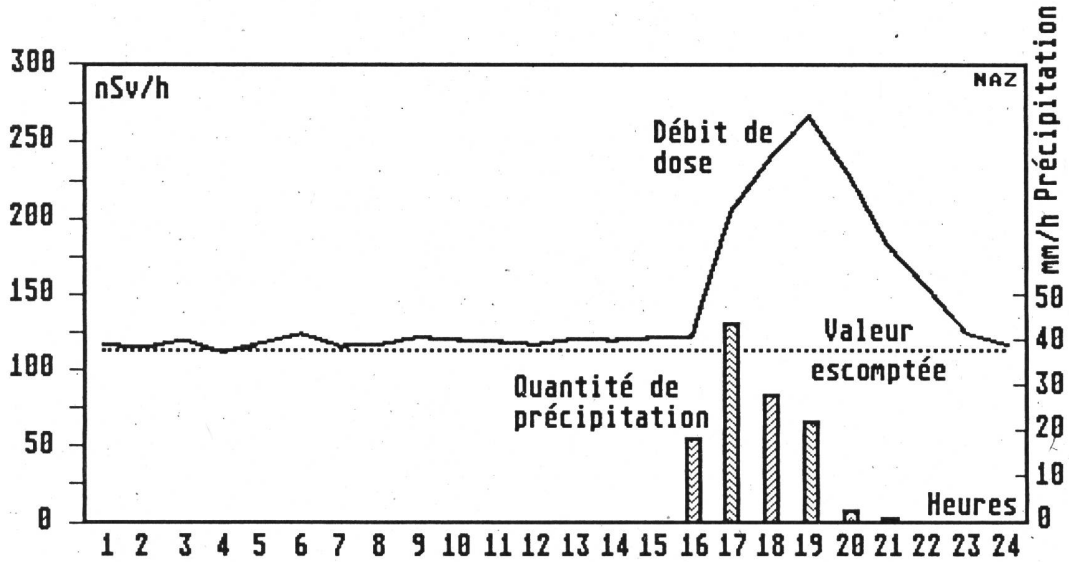


Fig. 3.16.b: Influence des chutes de neige sur le débit de dose à la station NADAM de LA CHAUX-DE-FONDS, 1. trim. 1988

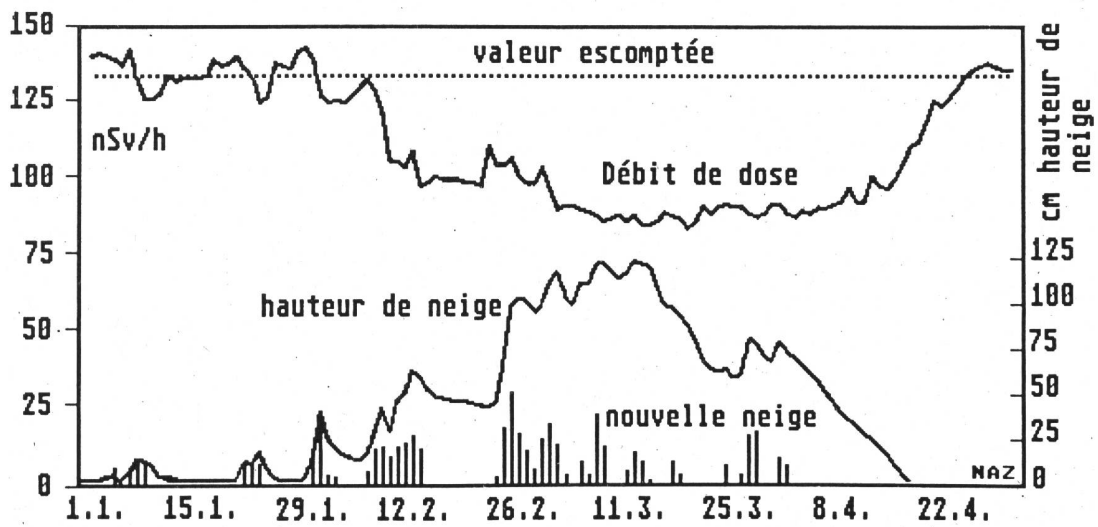


Fig. 3.16.c: Stations NADAM
 moyenne annuelle en 1987 par région

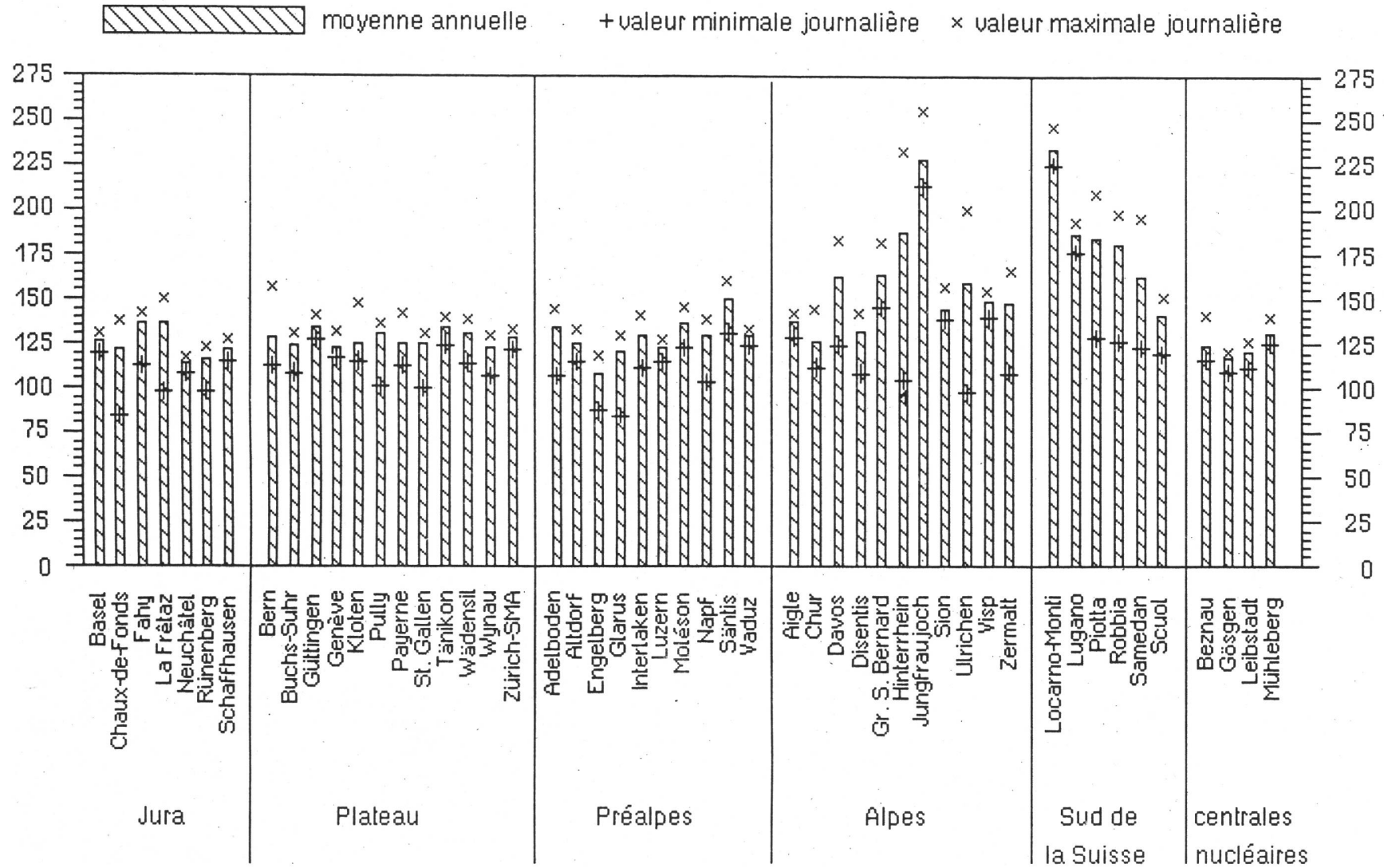


Fig.3.16.d : Moyenne hebdomadaire des stations NADAM en nSv/h 1988

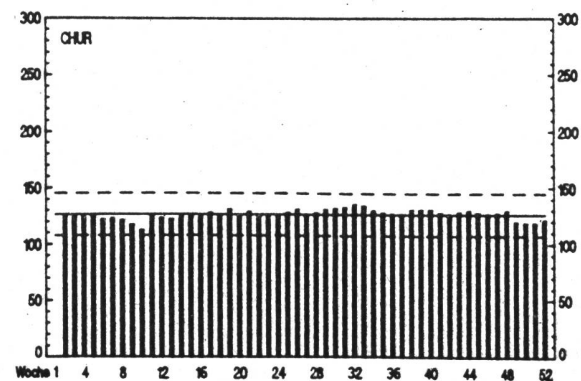
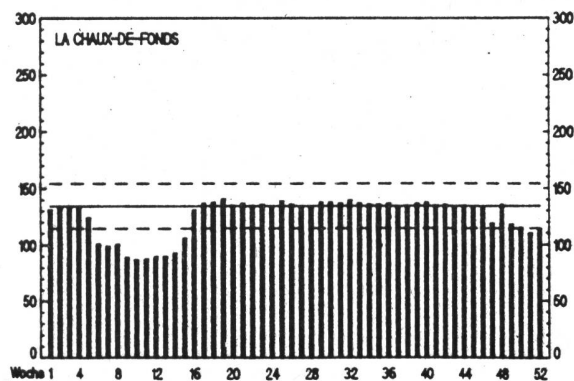
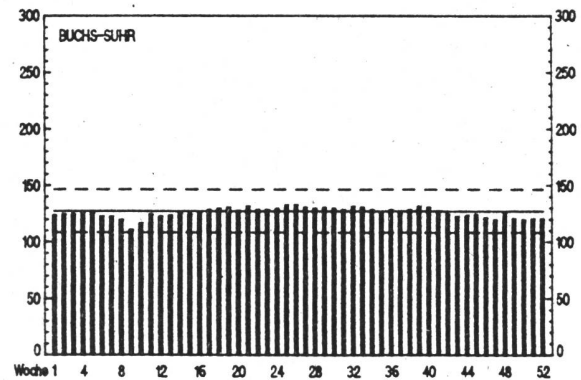
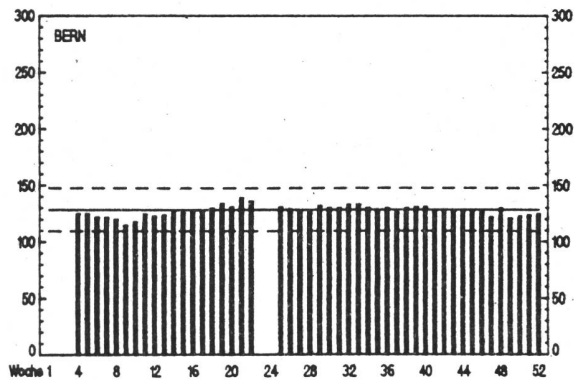
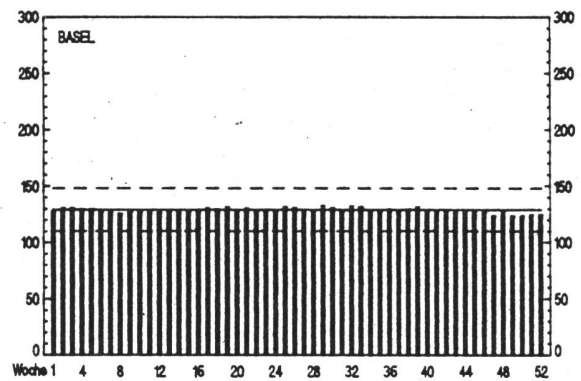
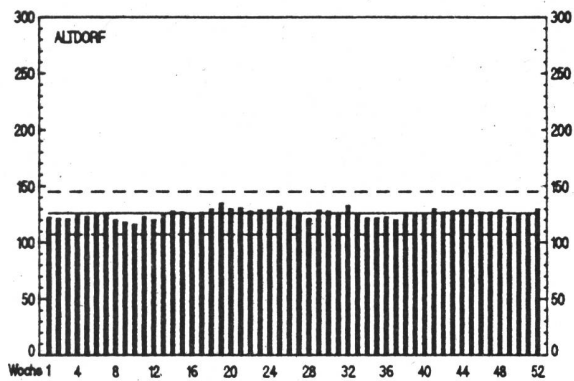
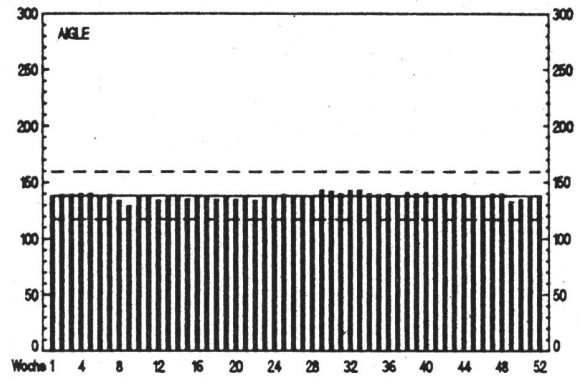
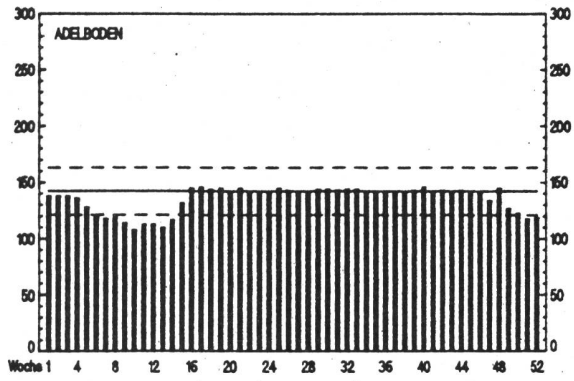


Fig.3.16.e : Moyenne hebdomadaire des stations NADAM en nSv/h 1988

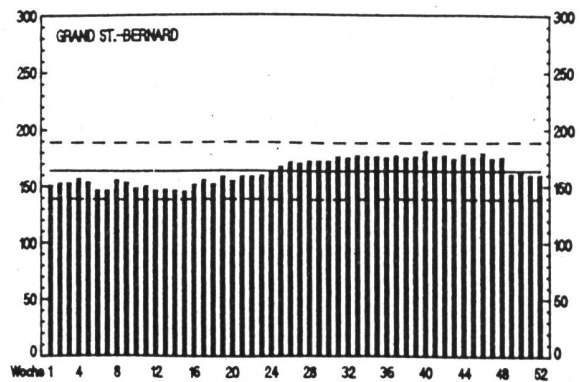
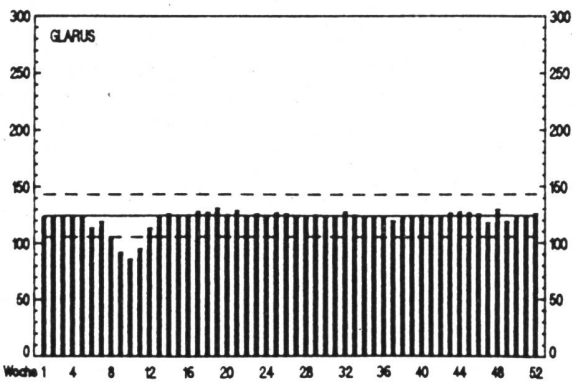
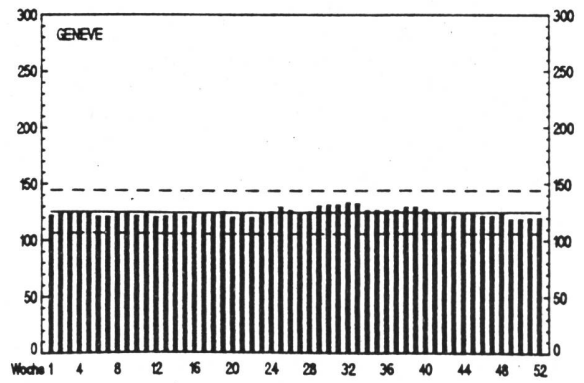
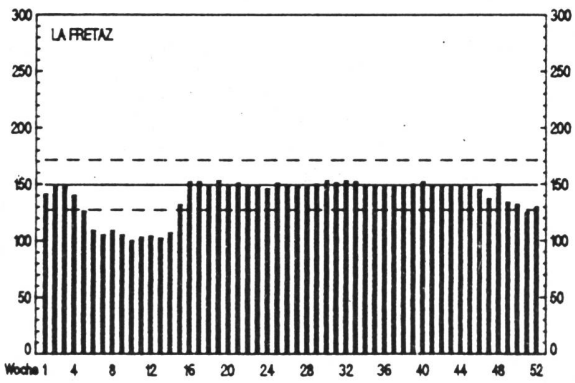
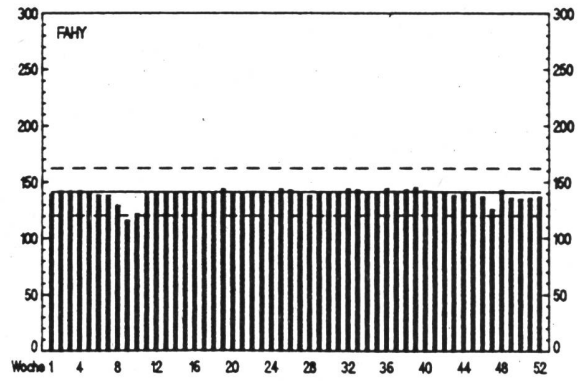
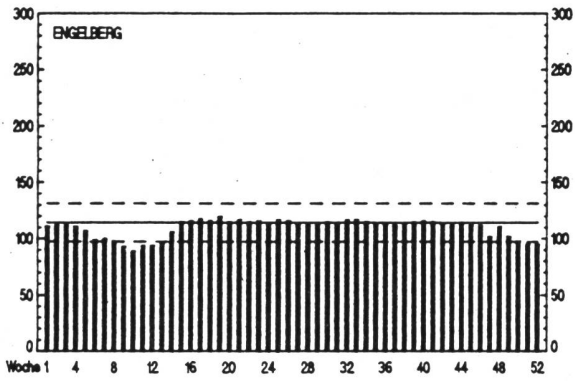
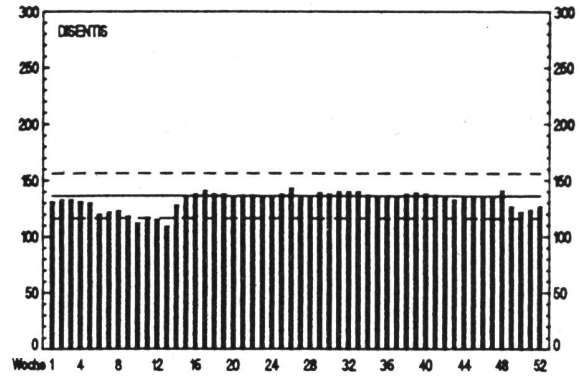
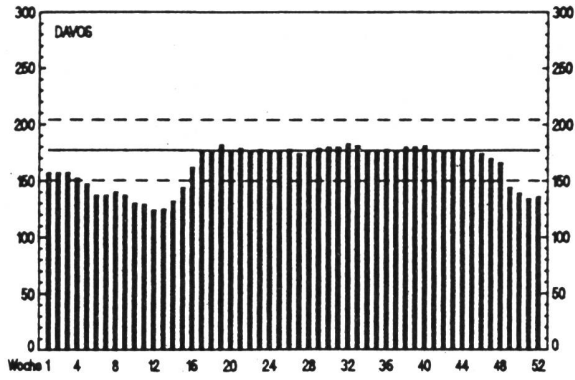


Fig.3.16.f : Moyenne hebdomadaire des stations NADAM en nSv/h 1988

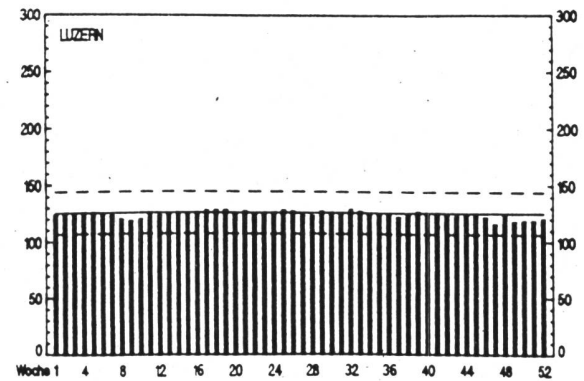
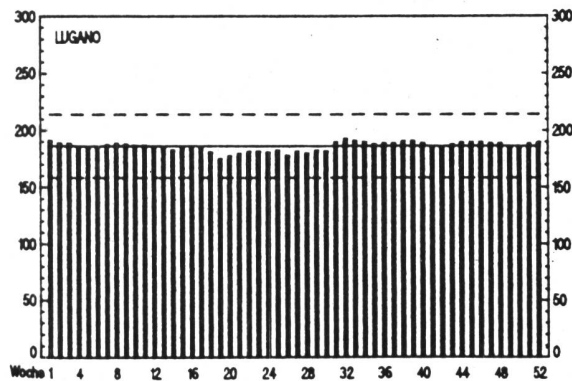
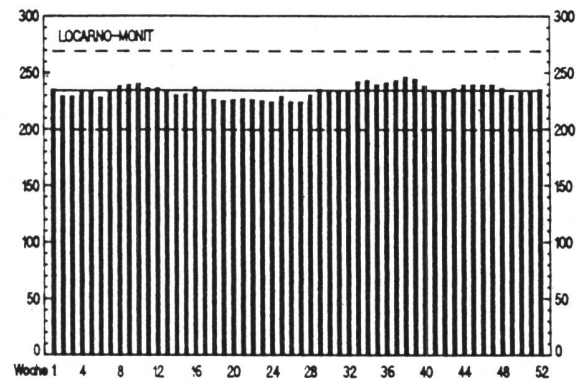
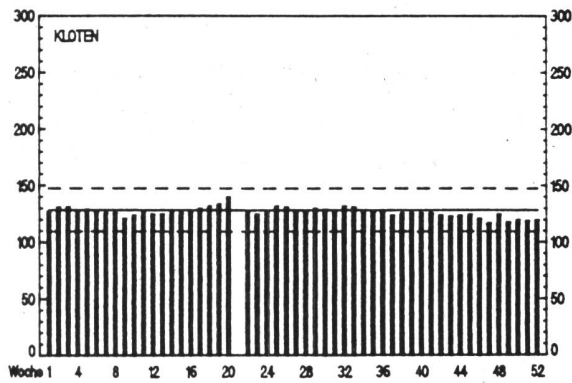
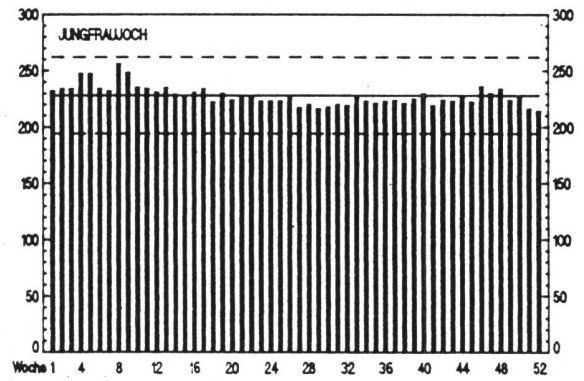
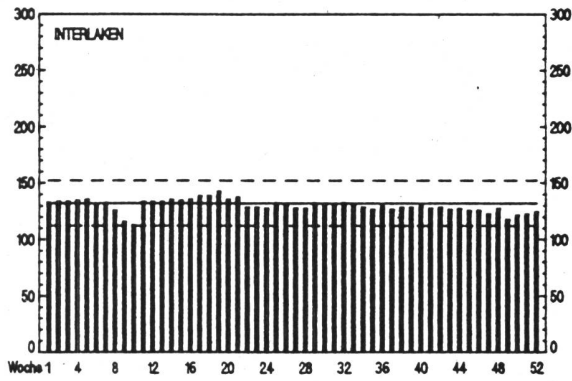
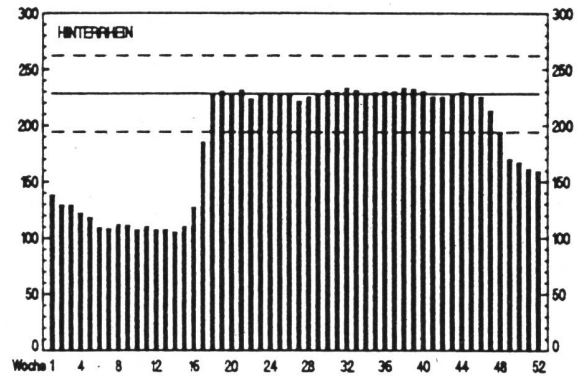
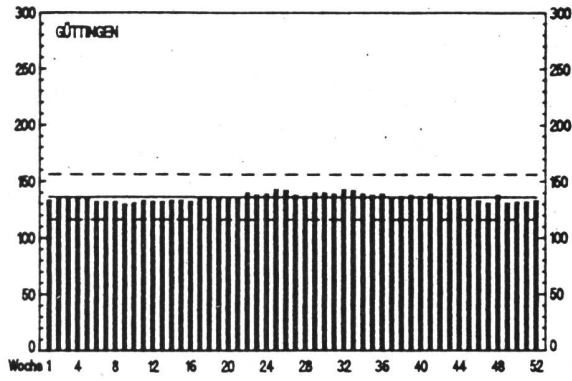


Fig.3.16.g : Moyenne hebdomadaire des stations NADAM en nSv/h 1988

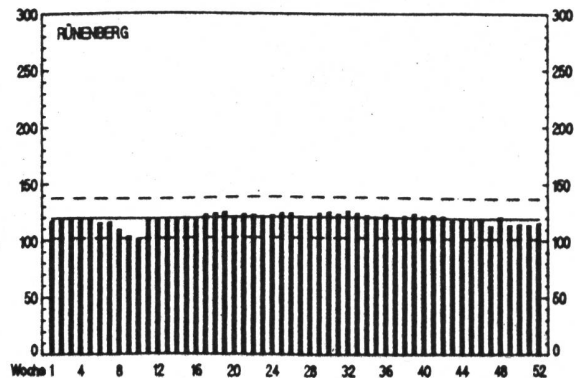
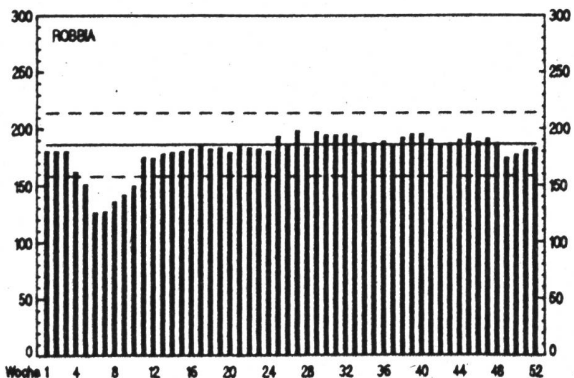
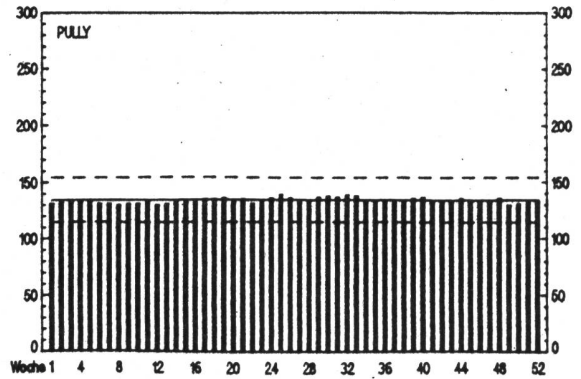
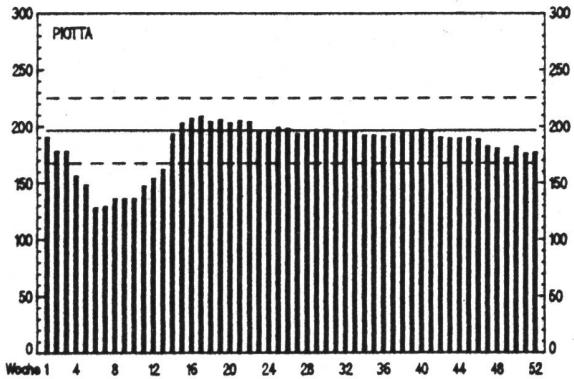
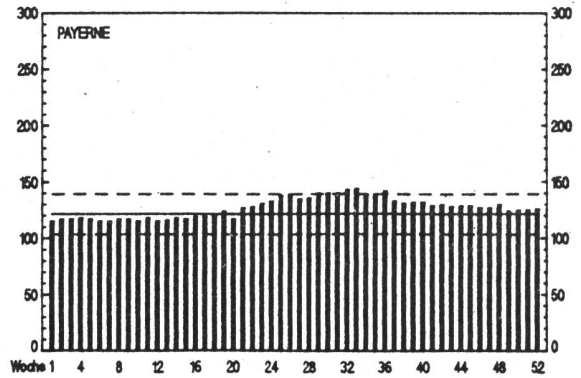
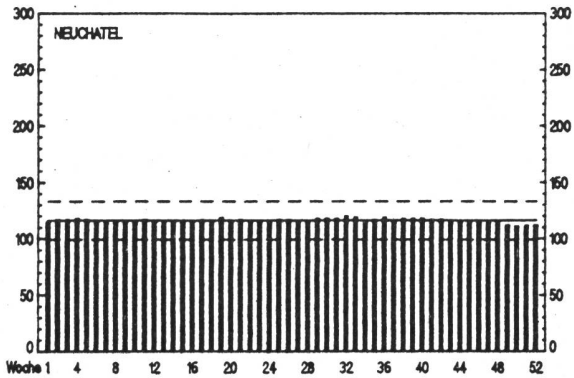
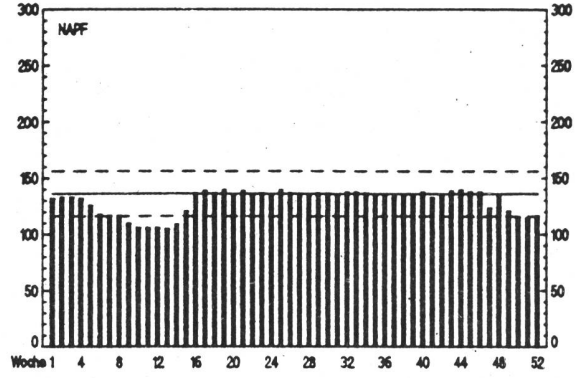
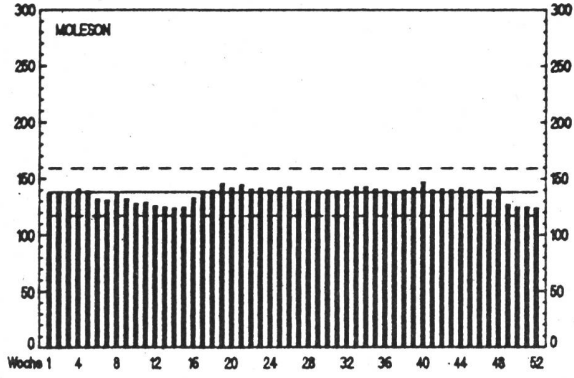


Fig.3.16.h : Moyenne hebdomadaire des stations NADAM en nSv/h 1988

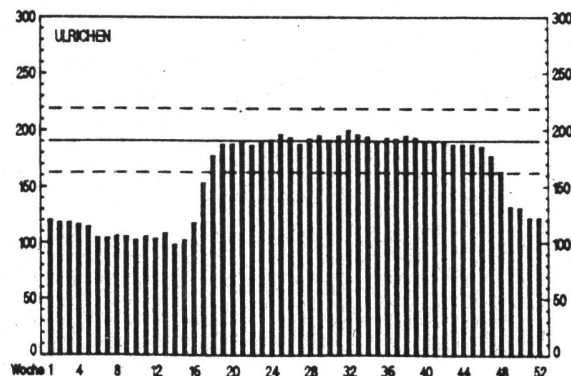
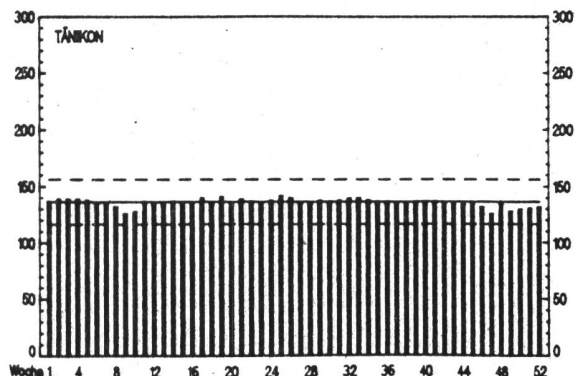
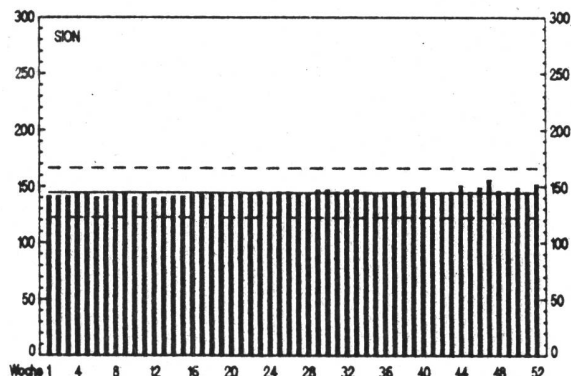
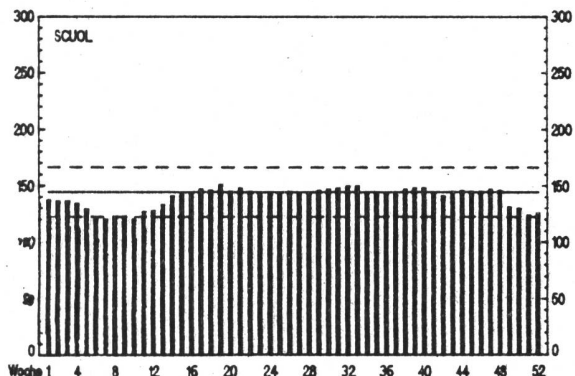
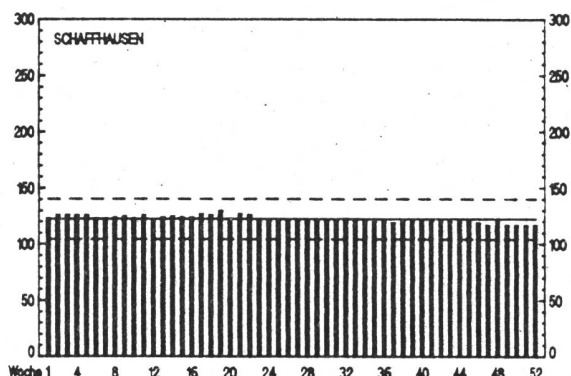
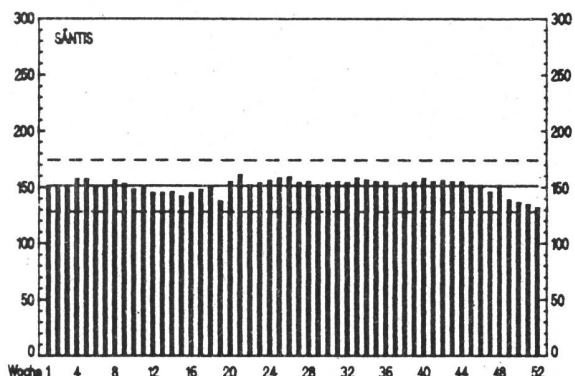
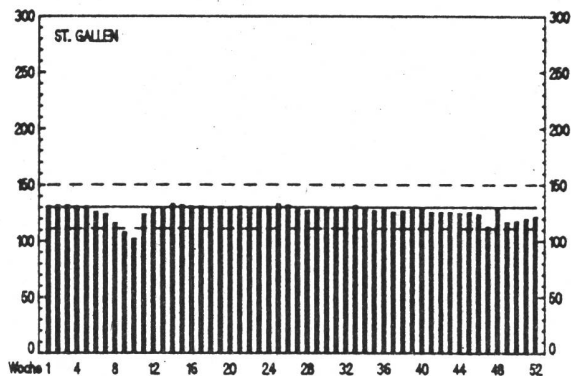
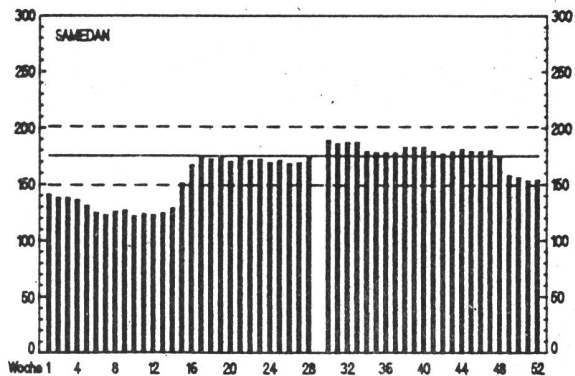


Fig.3.16.i : Moyenne hebdomadaire des stations NADAM en nSv/h 1988

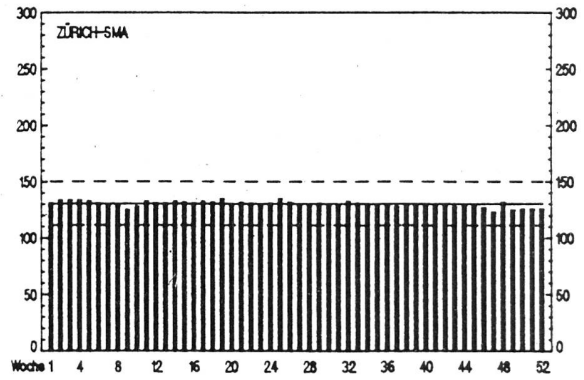
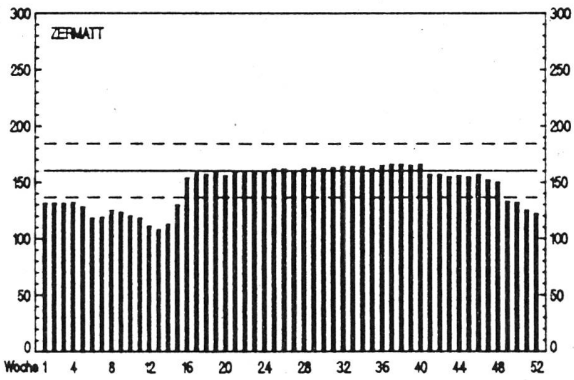
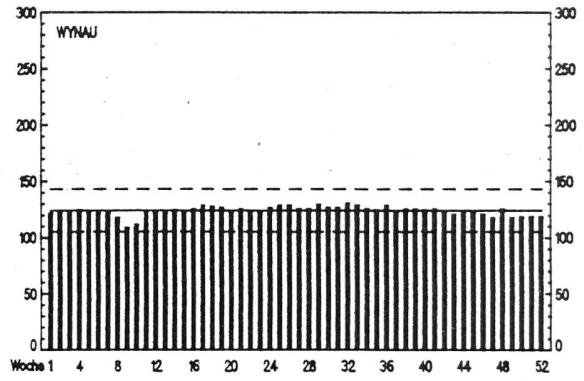
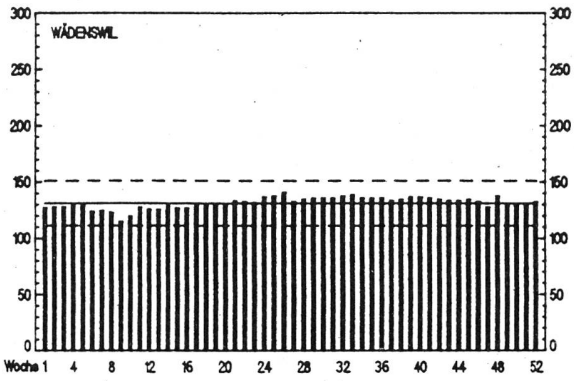
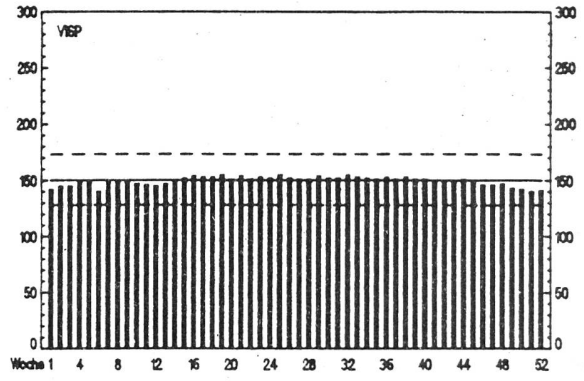
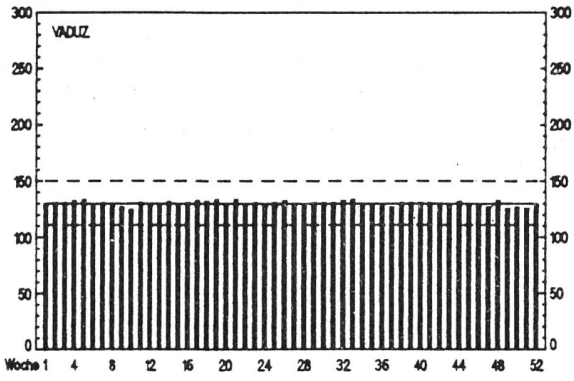


Fig.3.16.k : Moyenne hebdomadaire des stations NADAM en nSv/h 1988

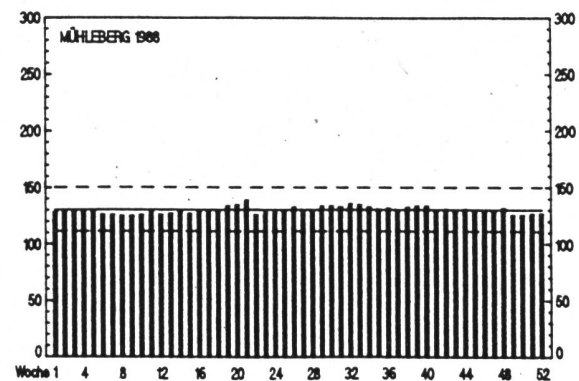
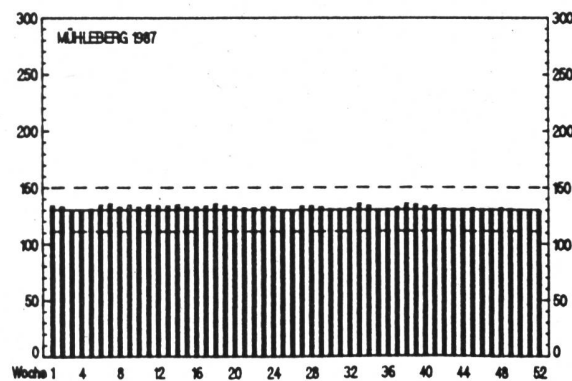
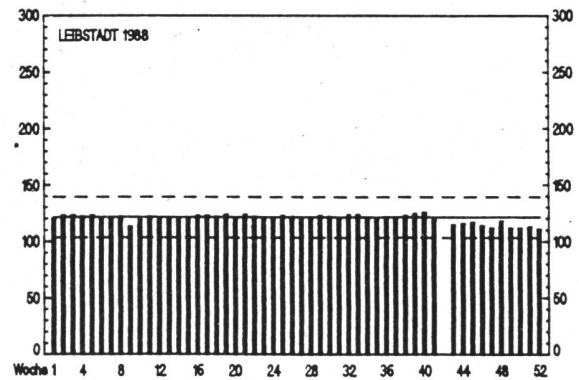
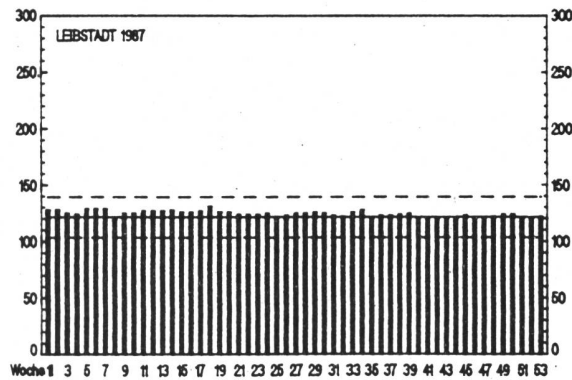
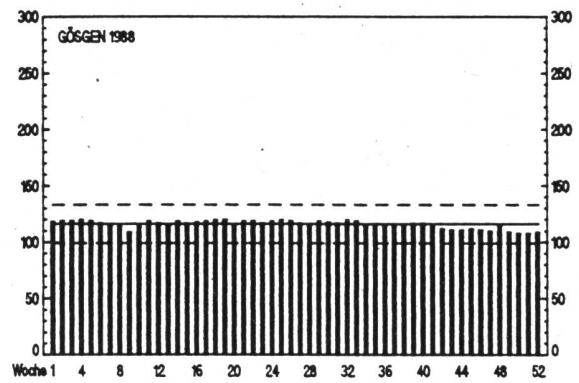
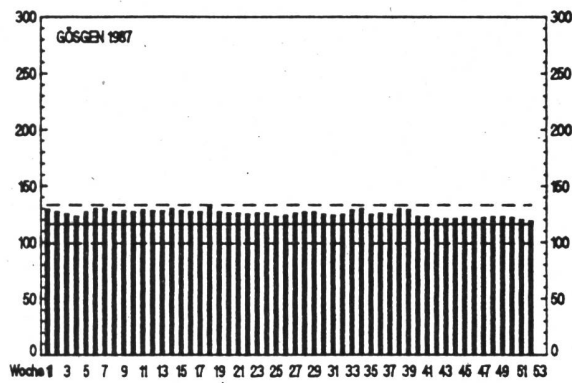
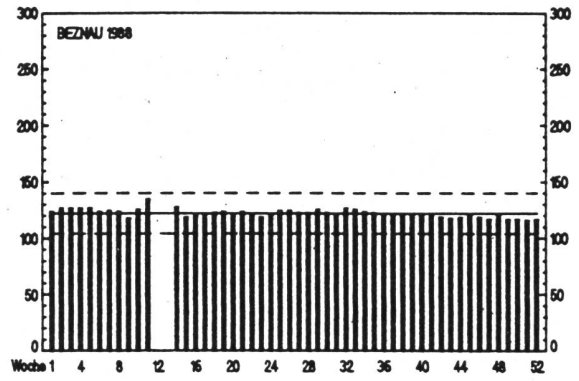
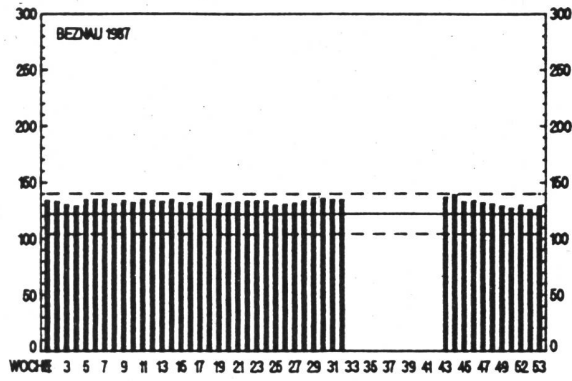


Fig.3.17.a: Activité déposée de Cs-137 (Bq/m²) en Suisse (1987 et 1988)

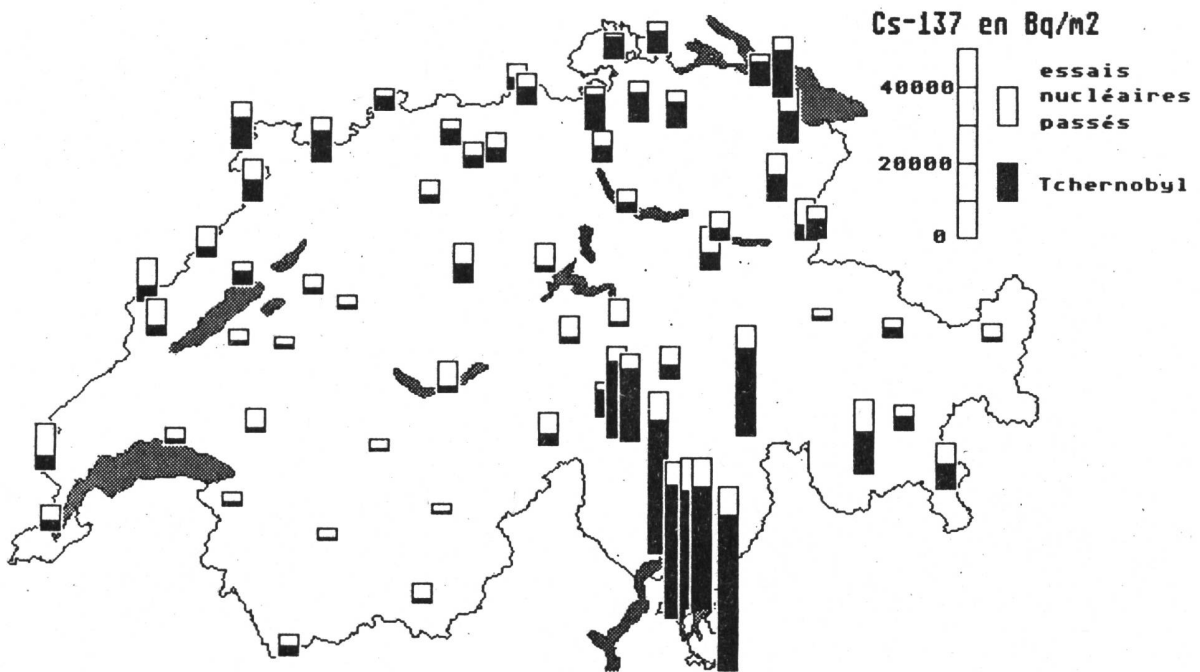


Fig.3.17.b: Contributions au débit de dose en Suisse (1988)

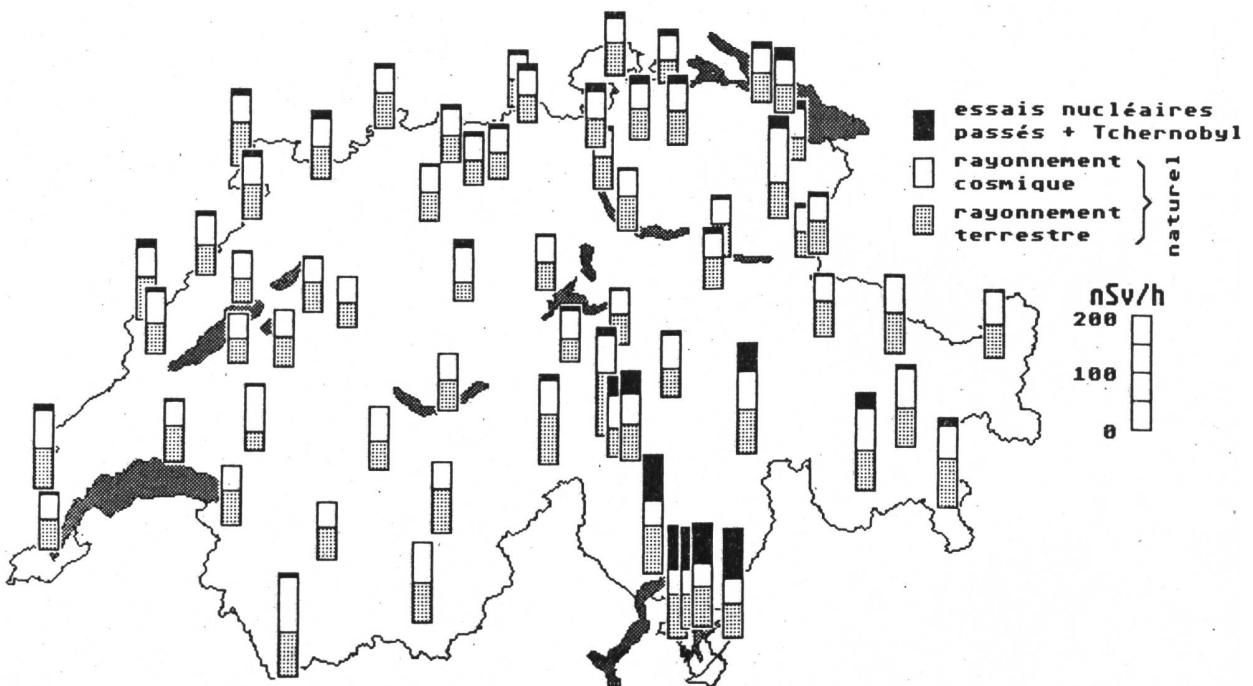


Fig.3.17.c: Potassium-40 dans le sol en Suisse
(mesuré avec un spectromètre in-situ)

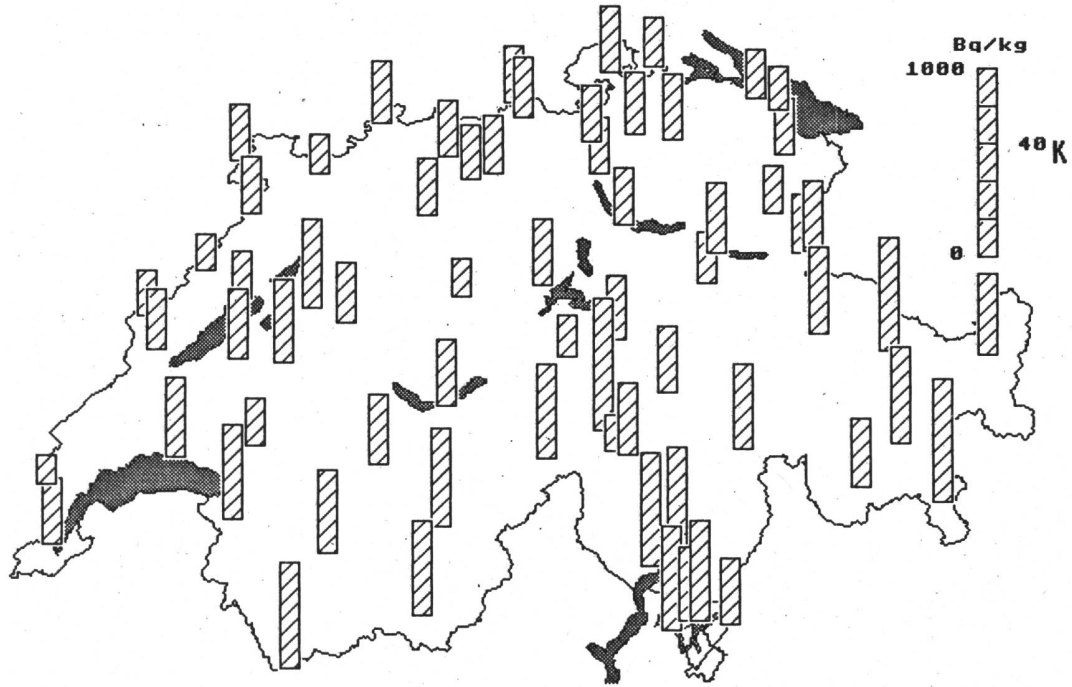


Fig.3.17.d: Radium-226 et actinium-228 dans le sol en Suisse
(mesuré avec un spectromètre in-situ)

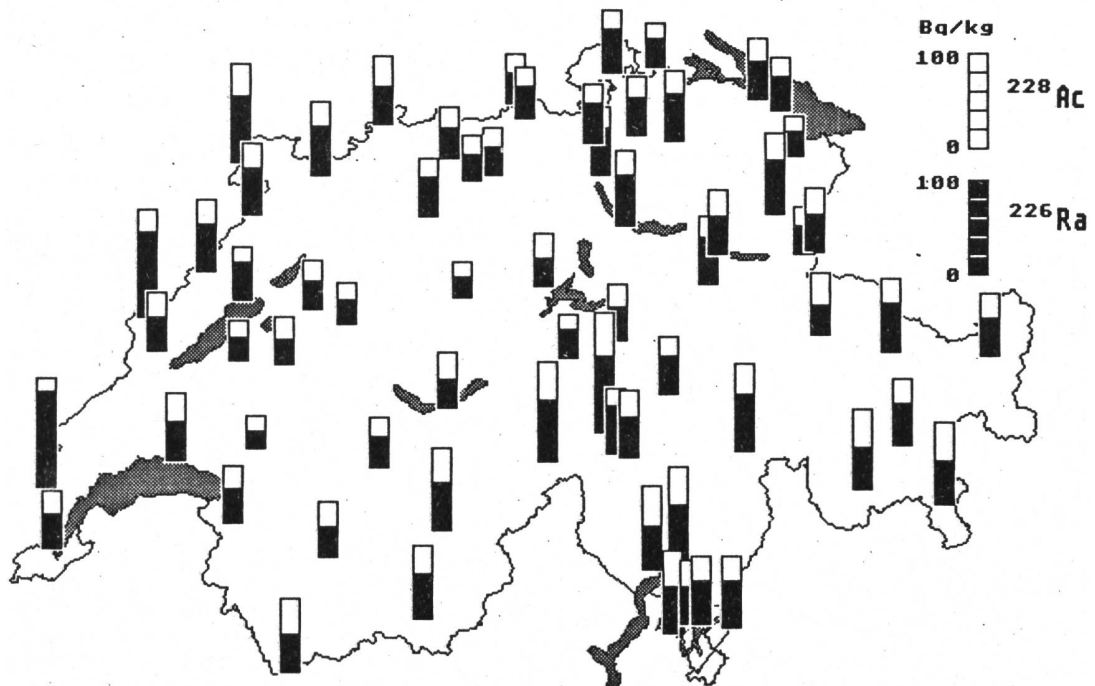


Fig.3.17.e: Mesures in-situ près des sondes NADAM (1986-1988)
Rapport des valeurs mesurées NADAM / chambre d'ionisation

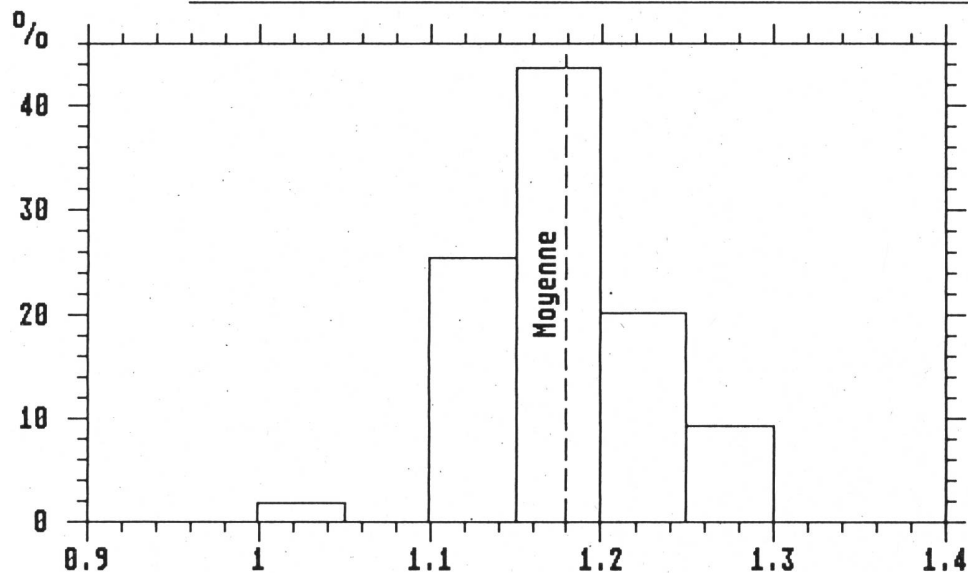


Fig. 3.17.f: Césium à Genestrerio/TI (1986-88)

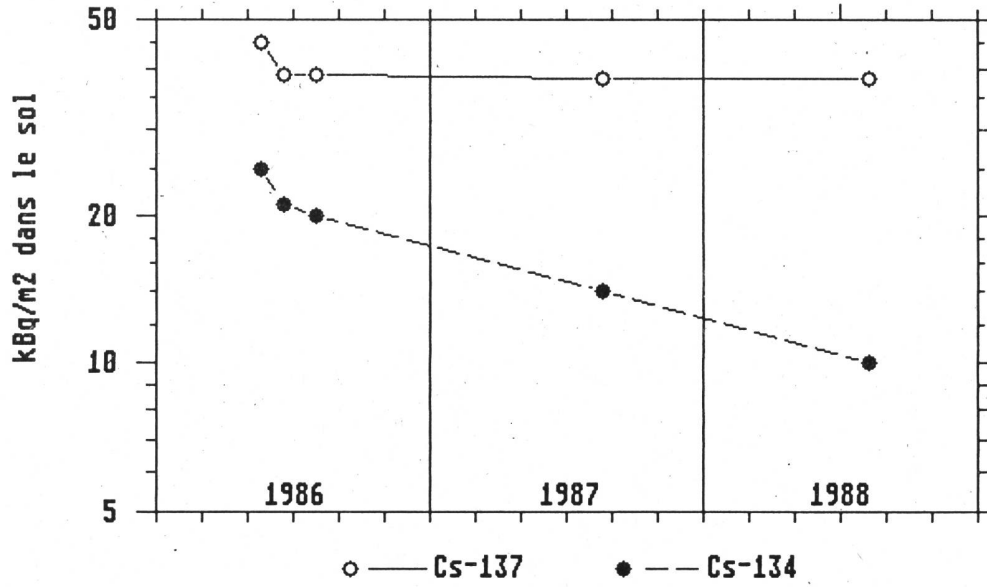


Fig 3.17.g: Césium à Genestrerio/TI (1986-88)

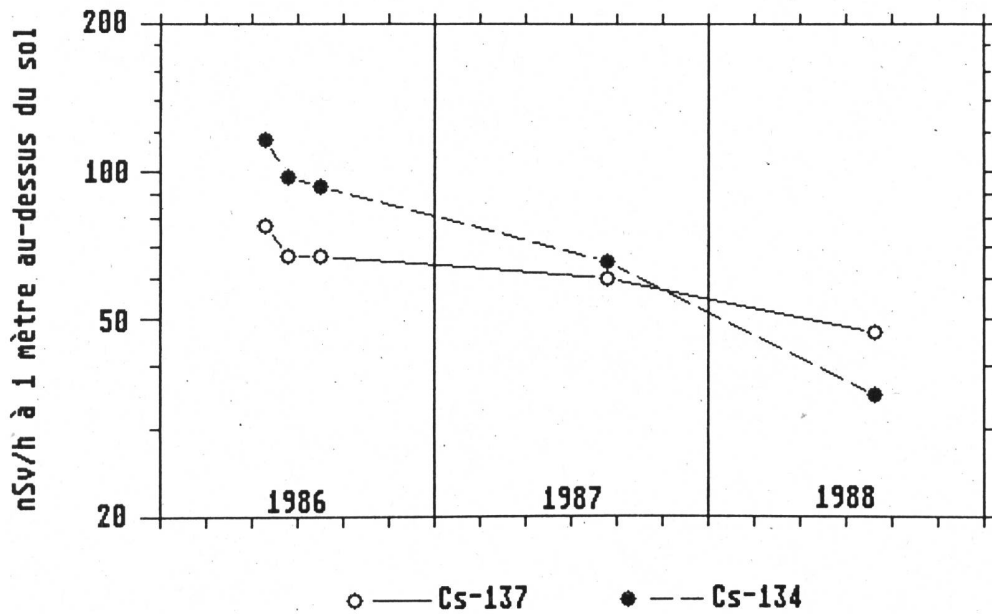


Fig.3.18.a: K-40 dans la terre prélevée en 87 et 88

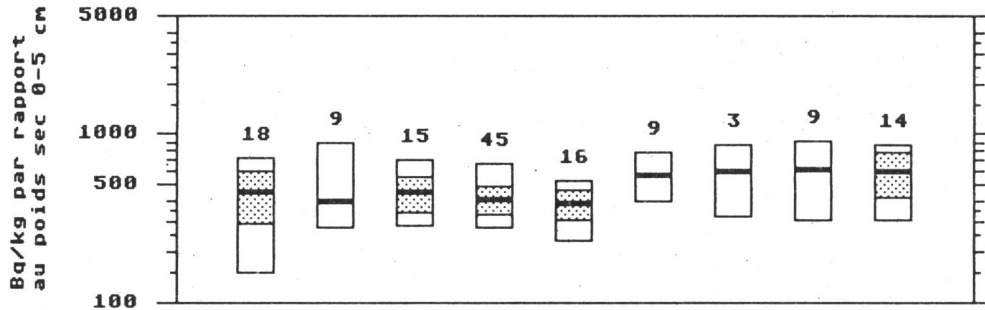


Fig.3.18.b: Cs-137 dans la terre prélevée en 87 et 88

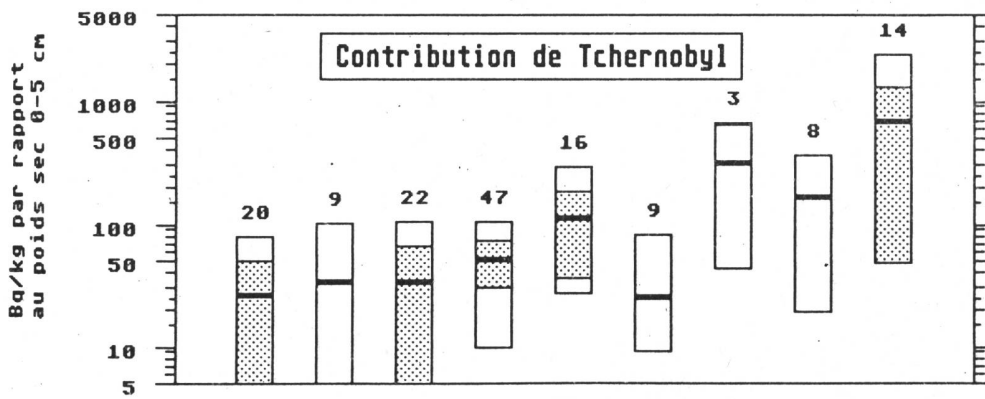


Fig.3.18.c: Cs-137 dans la terre prélevée en 87 et 88

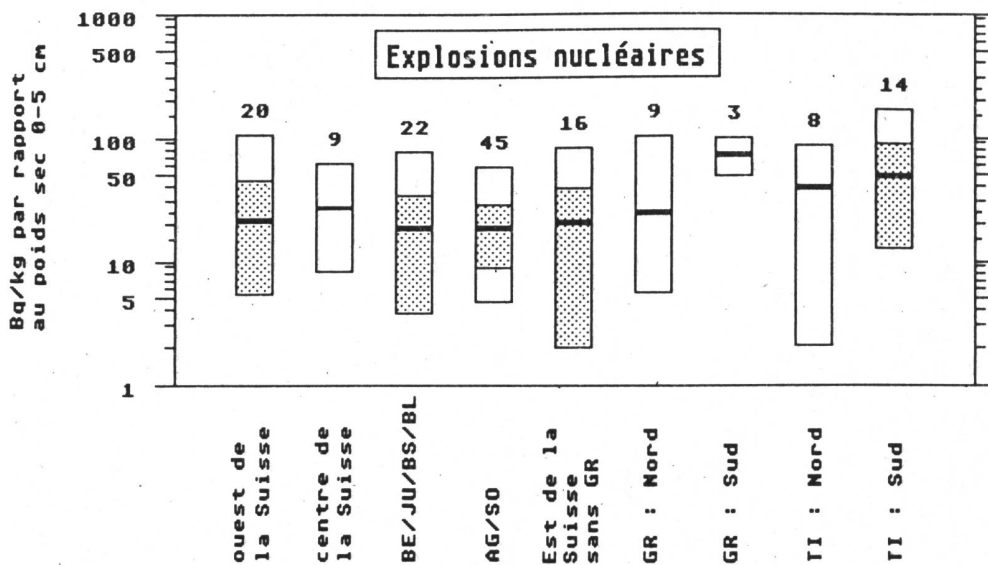


Fig.3.19.a: Cs-137 dans l'herbe fraîche

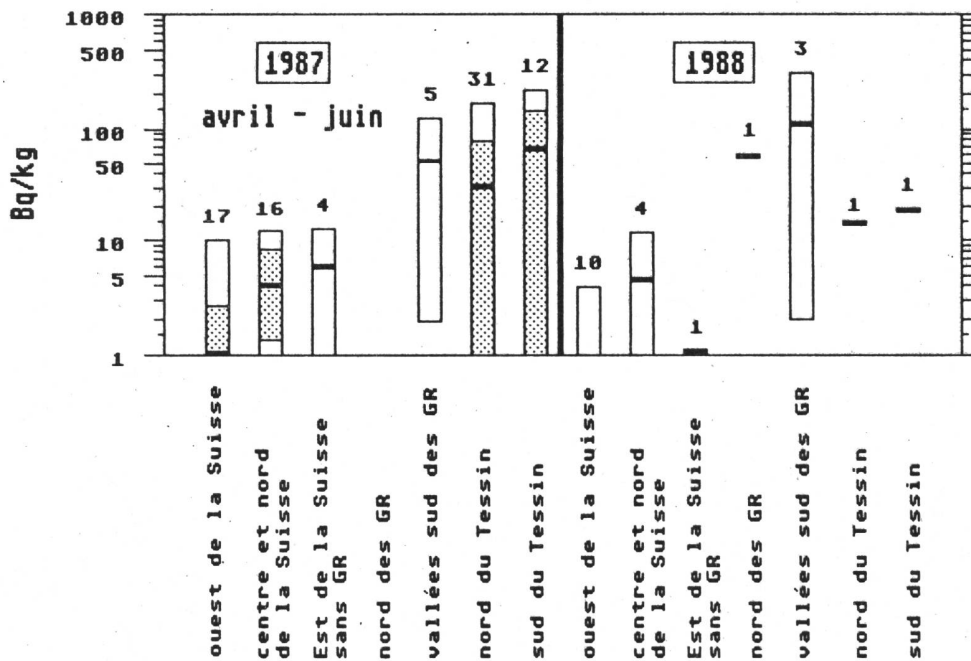


Fig.3.19.b: Cs-137 dans l'herbe (converti au poids sec) et dans le foin

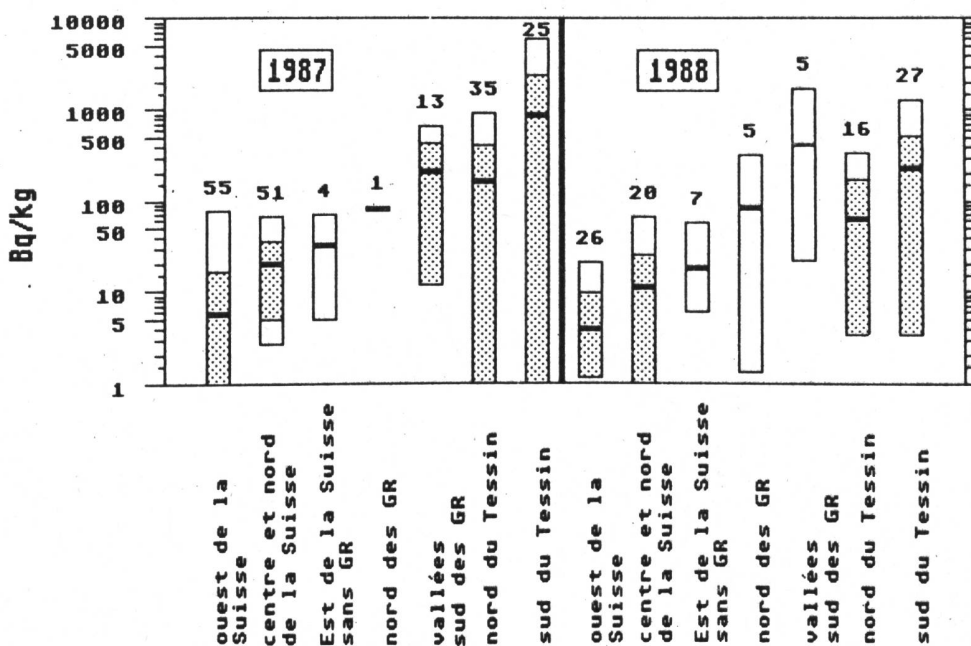


Fig.3.19.c: Cs-137 dans l'herbe (fraîche) de Spiez, de Faulensee et d'Alp Ober-Suldtal/BE 1987

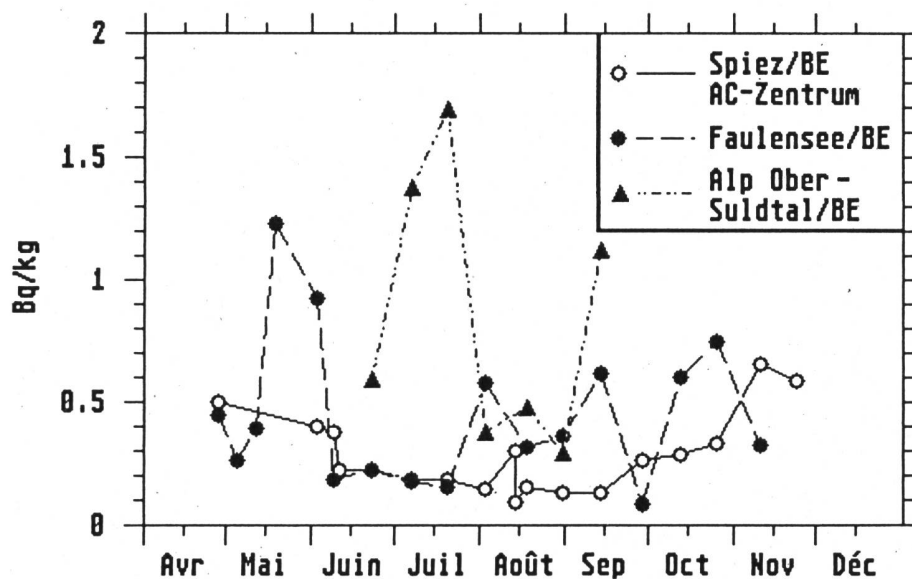


Fig.3.19.d: Cs-137 dans le maïs en silo (87) (=récolte 86)

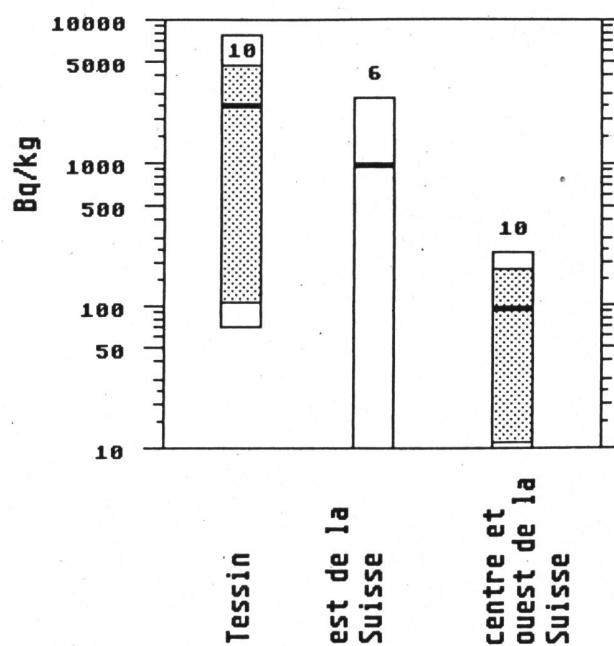


Fig. 3.19.e: Corrélation terre (0-5 cm) - herbe (1987)

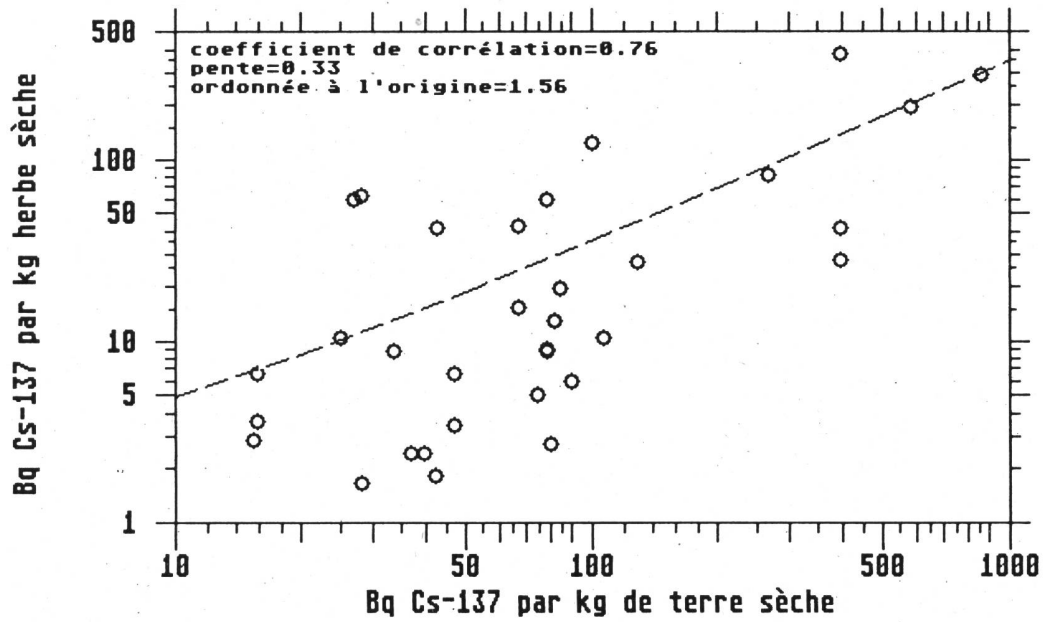


Fig.3.19.f: Corrélation terre (0-5 cm) - herbe (1988)

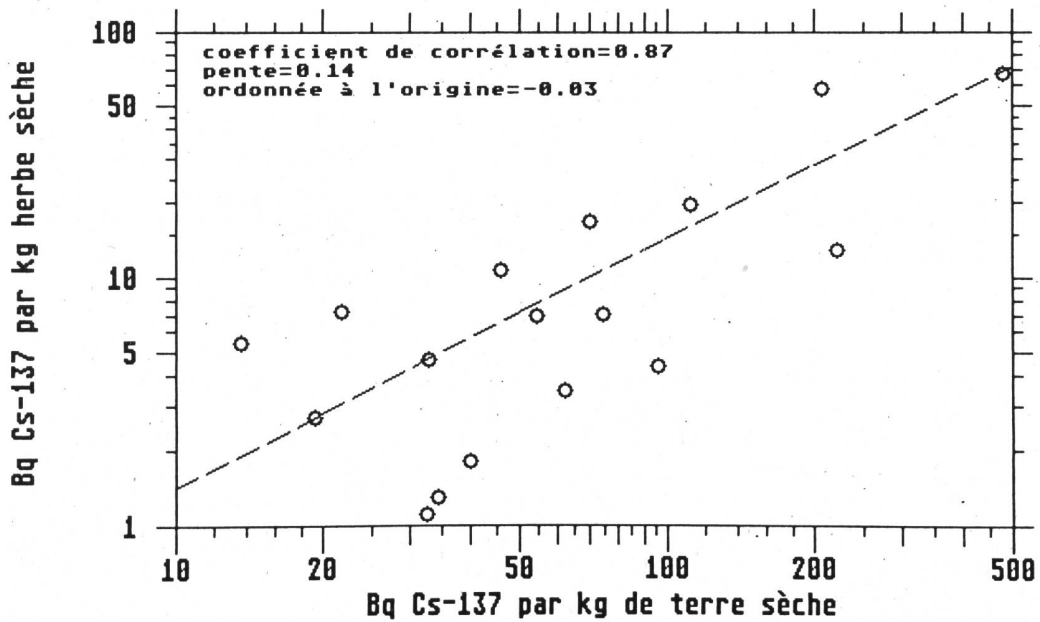


Fig.3.20.a: Cs-137 dans le lait de la vallée de Blenio/TI 1987

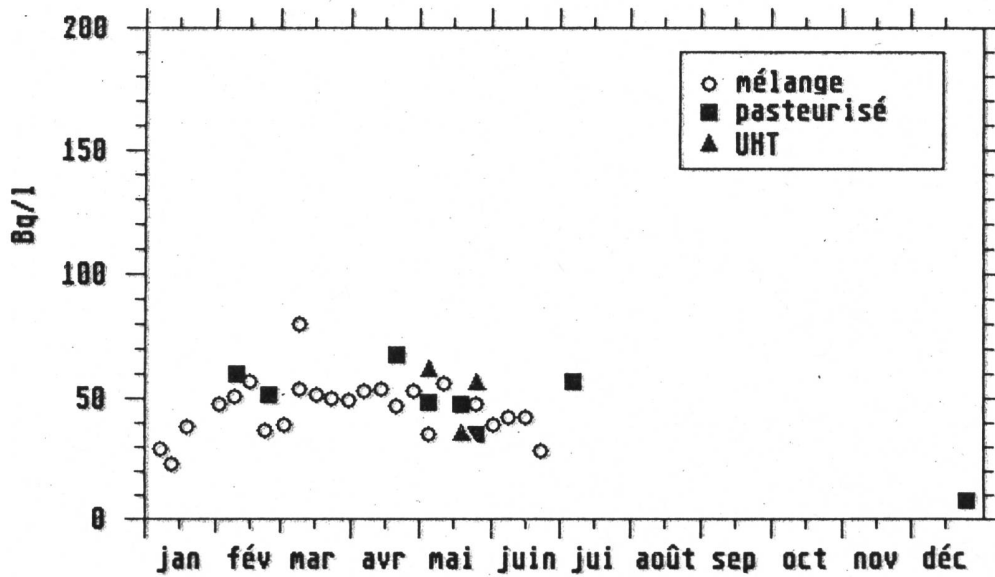


Fig.3.20.b: Cs-137 dans le lait de Piano Magadino/TI 1987

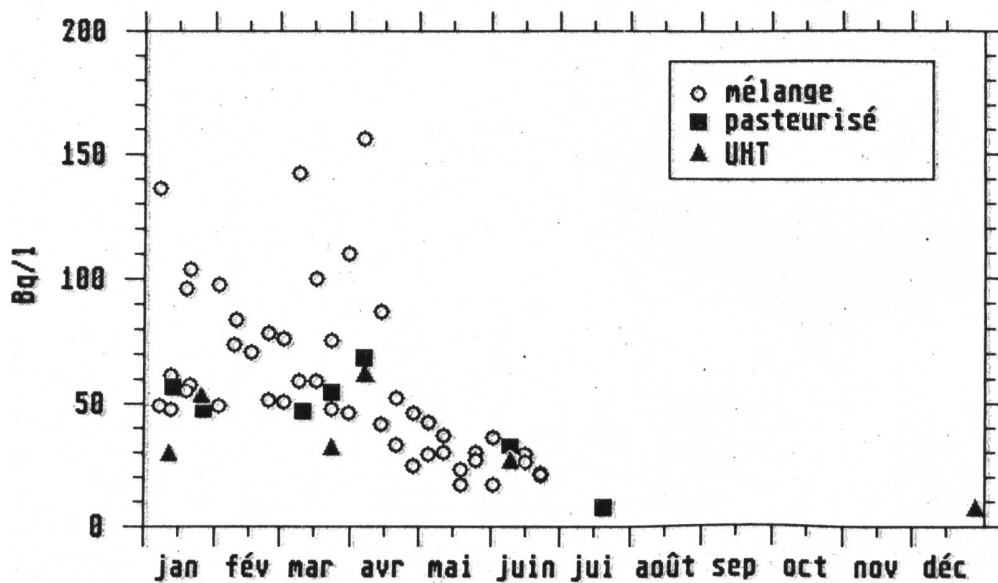


Fig.3.20.c: Cs-137 dans le lait de la région luganaise/TI 1987

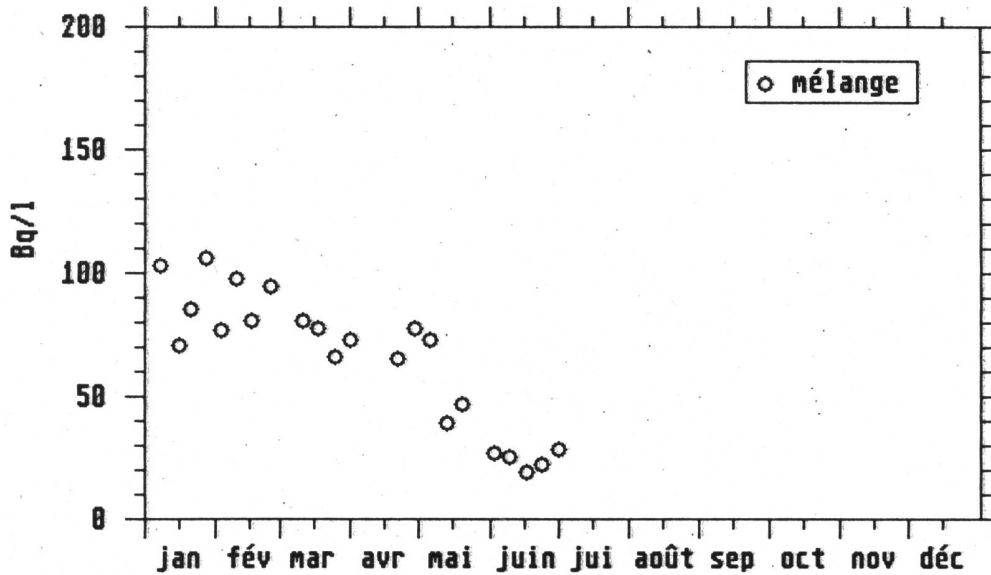


Fig.3.20.d: Cs-137 dans le lait du Mendrisiotto/TI 1987

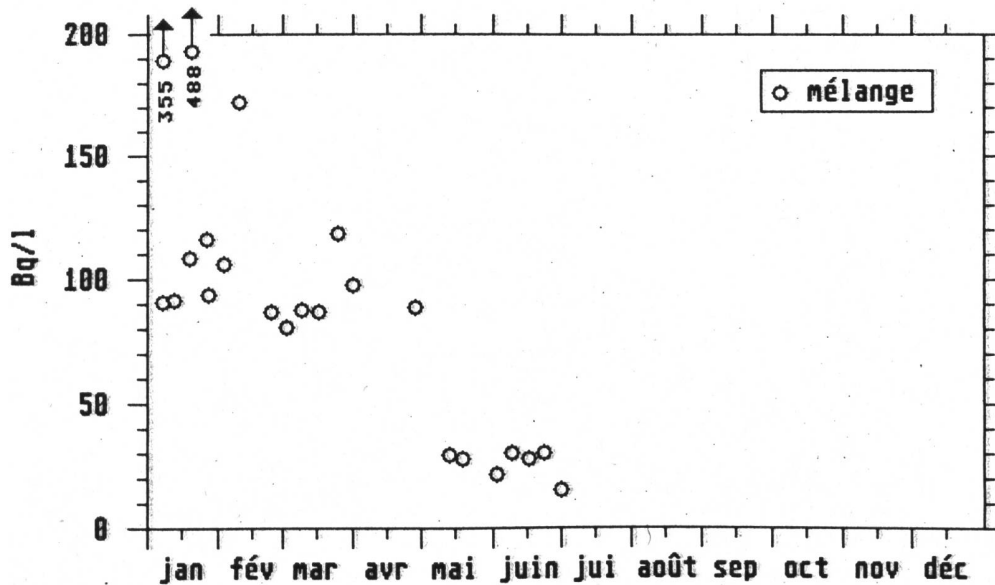


Fig.3.20.e: Cs-137 dans un prélèvement de production individuelle de lait du Tessin en 1987

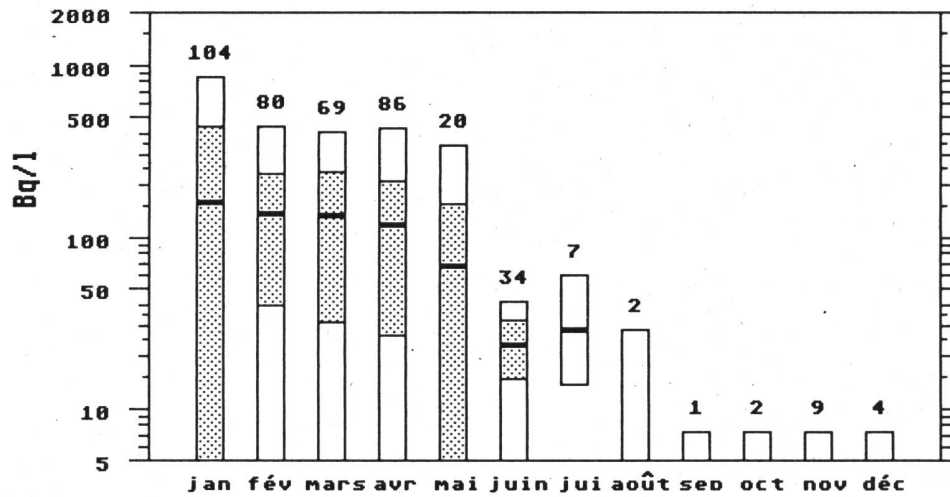


Fig.3.20.f: Cs-137 dans un prélèvement de production individuelle de lait du Tessin en 1988

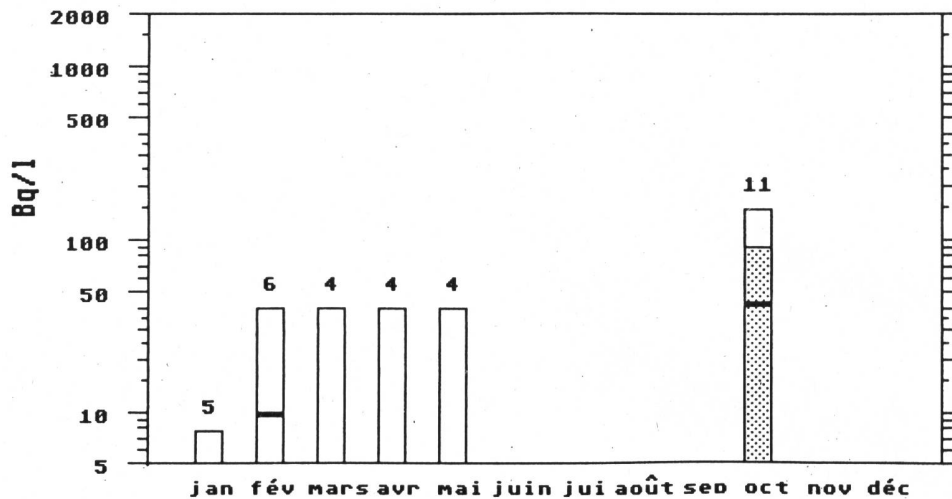


Fig.3.21.a: Cs-137 dans le lait de vache des Grisons 1987/1988

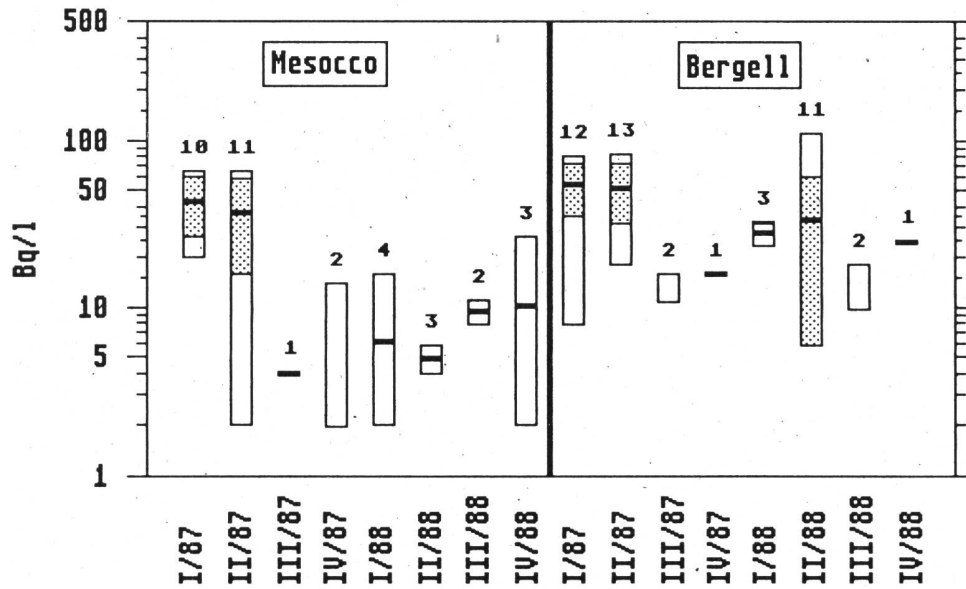


Fig.3.21.b: Cs-137 dans le lait de vache des Grisons 1987/1988

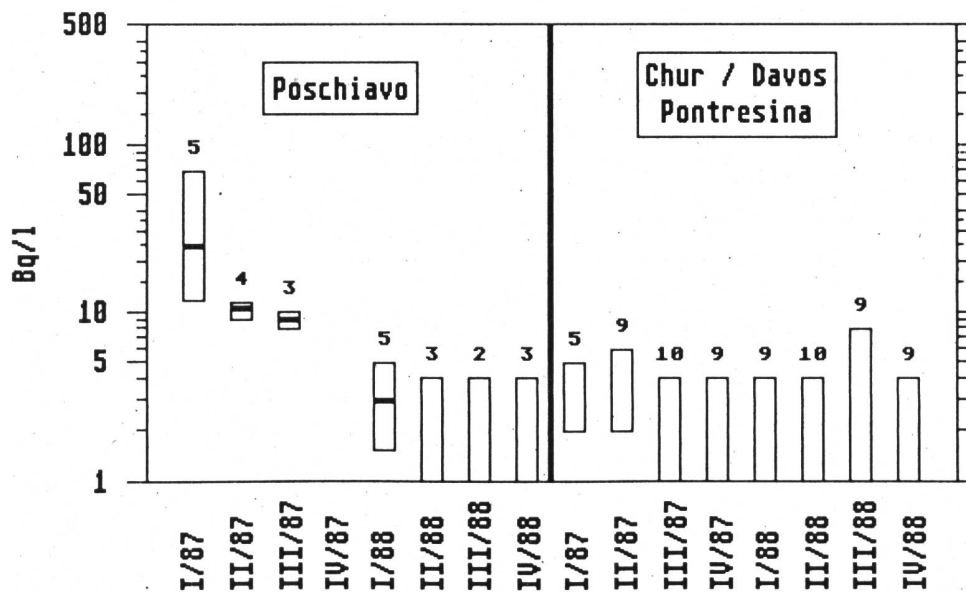


Fig.3.21.c: Cs-137 dans le lait de vache de St. Gall 1987/1988

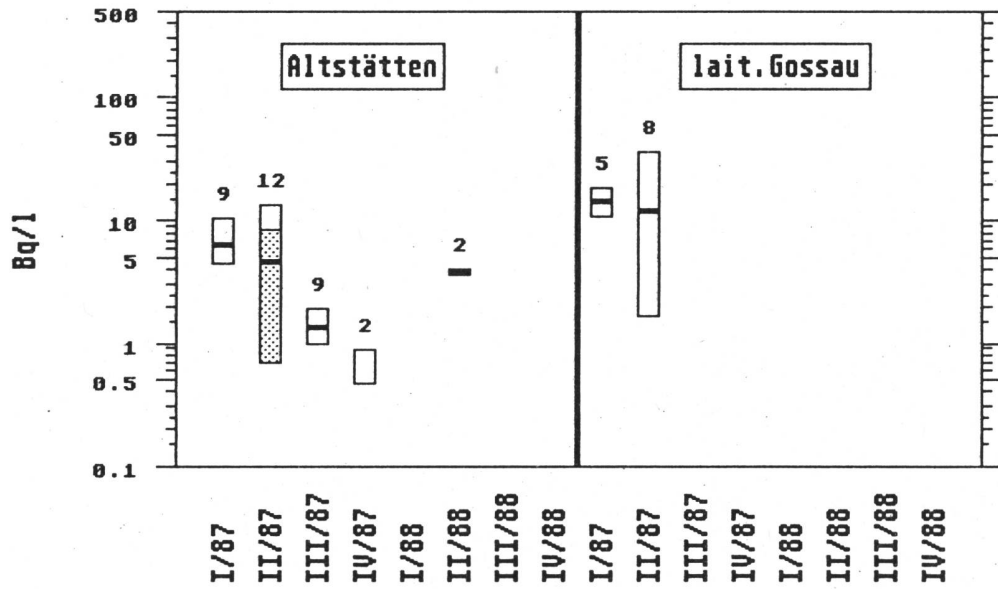


Fig.3.21.d et 3.21.e: Cs-137 dans le lait de vache 1987/1988

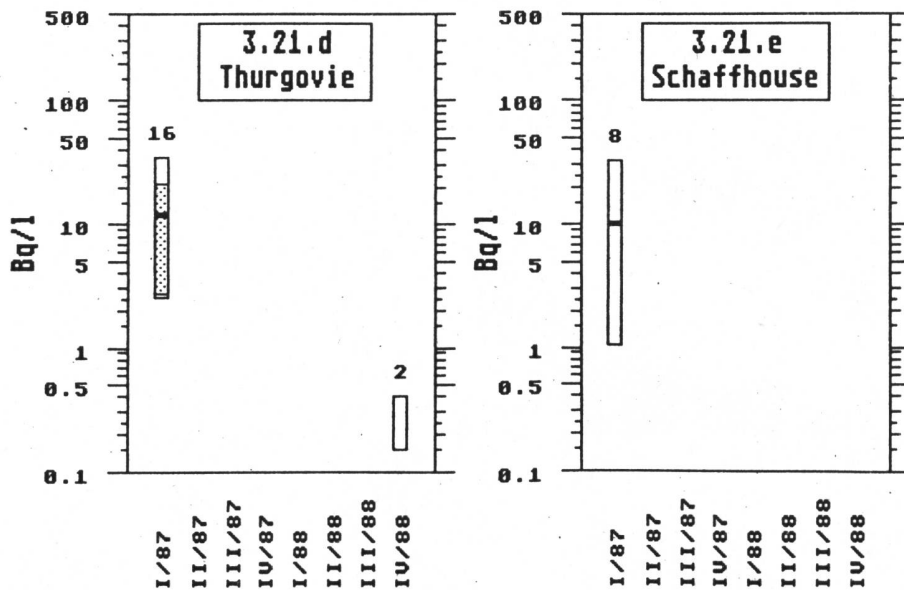


Fig.3.21.f: Cs-137 dans le lait de vache de Zürich 1987/1988

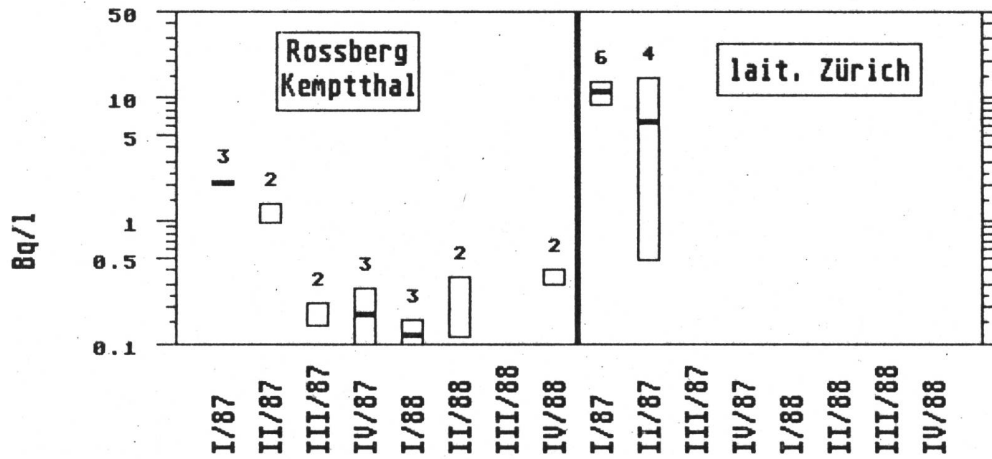


Fig.3.21.g: Cs-137 dans le lait de vache de Bâle (BS et BL) 1987/88

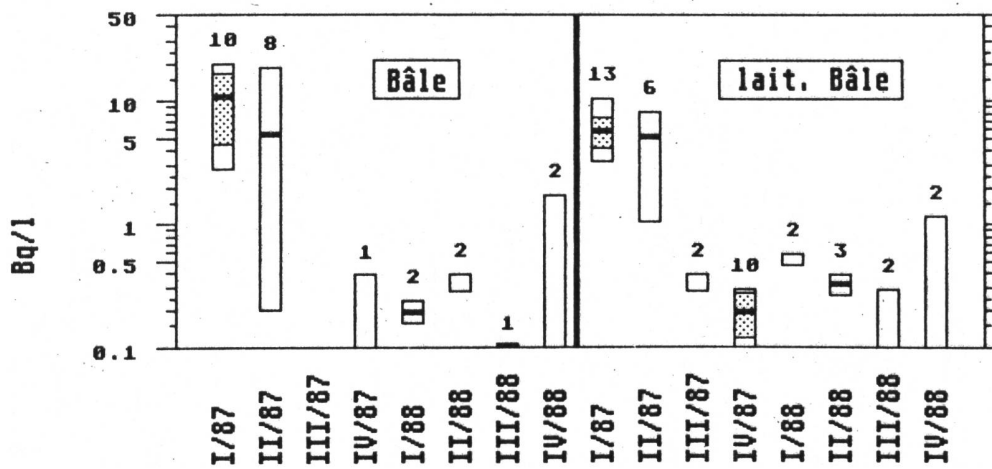


Fig.3.21.h: Cs-137 dans le lait de vache d'Argovie et de Soleure 87/88

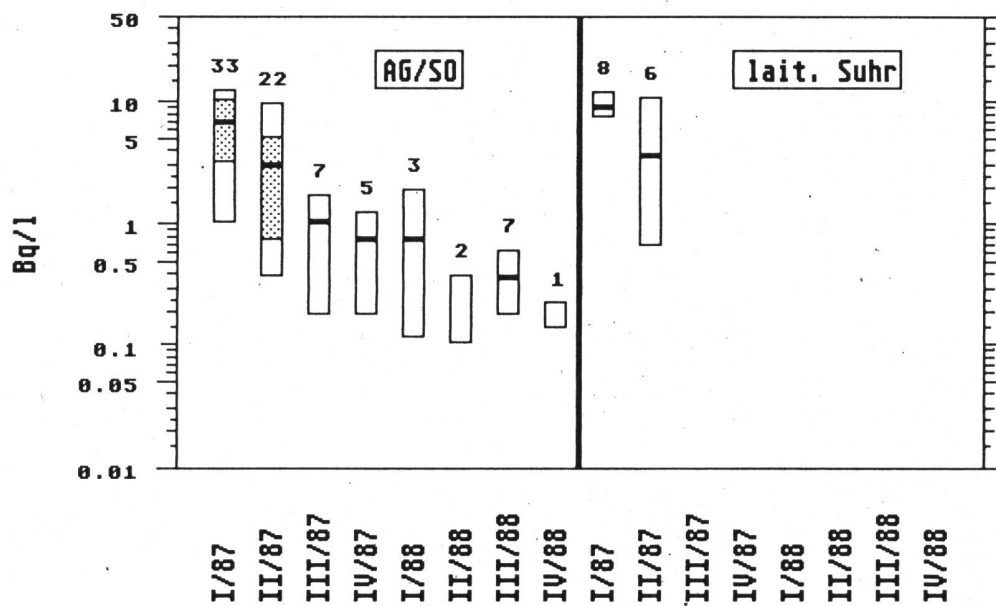


Fig.3.21.i: Cs-137 dans le lait de vache de la Suisse centrale 87/88

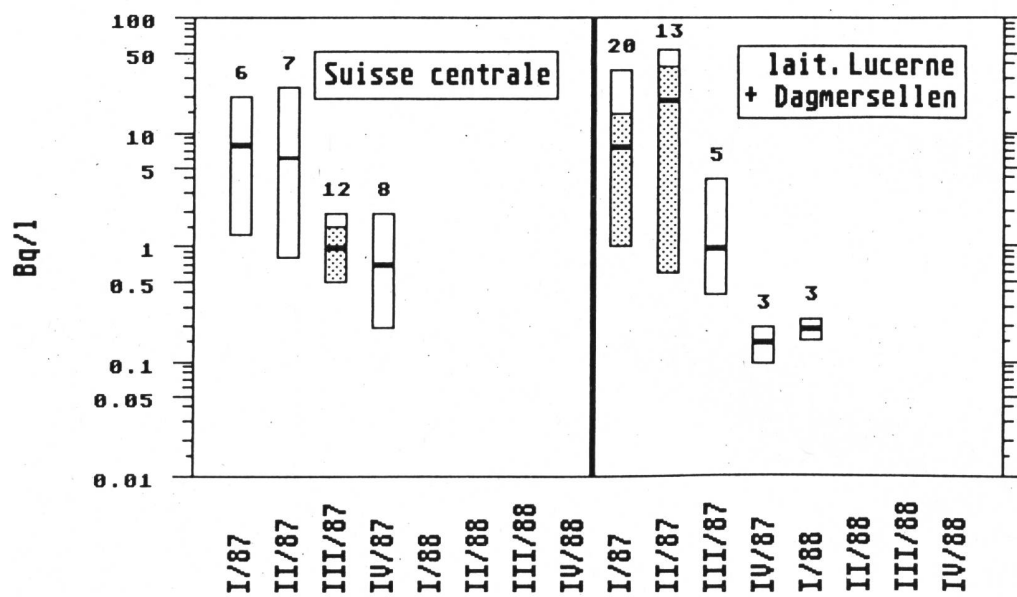


Fig.3.21.j: Cs-137 dans le lait de vache de Berne 1987/1988

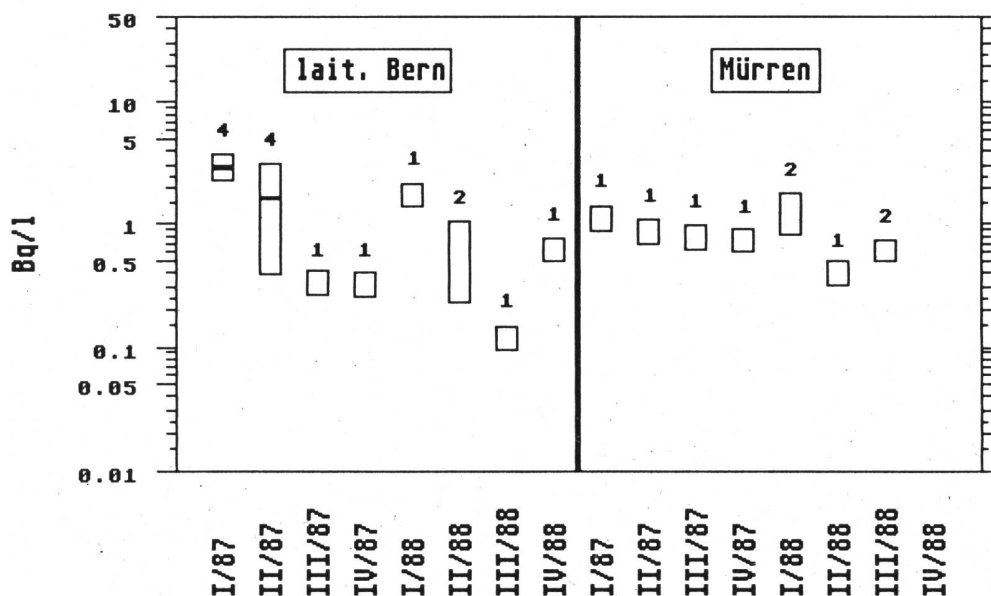


Fig.3.21.k: Cs-137 dans le lait de vache de Berne 1987/1988

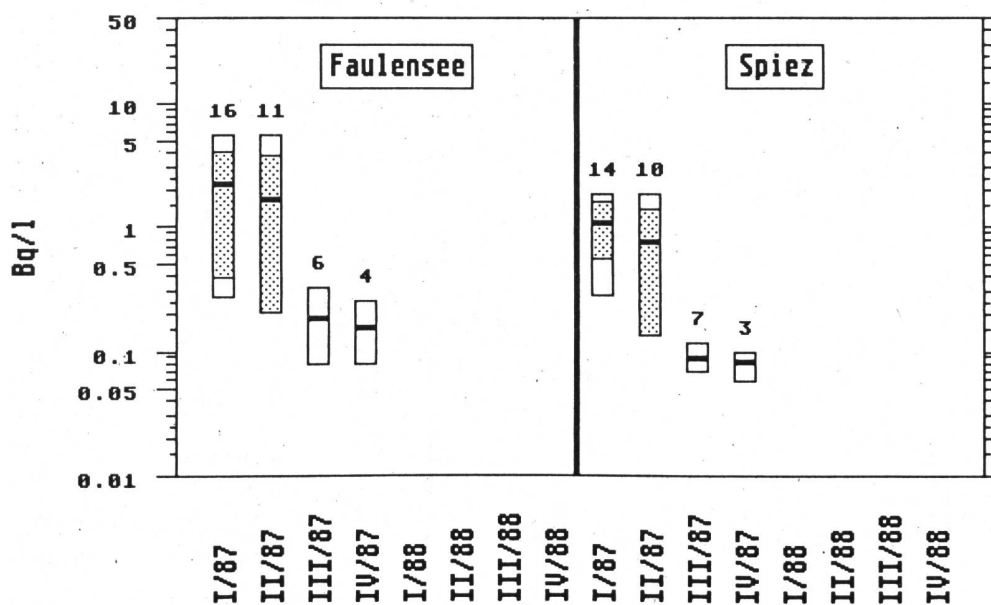


Fig.3.21.1: Cs-137 dans le lait de vache de Berne 1987/1988

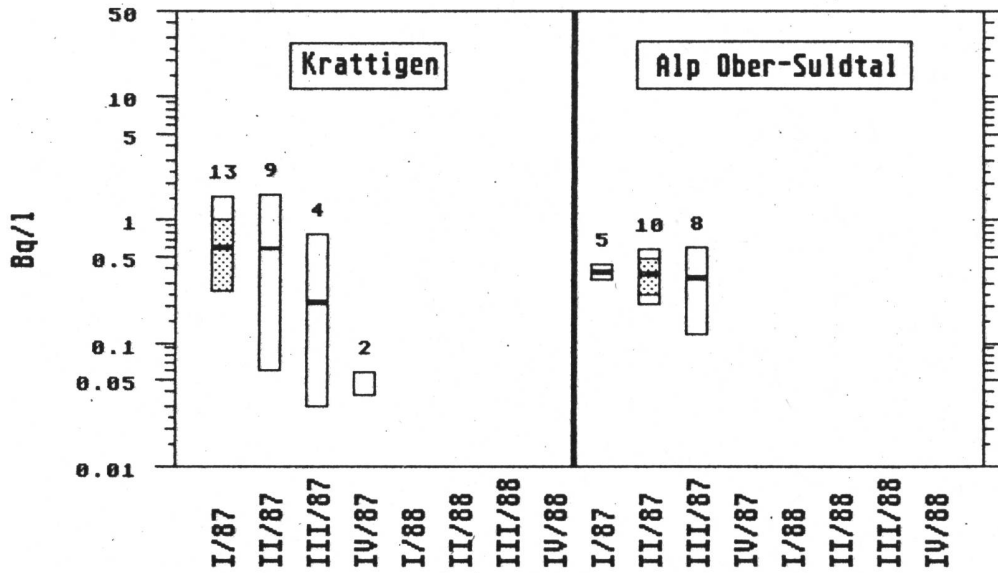


Fig.3.21.m: Cs-137 dans le lait de vache 1987 et 1988

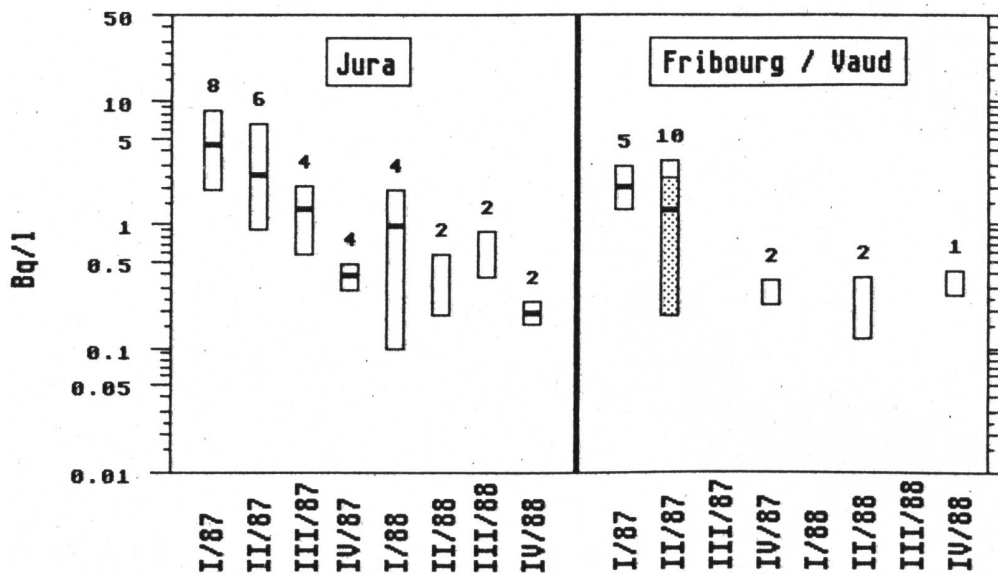


Fig.3.22.c: Cs-137 dans le lait de l'Oberland bernois

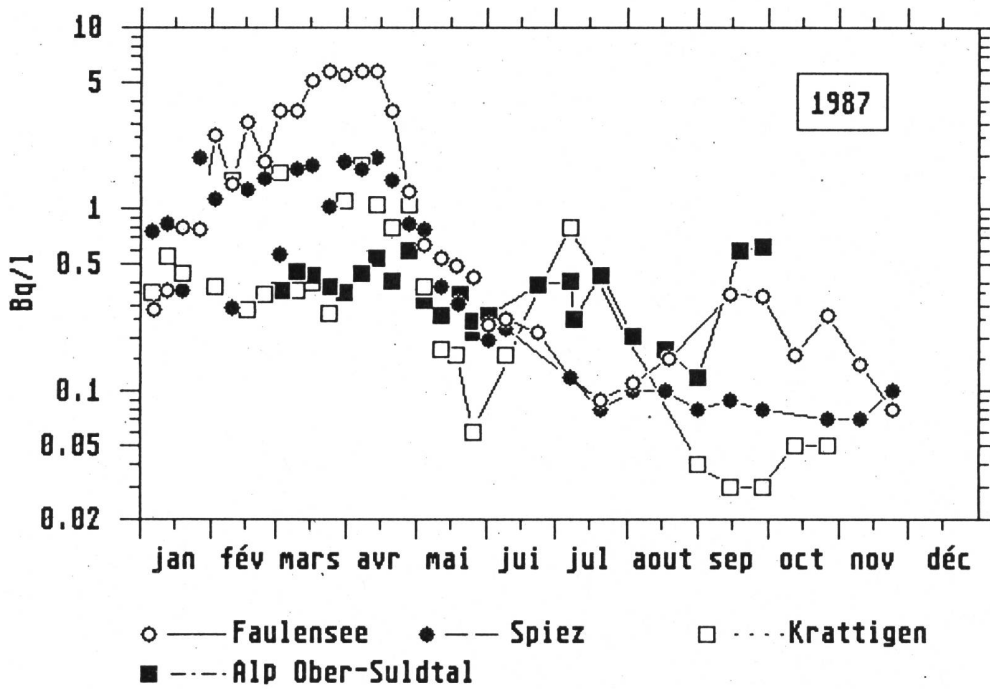


Fig.3.22.d: Corrélation entre le lait et l'herbe :
Activité de Cs-137 pour l'année 1987

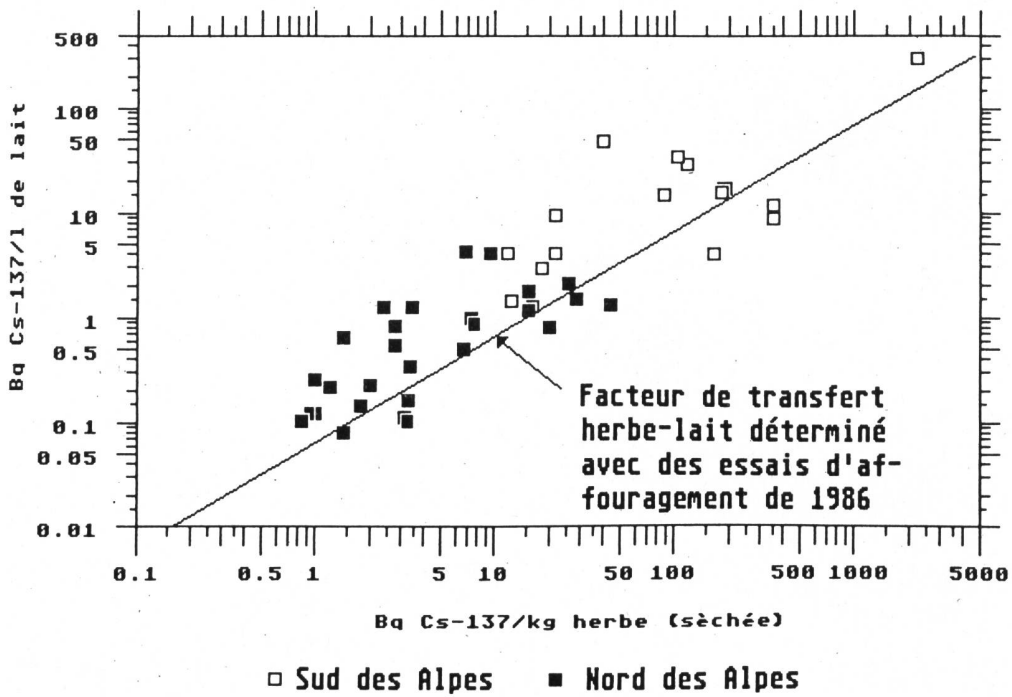


Fig.3.22.e: Sr-90 dans des échantillons de lait

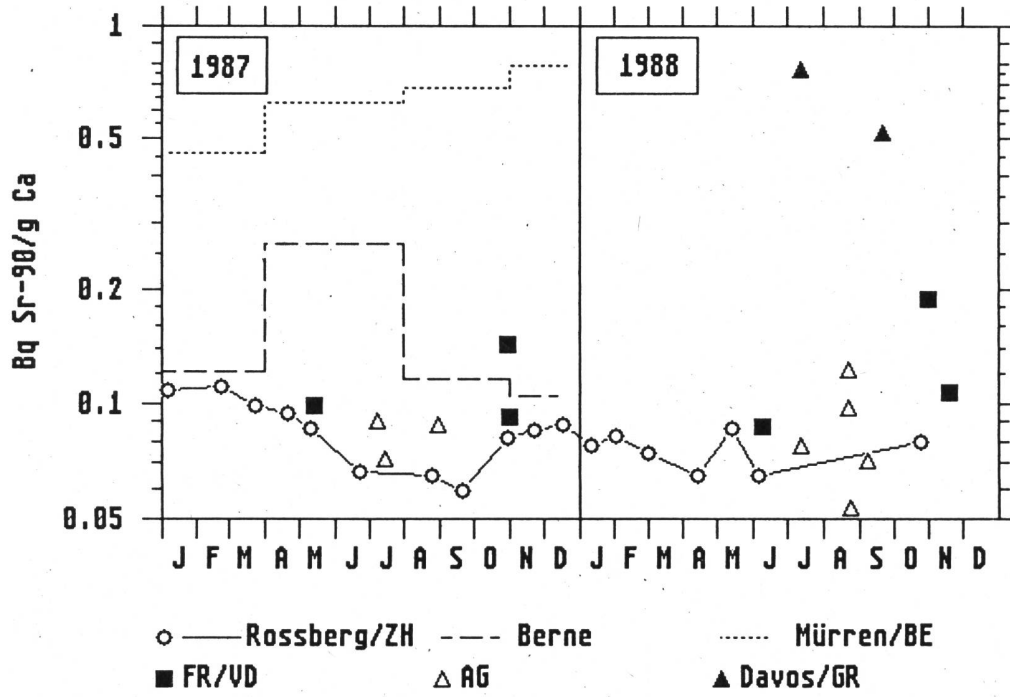


Fig.3.22.f: Sr-90 dans le lait de Rossberg/Kemptthal / ZH

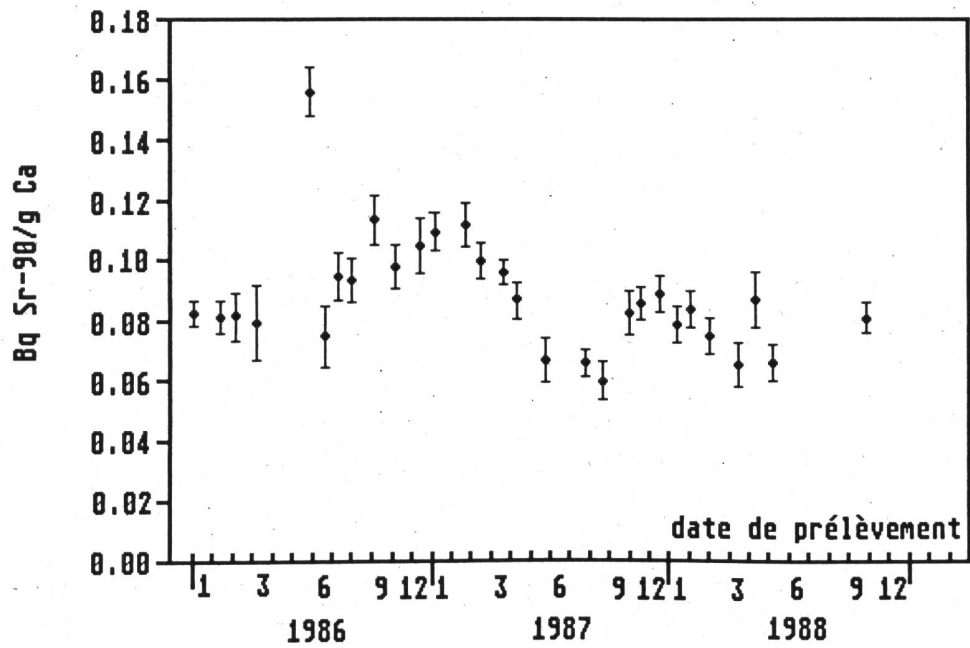


Fig.3.23.a: Cs-137 dans le lait de chèvre

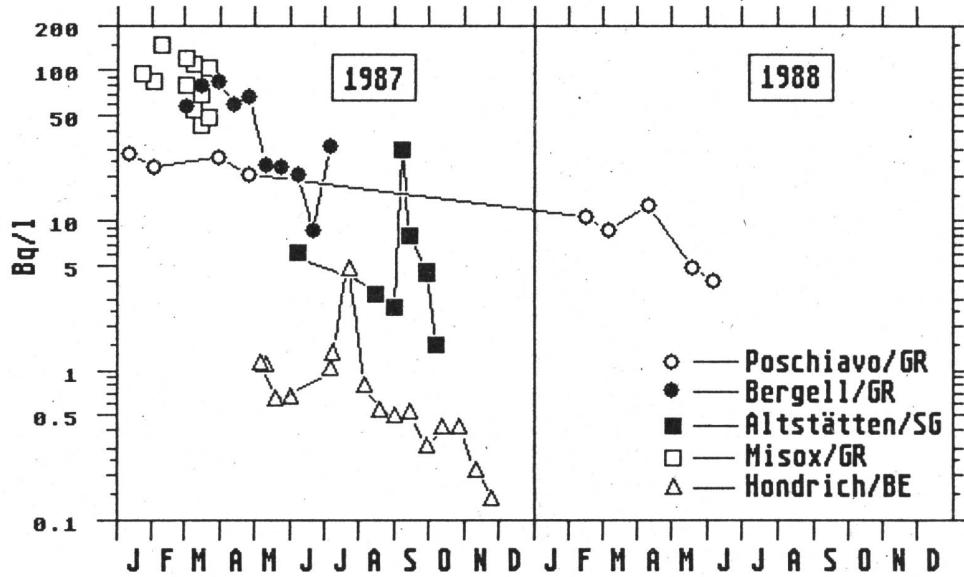


Fig.3.23.b: Cs-137 dans le lait de chèvre du Tessin

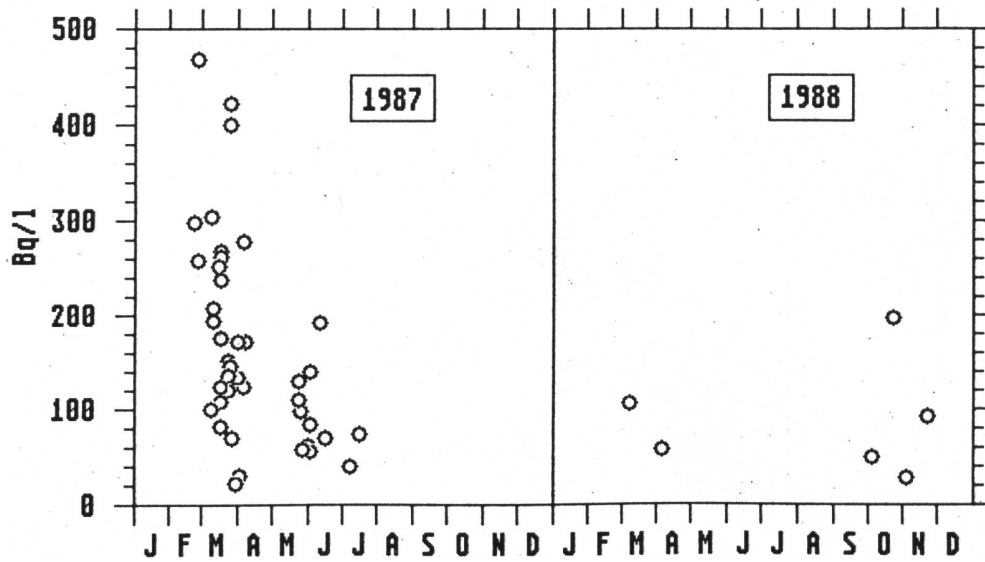


Fig.3.23.c: Cs-137 dans le lait de mouton

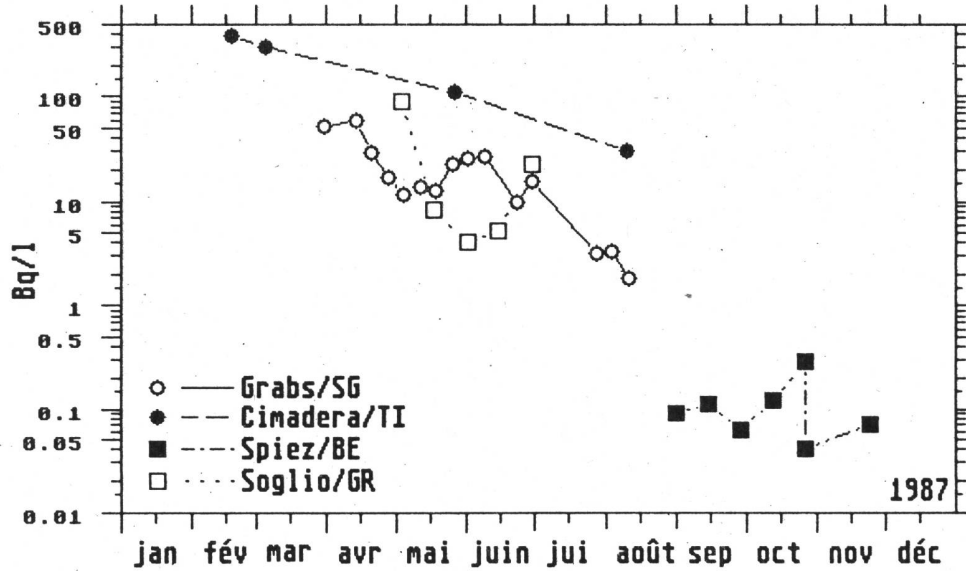


Fig.3.24: Cs-137 dans les produits laitiers 1987/1988

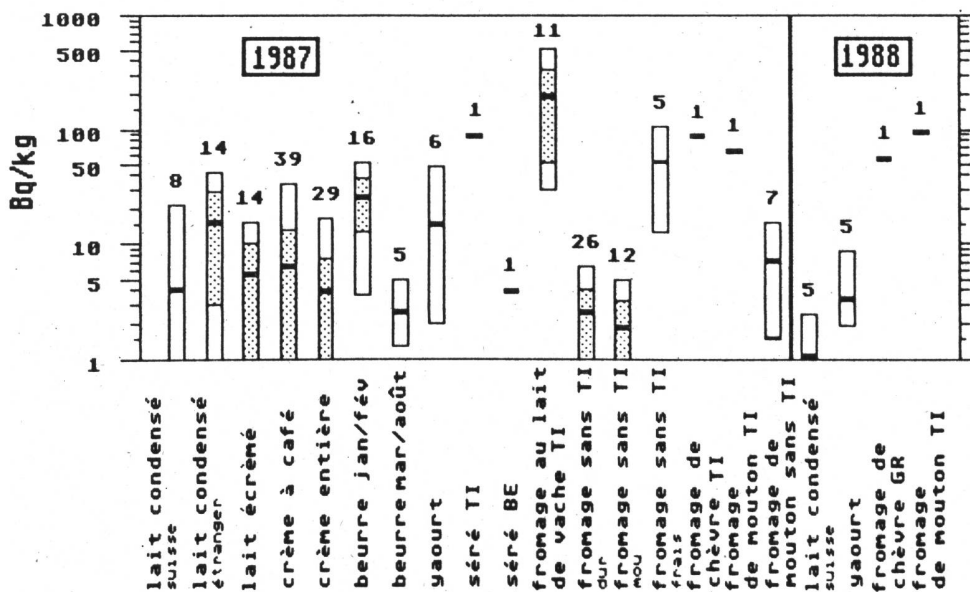


Fig.3.25.a: Cs-137 dans les céréales et les produits céréaliers 1987

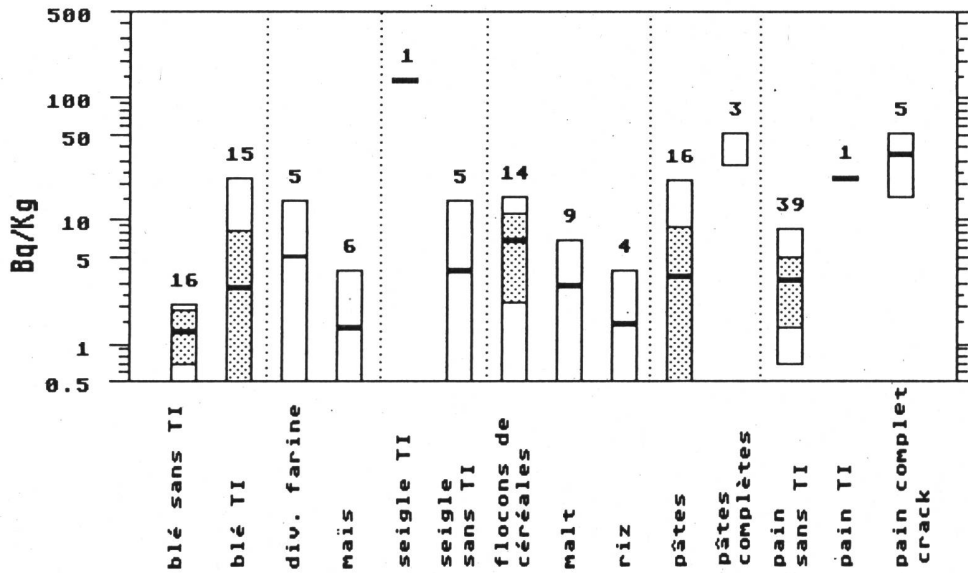


Fig.3.25.b: Cs-137 dans les céréales et les produits céréaliers 1988

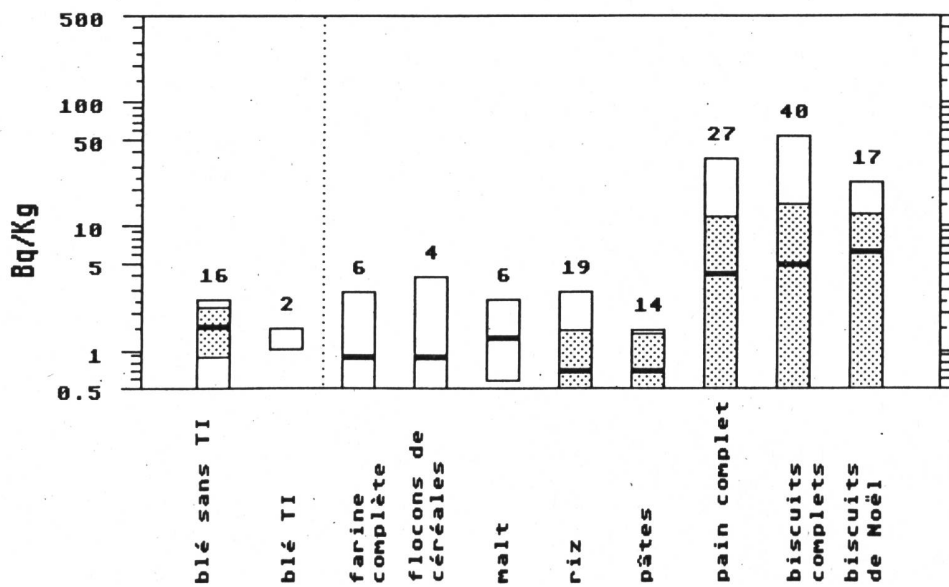


Fig.3.25.c: Cs-137 dans les produits céréaliers

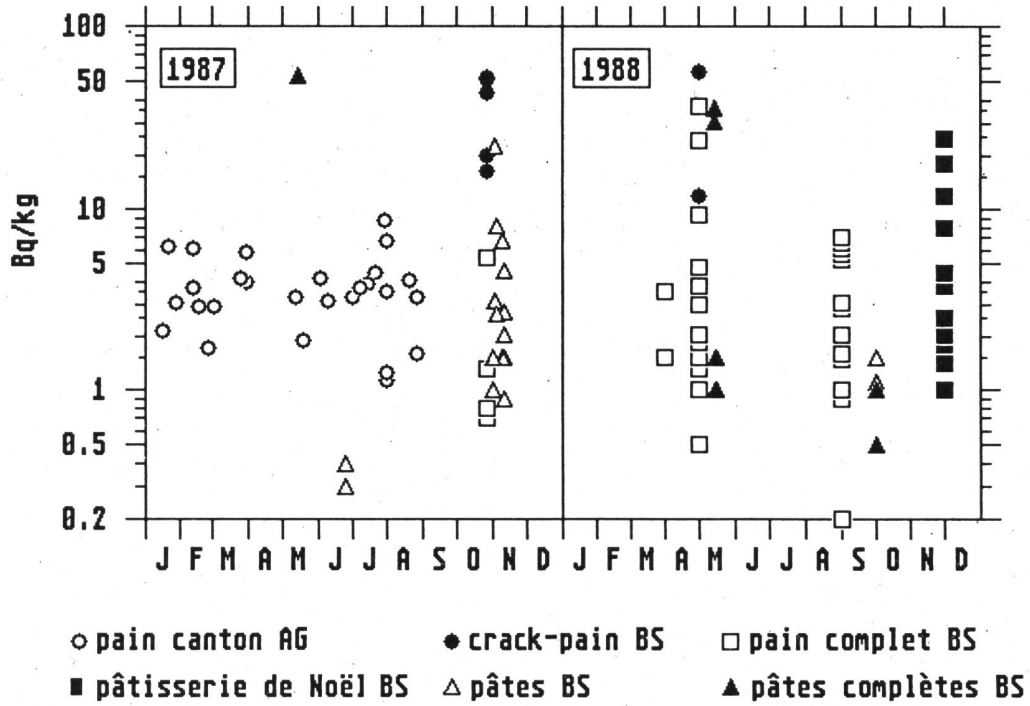
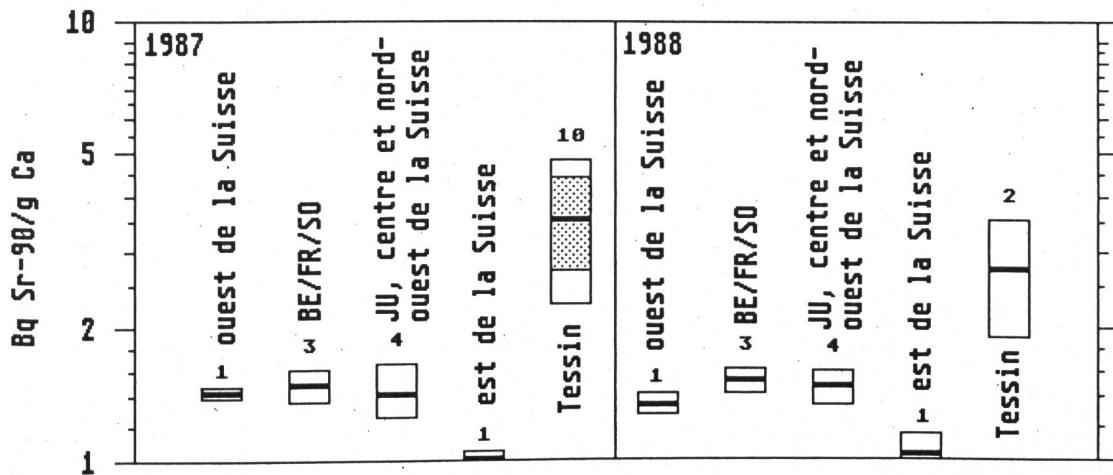


Fig.3.25.d: Sr-90 dans les céréales



1 Bq Sr-90/kg = 2.6 Bq/g Ca

Fig.3.26.a: Cs-137 dans les légumes du Tessin 1987/1988

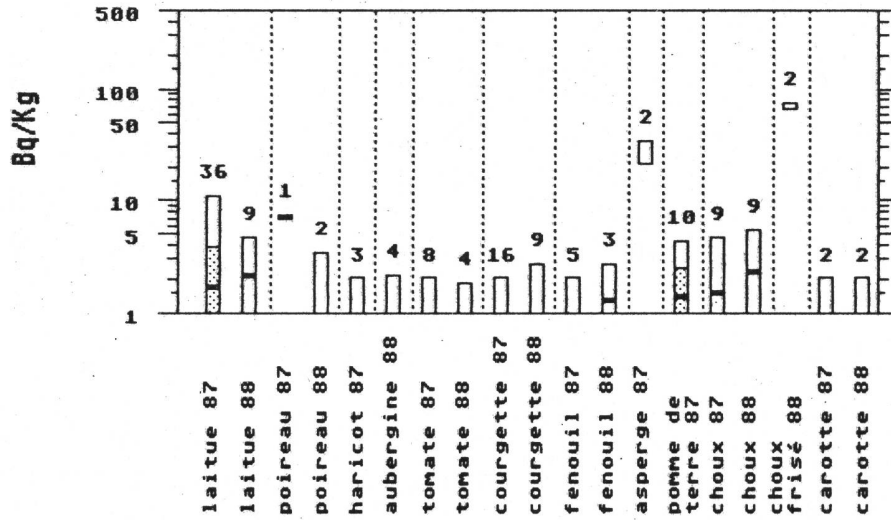


Fig.3.26.b: Cs-137 dans les l gumes de l'est de la Suisse 1987/1988

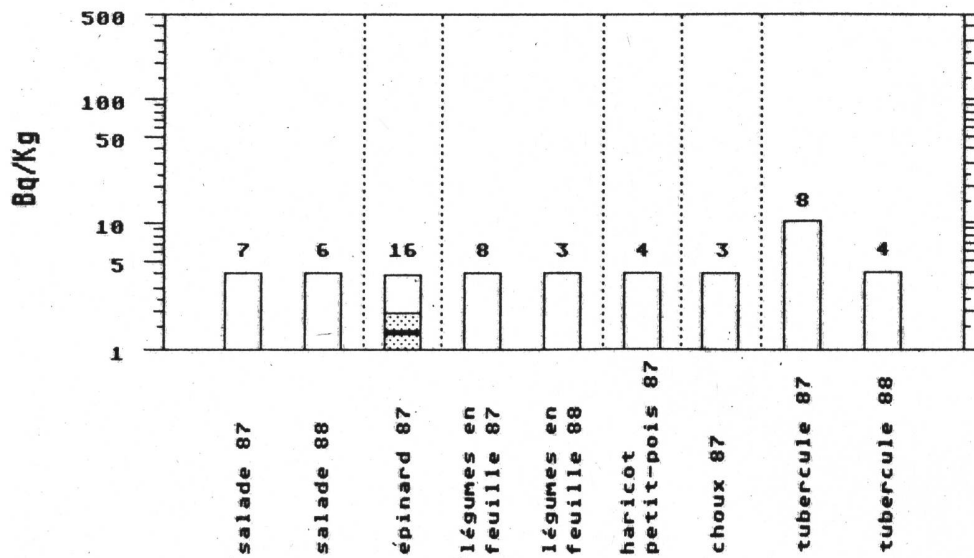


Fig.3.26.c: Cs-137 dans les légumes du reste de la Suisse 1987/1988

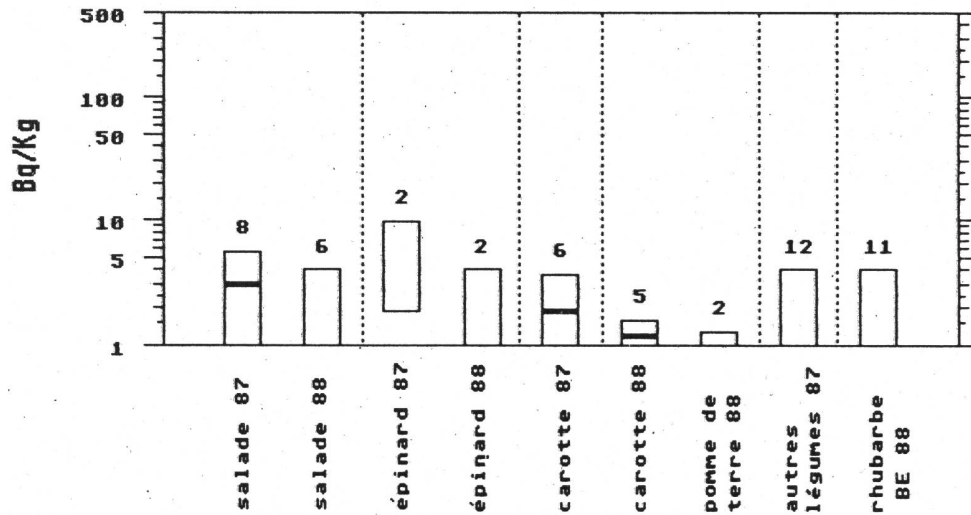


Fig.3.27.a: Cs-137 dans les fruits du Tessin 1987/1988

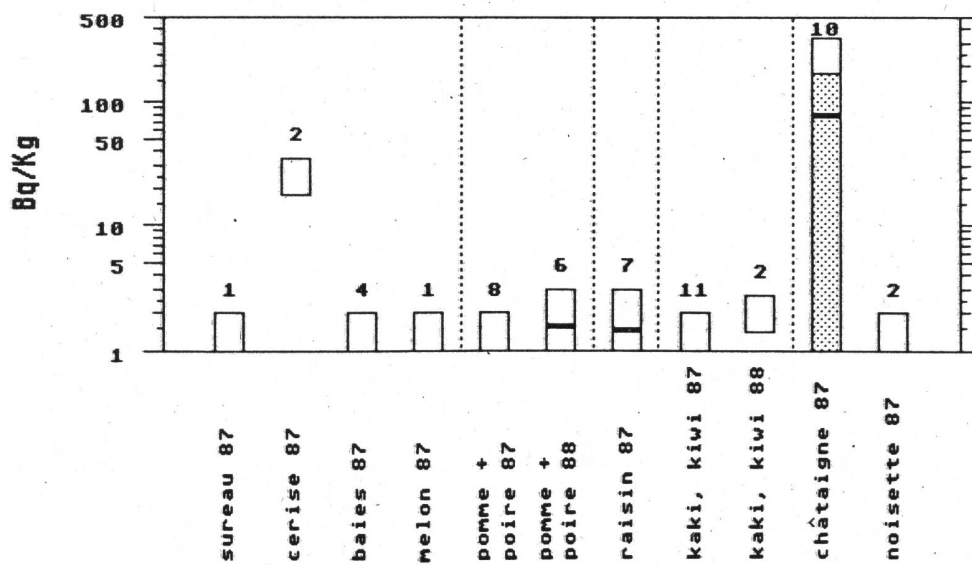


Fig.3.27.b: Cs-137 dans les fruits de l'est de la Suisse 1987/1988

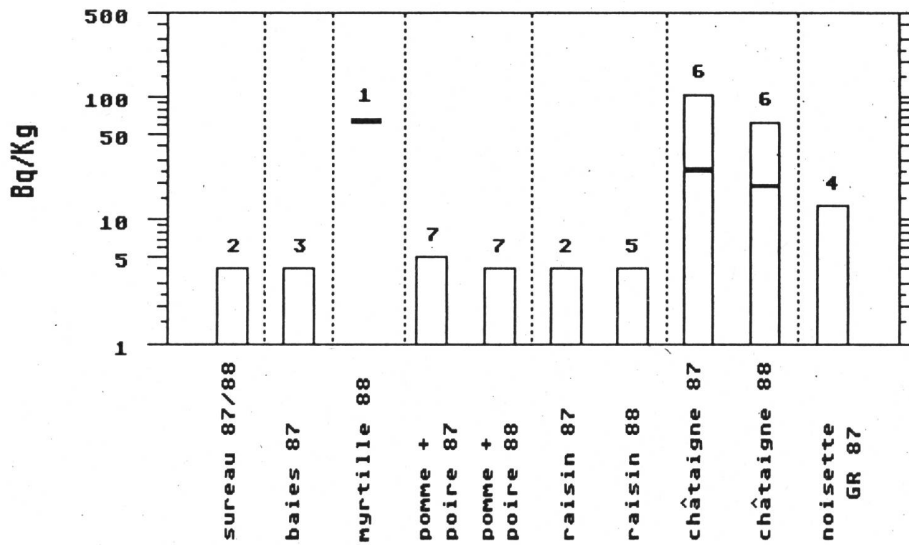


Fig.3.27.c: Cs-137 dans les fruits du reste de la Suisse 1987/1988

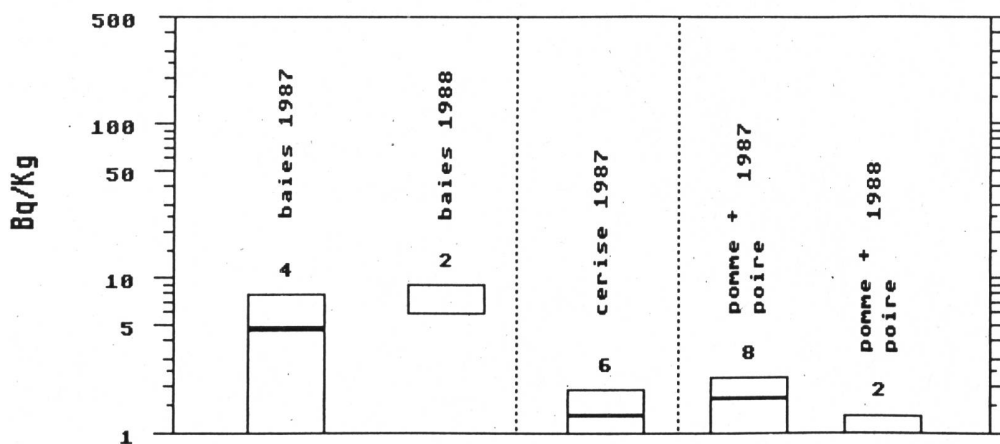


Fig.3.28.a: Cs-137 dans les champignons frais

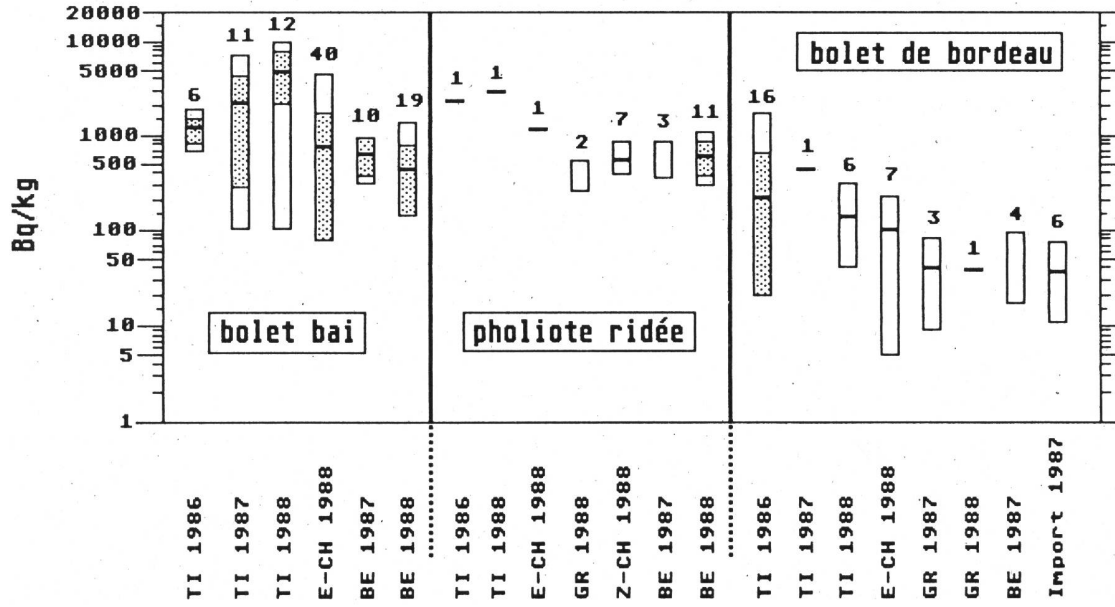
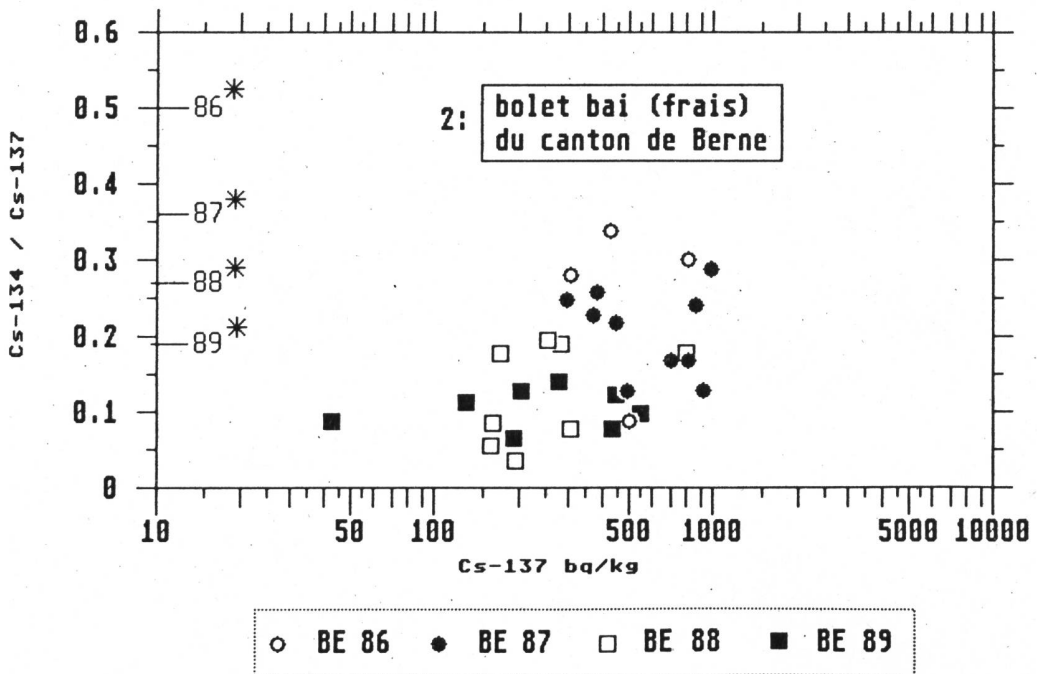
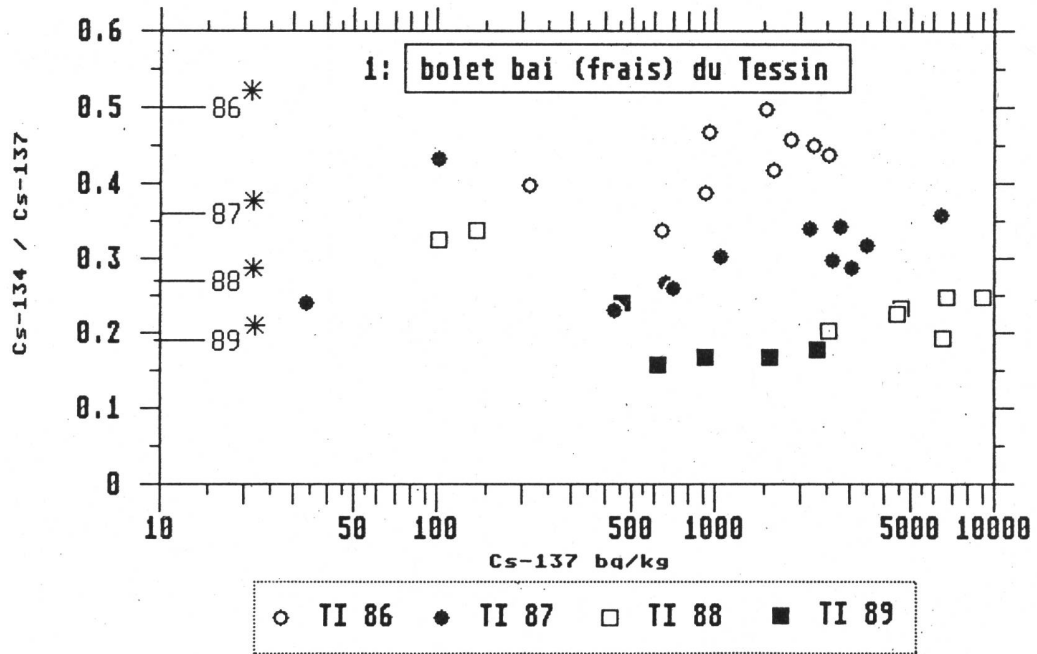


Fig.3.28.b: Rapport isotopique Cs-134/137 dans les bolets bails



* valeur escomptée pour le rapport Cs-134/137

Fig.3.29.a: Cs-137 dans la viande du Tessin 87/88

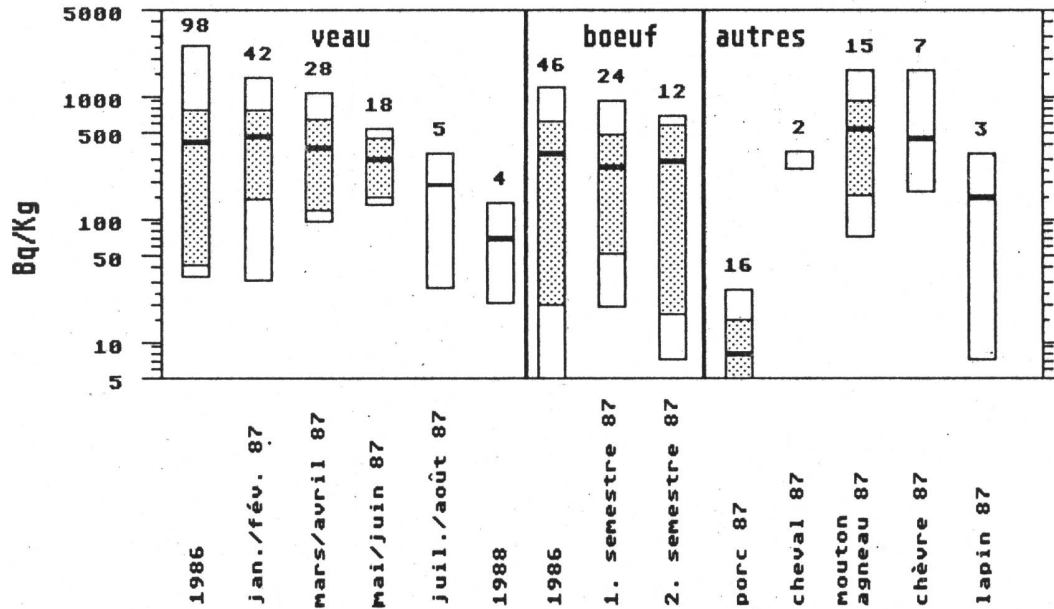


Fig.3.29.b: Cs-137 dans la viande de l'est de la Suisse 87/88

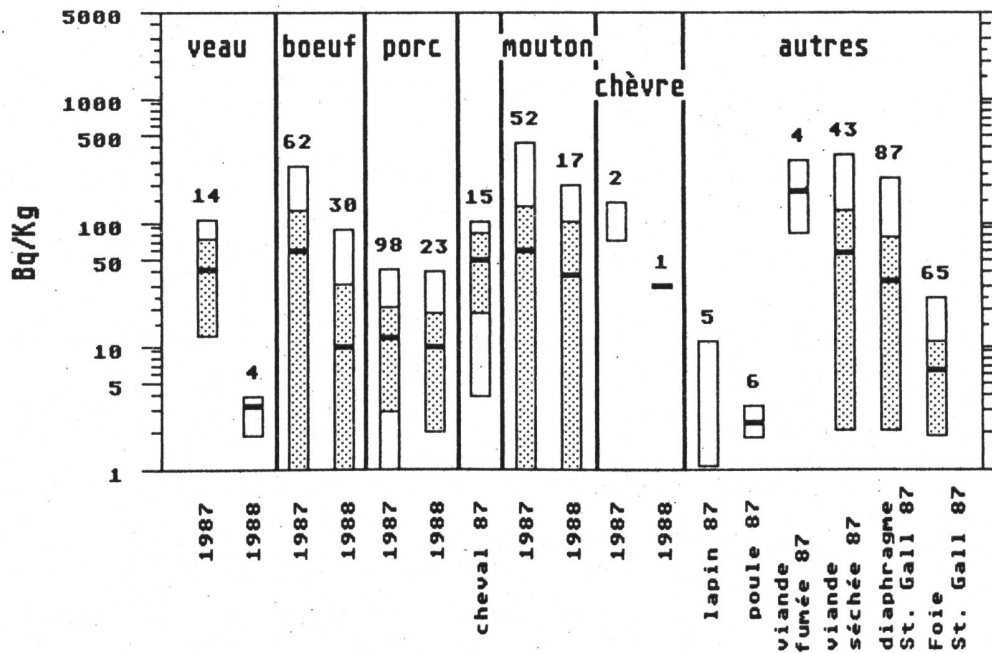


Fig.3.29.c: Cs-137 dans la viande des Grisons 87/88

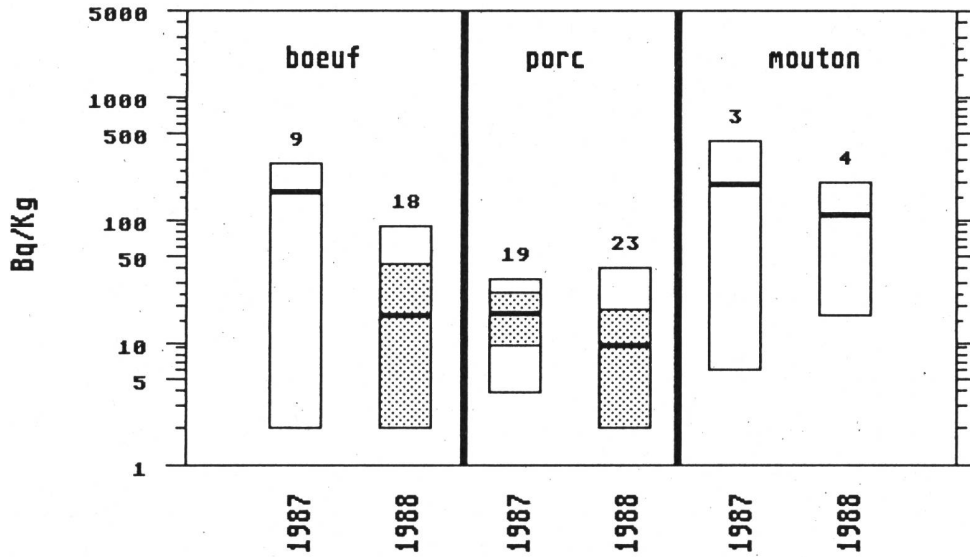


Fig.3.29.d: Cs-137 dans la viande du centre et du nord de la Suisse 1987/1988

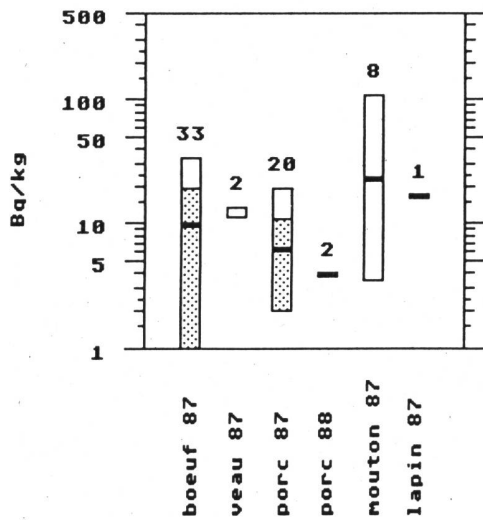


Fig.3.29.e: Cs-137 dans la viande de l'ouest de la Suisse 1987/1988

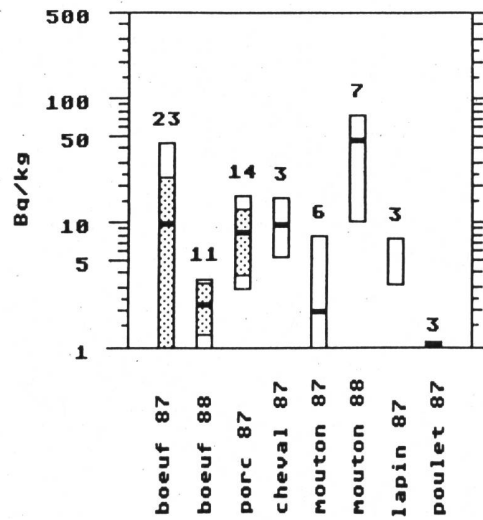


Fig.3.30.a: Cs-137 dans le gibier du Tessin 87/88

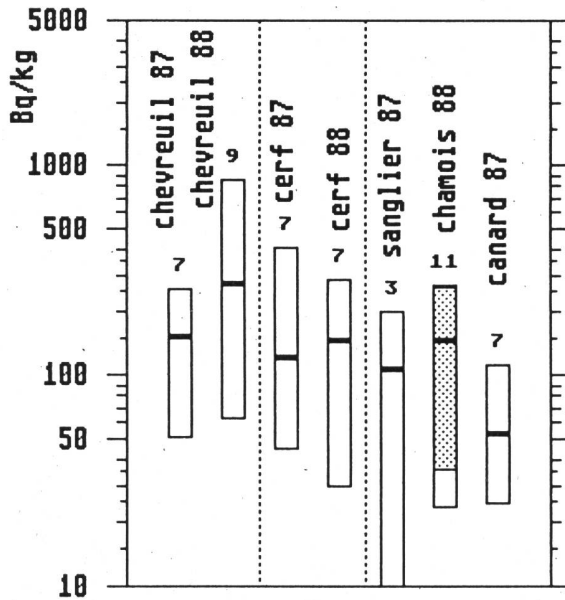


Fig.3.30.b: Cs-137 dans le gibier de l'est de la Suisse sans les Grisons 87/88

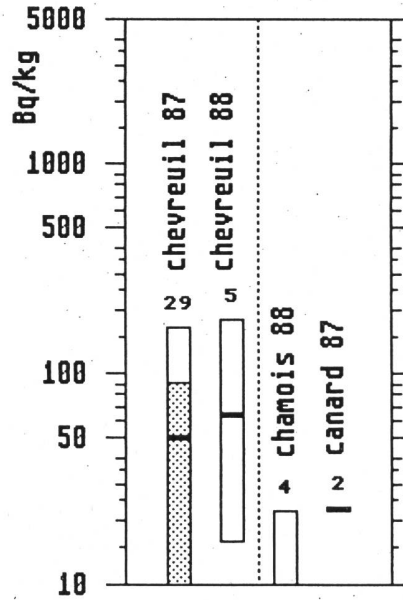


Fig.3.30.c: Cs-137 dans le gibier des Grisons 87/88

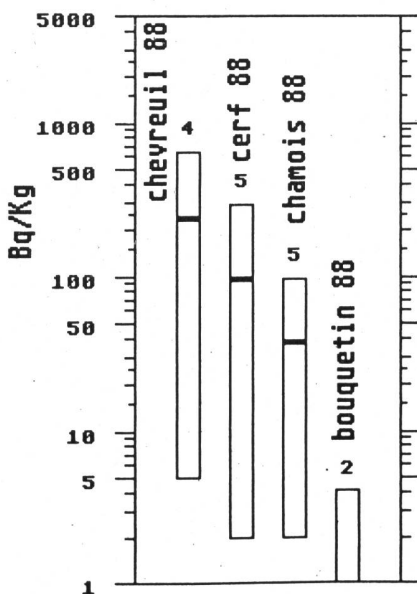


Fig.3.30.d: Cs-137 dans le gibier du reste de la Suisse (sans TI et l'est de la Suisse) 87/88

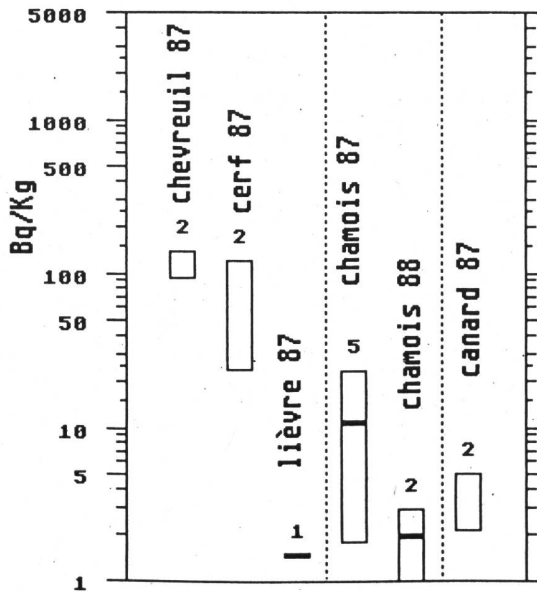


Fig.3.31.a: Tritium dans le Rhin

prélèvements mensuels ou hebdomadaires

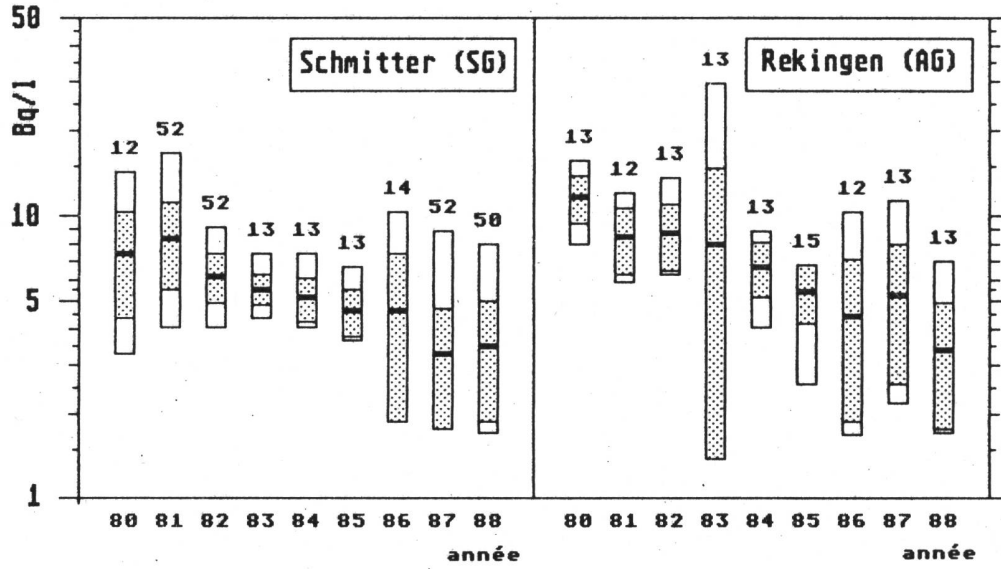


Fig.3.31.b: Tritium dans l'Air

prélèvements mensuels ou hebdomadaires

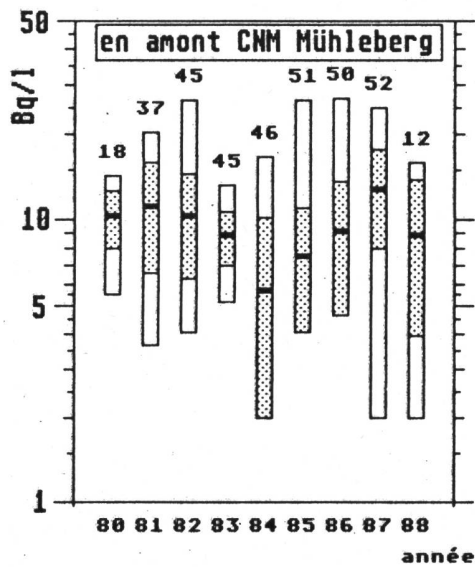


Fig.3.31.c: Tritium dans le Rhin

prélèvements mensuels

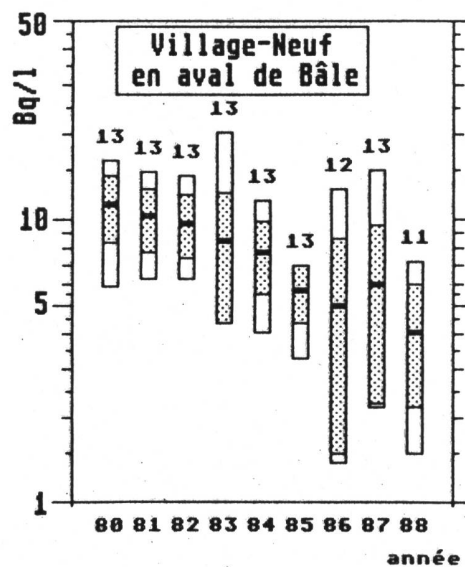


Fig.3.31.d: Tritium dans le Rhône
prélèvements mensuels

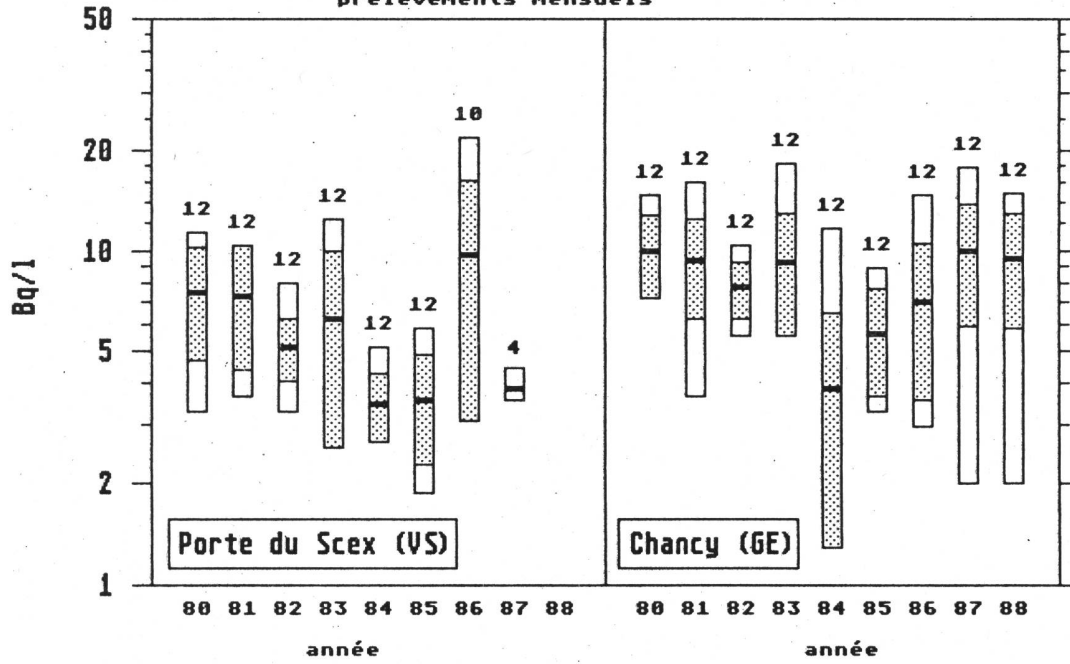


Fig.3.31.e: Tritium dans l'Aar

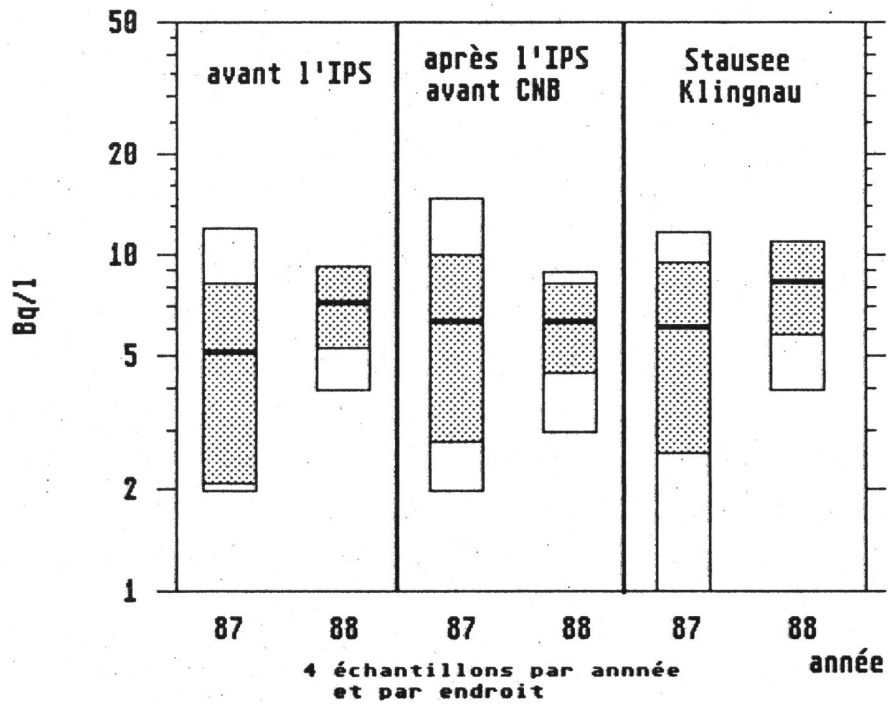


Fig.3.31.h: Activité alpha dans le Rhin
prélèvements mensuels

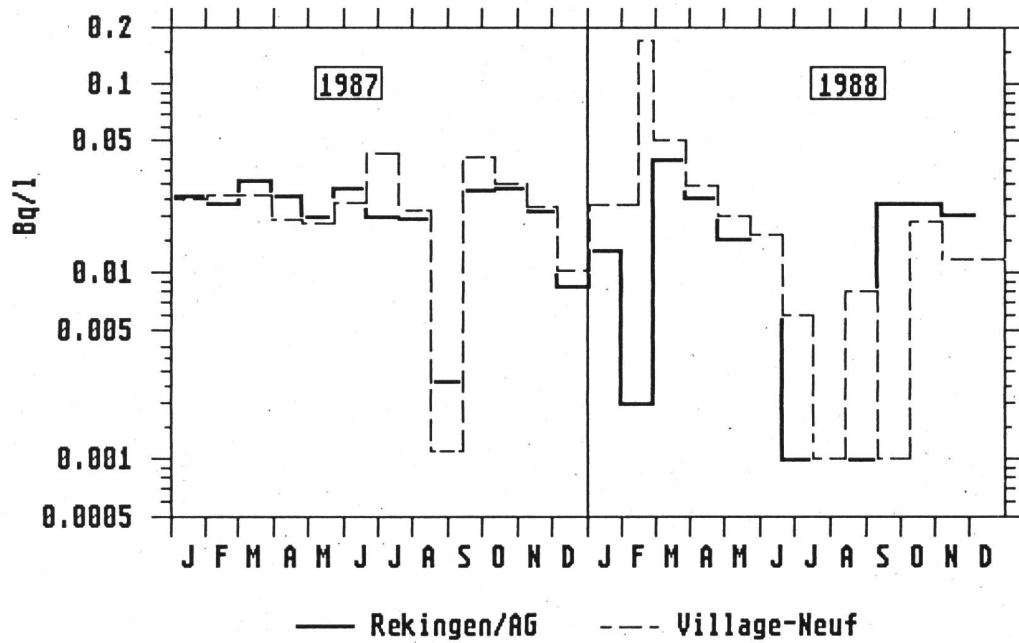


Fig. 3.32.a: Cs-137 dans l'eau du lac de Lugano (EAWAG)
(bassin sud)

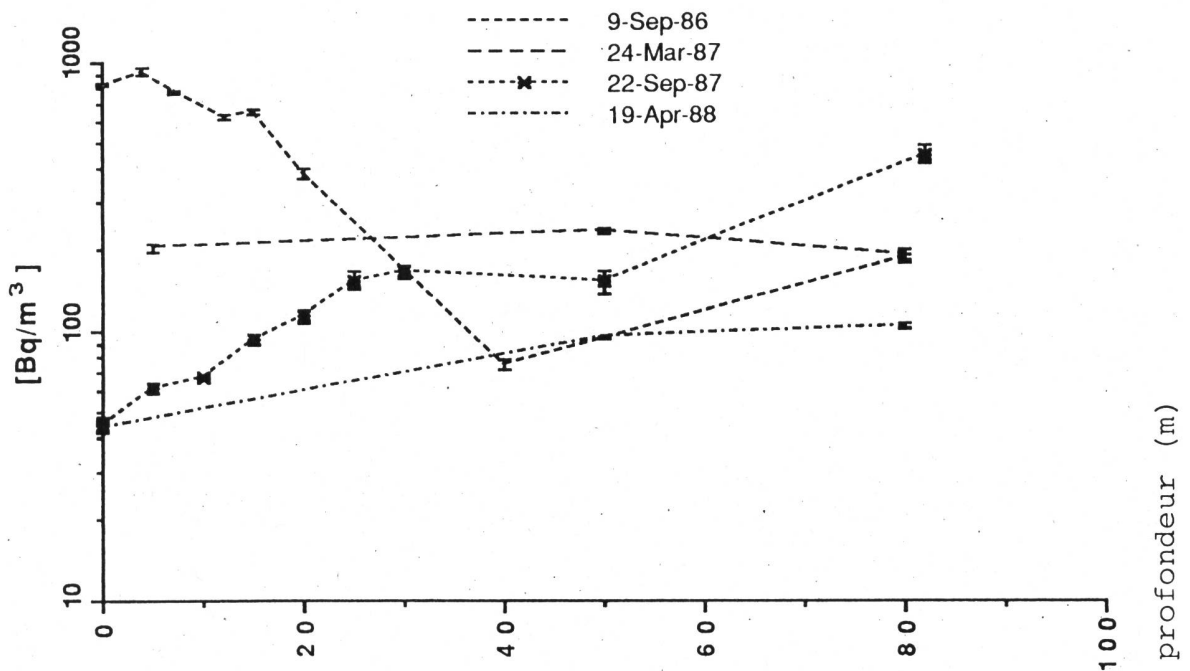


Fig. 3.32.b: Cs-137 dans l'eau du lac de Constance (EAWAG)

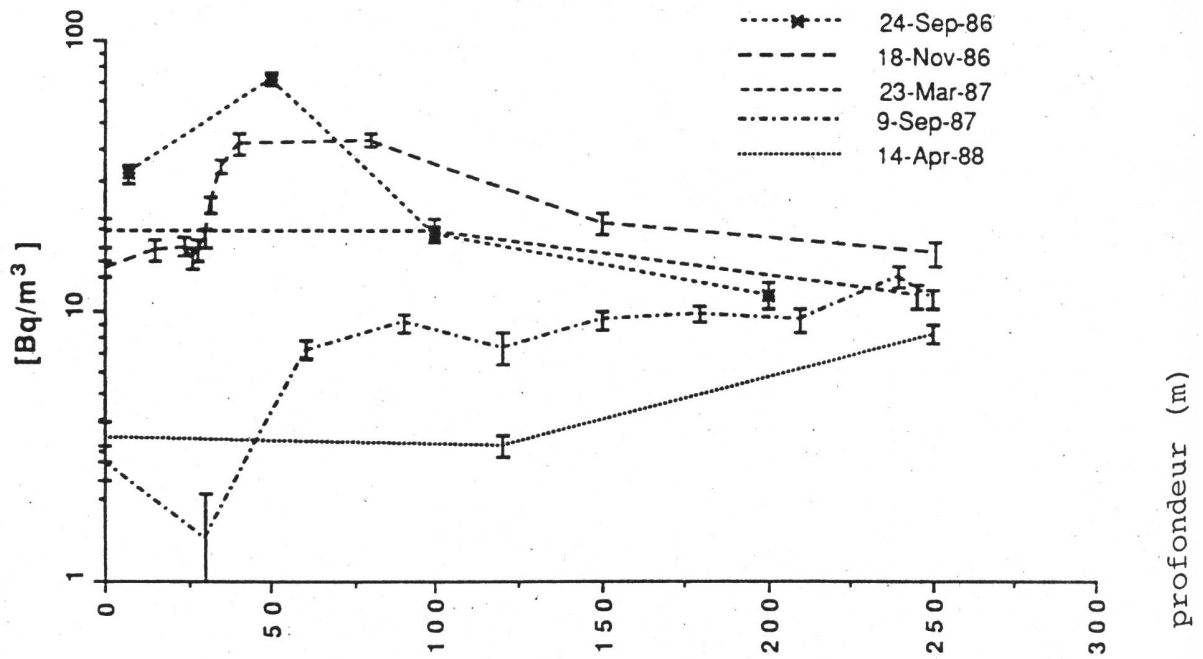


Fig. 3.32.c: Cs-137 dans l'eau du lac de Zurich (EAWAG)

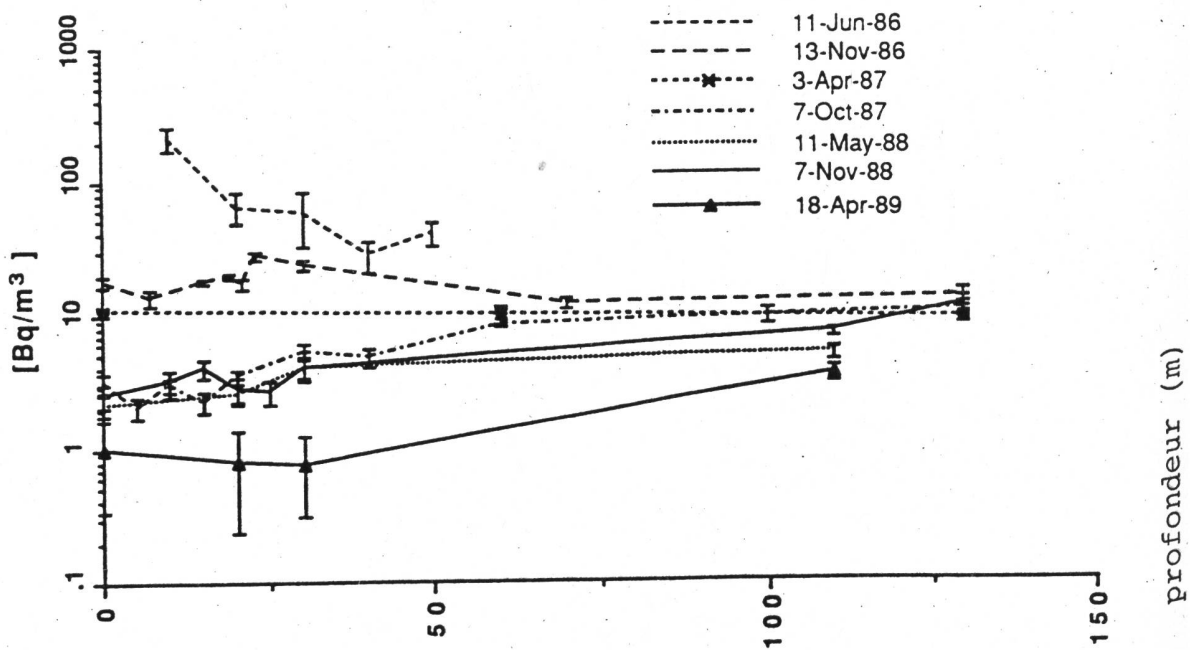


Fig.3.32.d: Dépôt de Cs-137 dans les lacs de Suisse

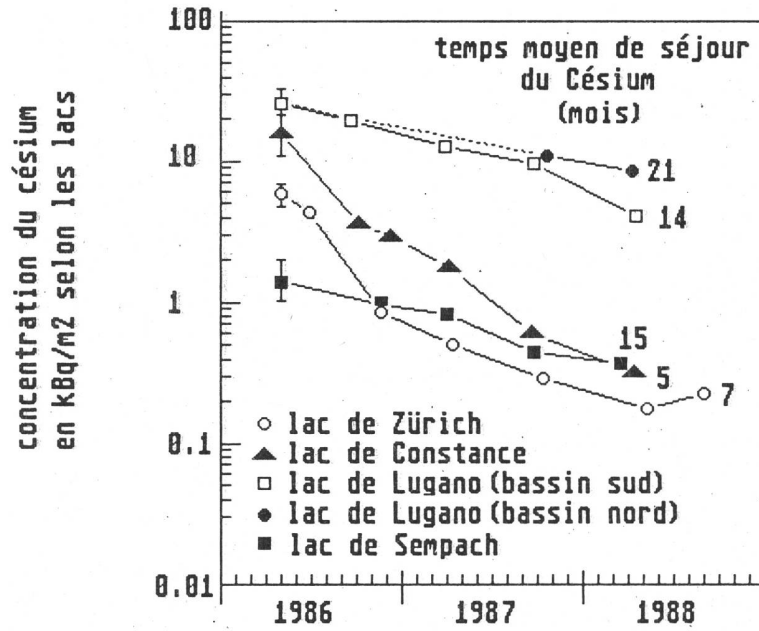
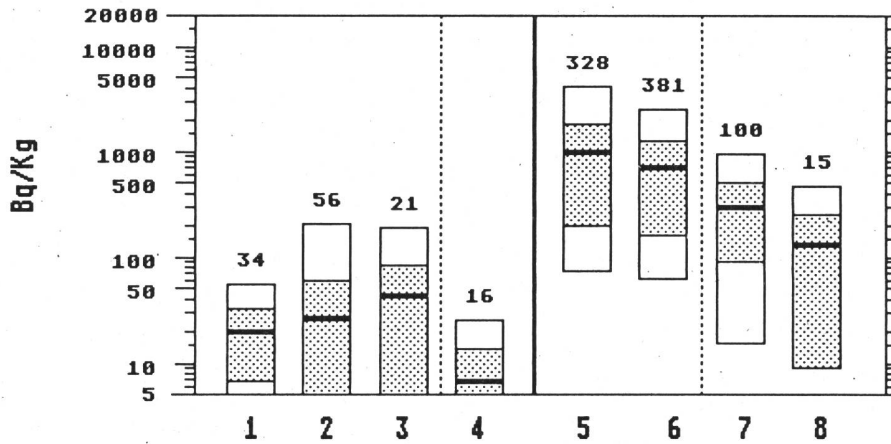


Fig.3.33.a: Cs-137 dans les poissons des lacs suisses en 87/88



- 1: lacs de l'ouest de la Suisse 1987
- 2: lacs du centre de la Suisse 1987
- 3: lac de Constance 1987
- 4: ensemble des lacs suisses (sans TI) 1988
- 5: lac Ceresio 1987
- 6: lac Ceresio 1988
- 7: lac Majeur 1987
- 8: lac Majeur 1988

Fig. 3.33.b: Cs-137 dans les poissons du lac de Ceresio/TI (brochet)

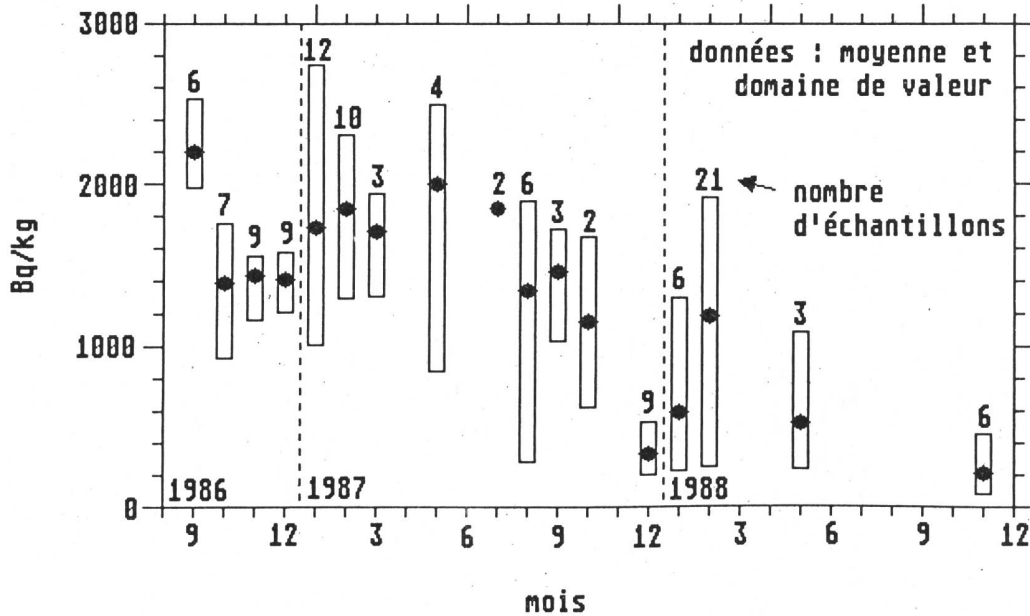


Fig.3.33.c: Cs-134 et Cs-137 dans les perches du lac de Lugano
kBq/kg (Cs-134 + Cs-137) domaine de valeurs et valeurs moyennes

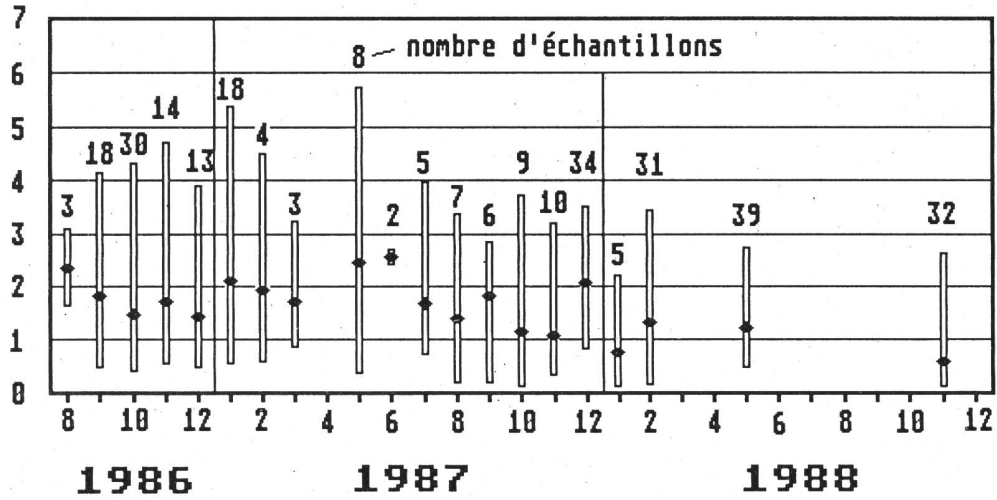


Fig. 3.33.d: Cs-134 et Cs-137 dans les poissons du lac de Lugano

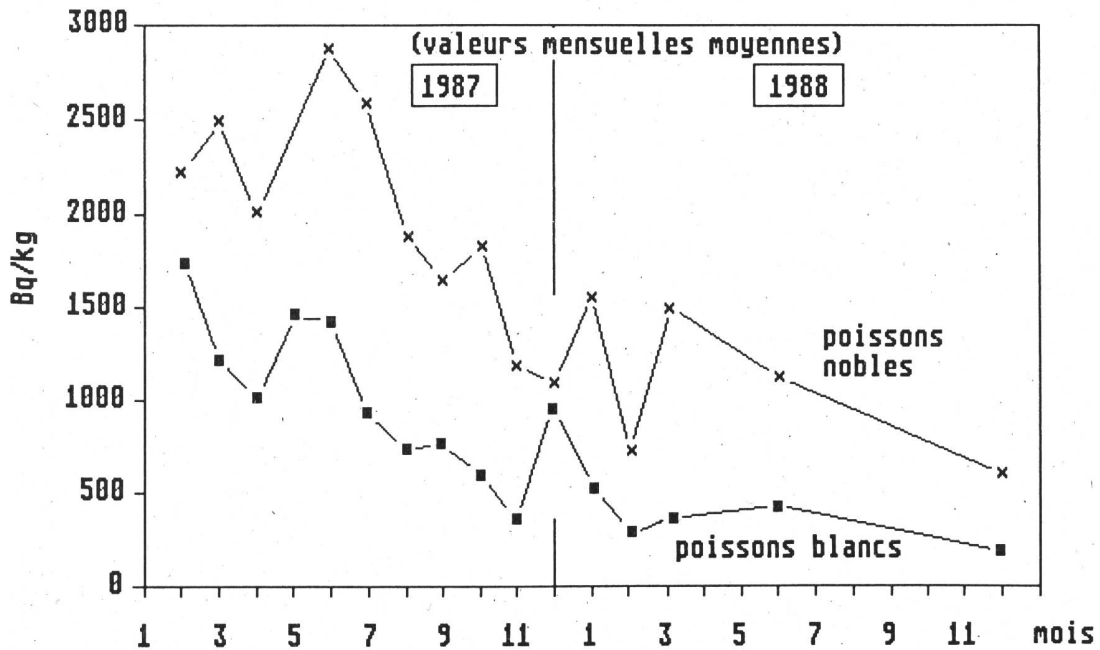


Fig.3.34.a: Cs-137 dans différents produits 1987/1988

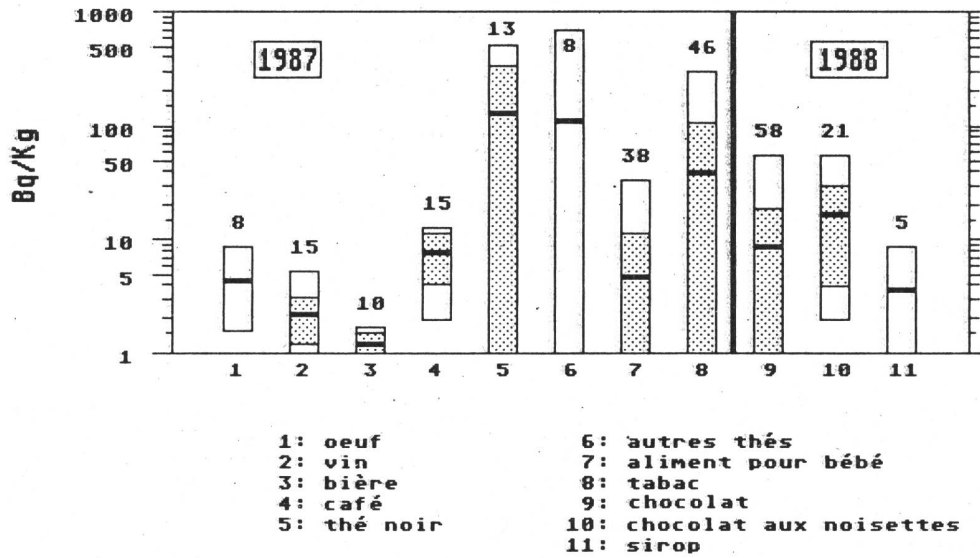


Fig.3.34.b: Cs-137 dans différents produits 1987

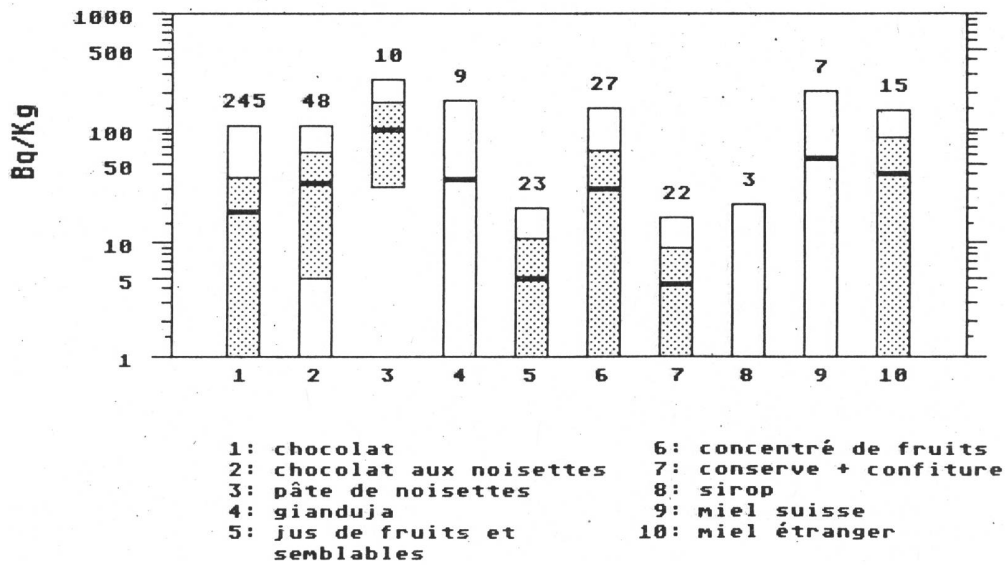


Fig.3.35: Cs-137 dans les boues d'épuration fraîches

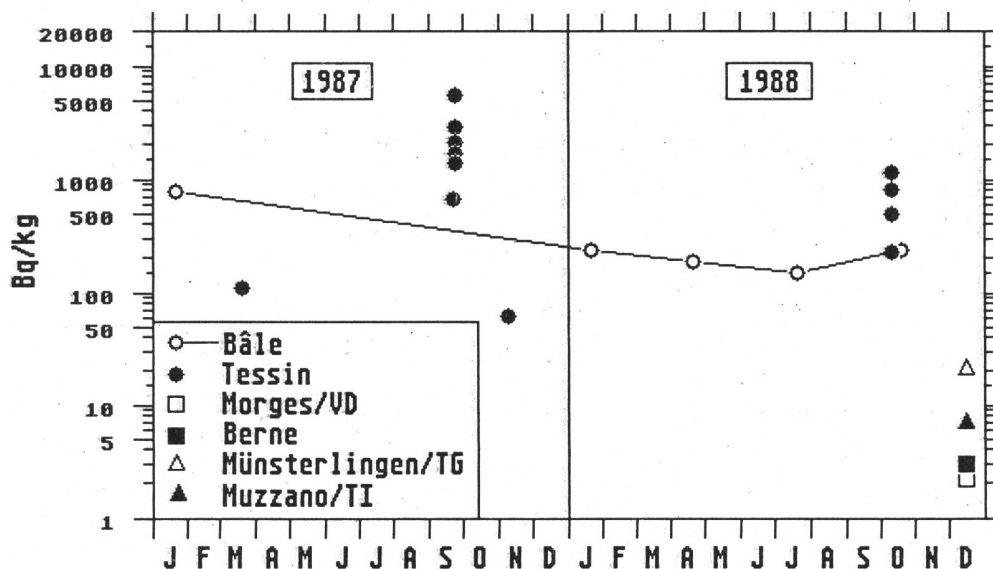


Fig.3.36.a: Cs-137 dans les viandes importées 1987/1988

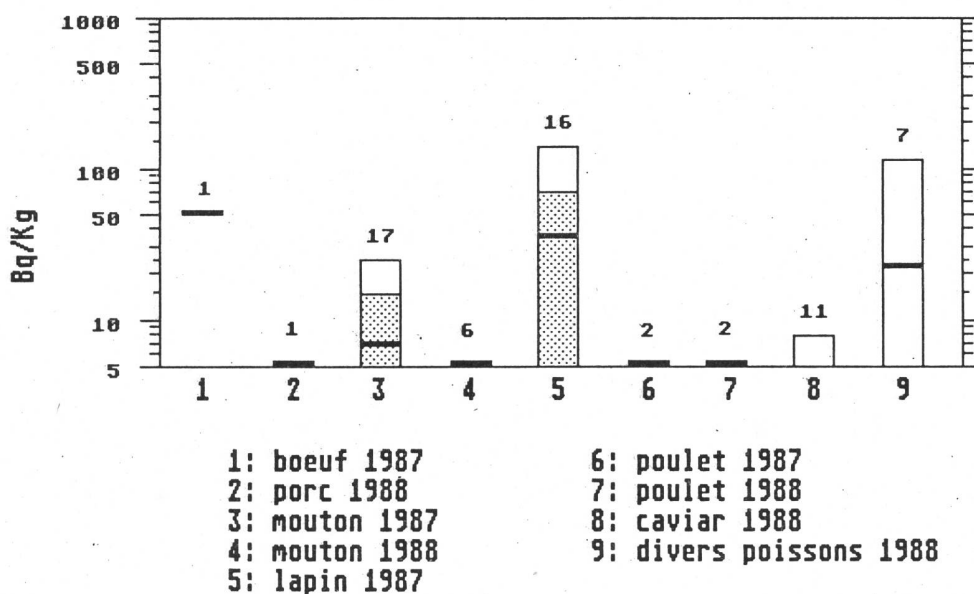


Fig.3.36.b: Cs-137 dans le gibier importé d'Autriche en 1987

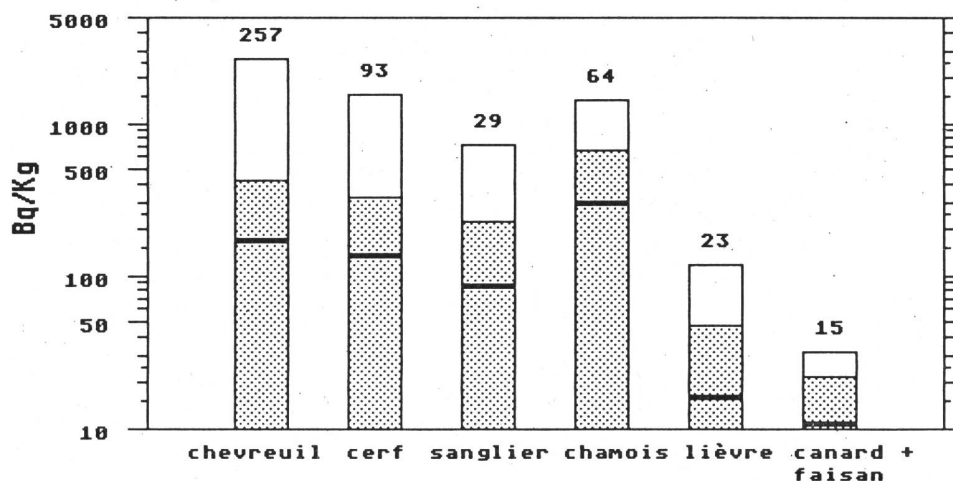


Fig.3.36.c: Cs-137 dans le gibier importé d'Autriche en 1988

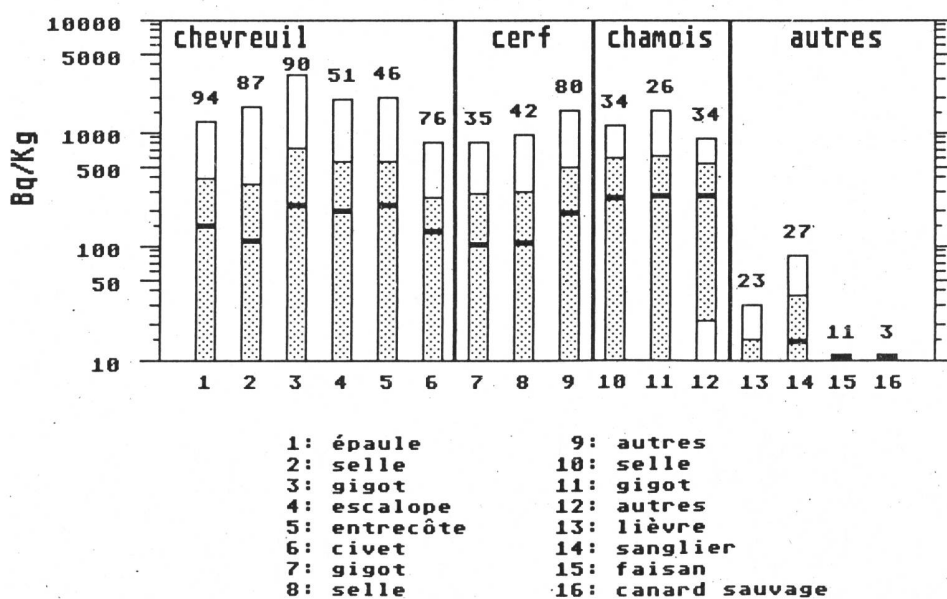


Fig.3.36.d: Cs-137 dans le gibier importé de l'étranger en 1987

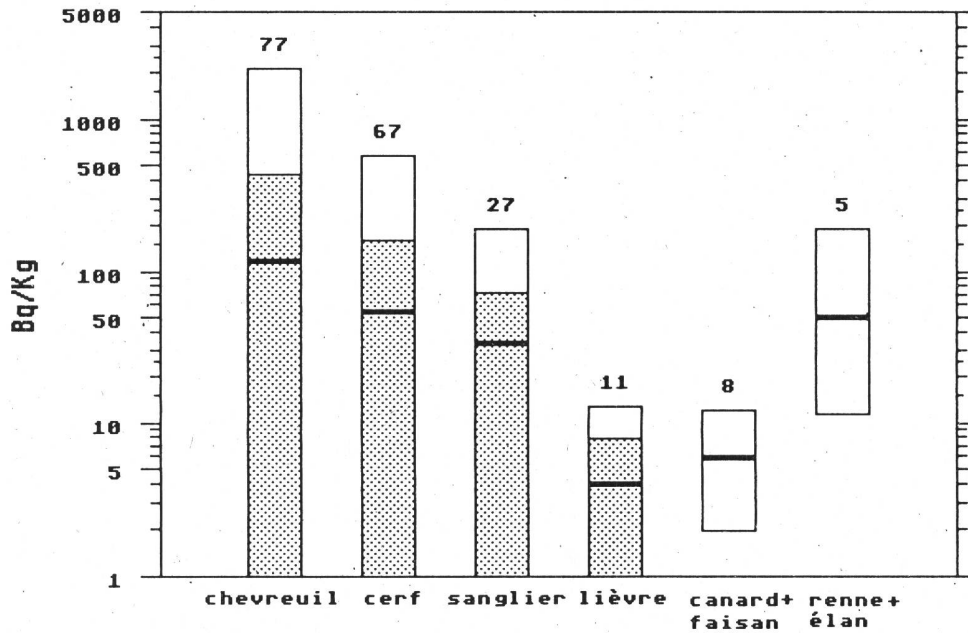


Fig.3.36.e: Cs-137 dans le gibier importé de l'étranger en 1988

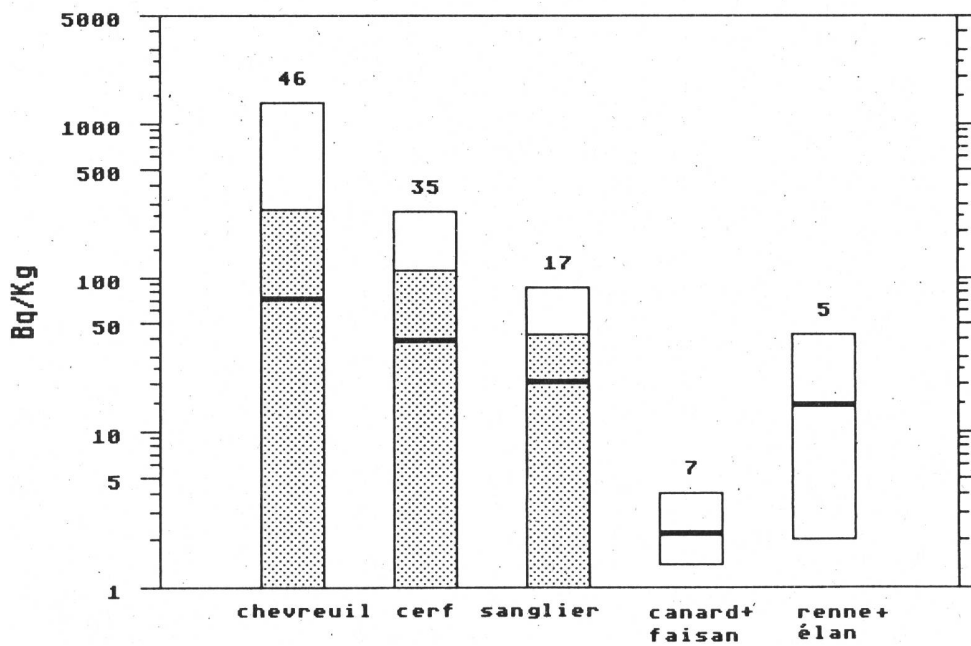


Fig.3.36.f: Cs-137 dans les légumes importés en 1987/1988

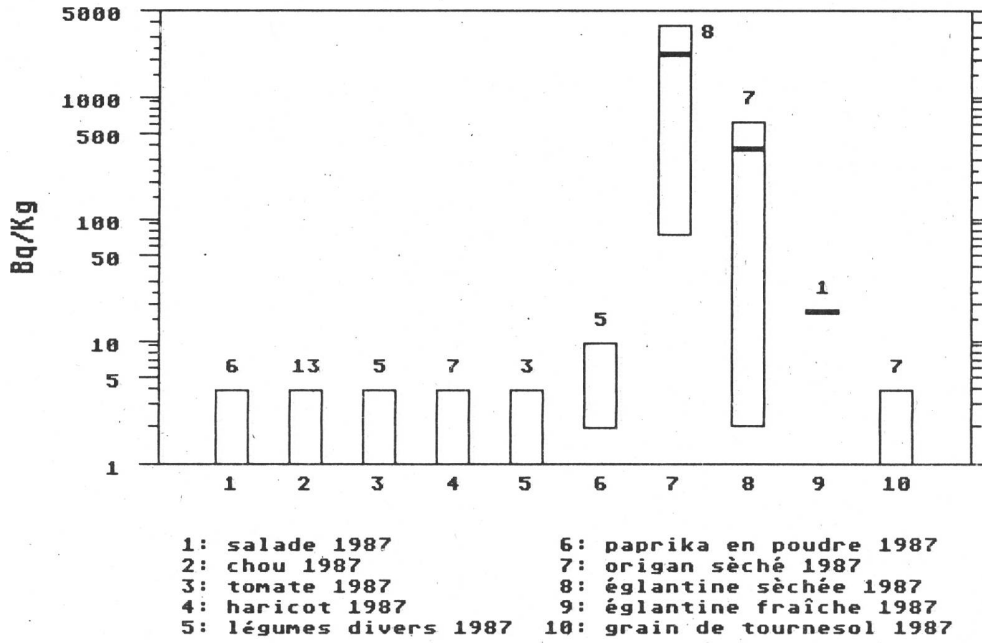


Fig.3.36.g: Cs-137 dans les fruits importés en 1987/1988

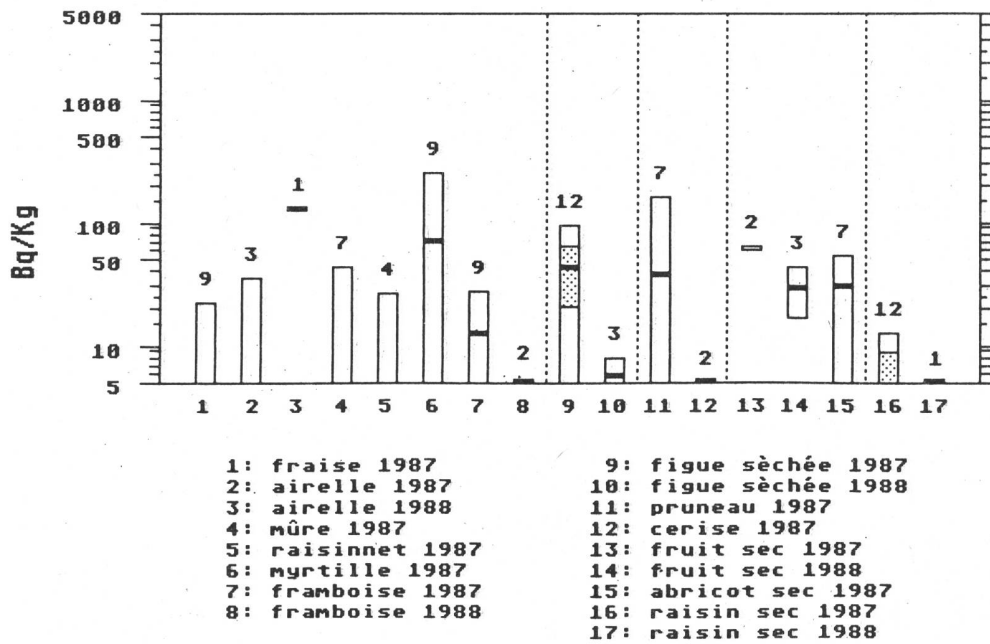


Fig.3.36.h: Cs-137 dans les noix importées en 1987/1988

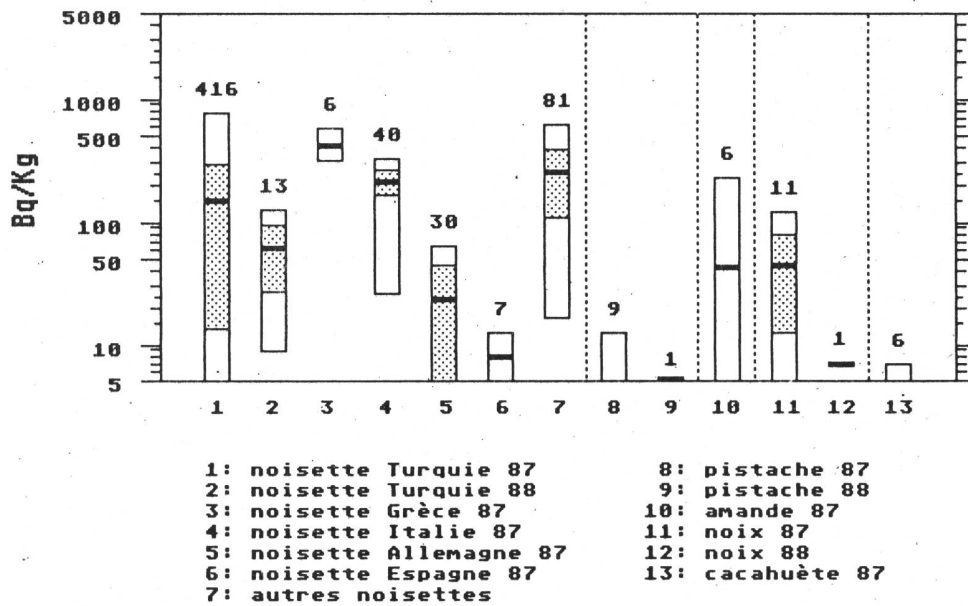


Fig.3.36.i: Cs-137 dans les champignons importés en 1987/1988

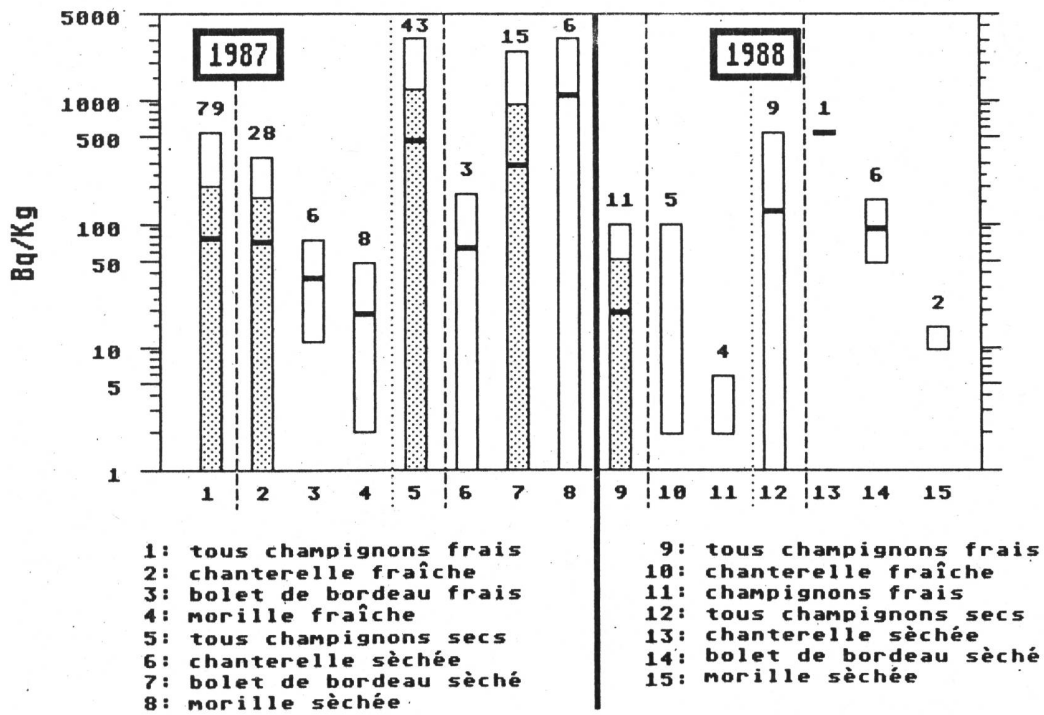
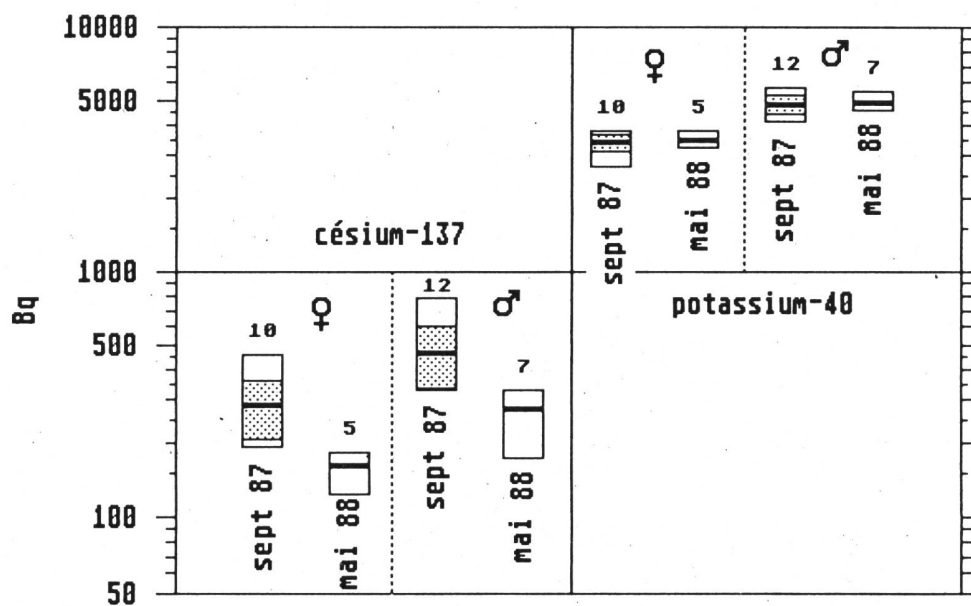
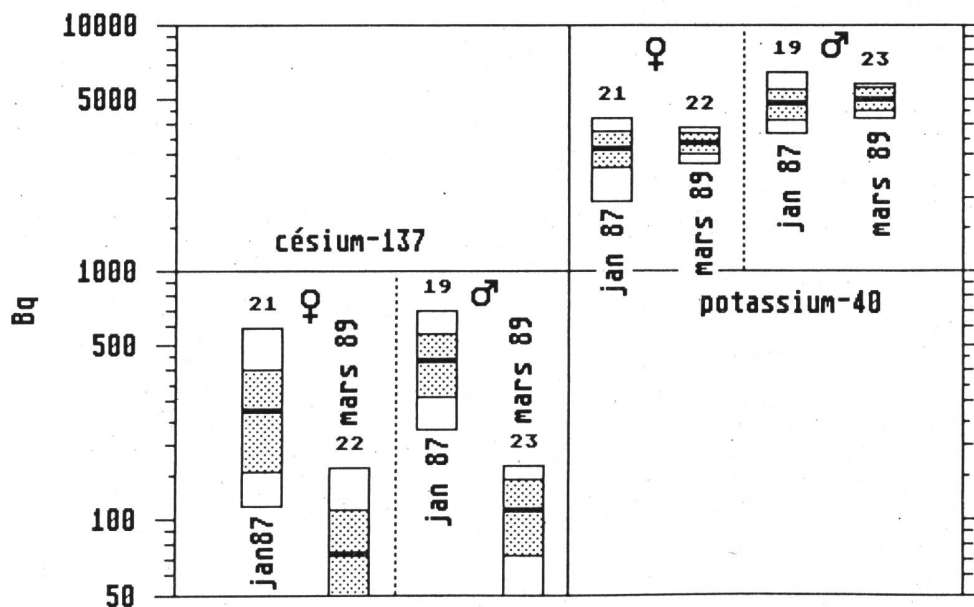


Fig.3.37.a: mesures au corps entier Genève



écolières et écoliers de Bâle (20 ans)

Fig.3.37.b: mesures au corps entier Genève



écolières et écoliers de Genève (17-20 ans)

Fig. 3.37.c:
mesures au corps entier 1986-88: Cs-134 + Cs-137

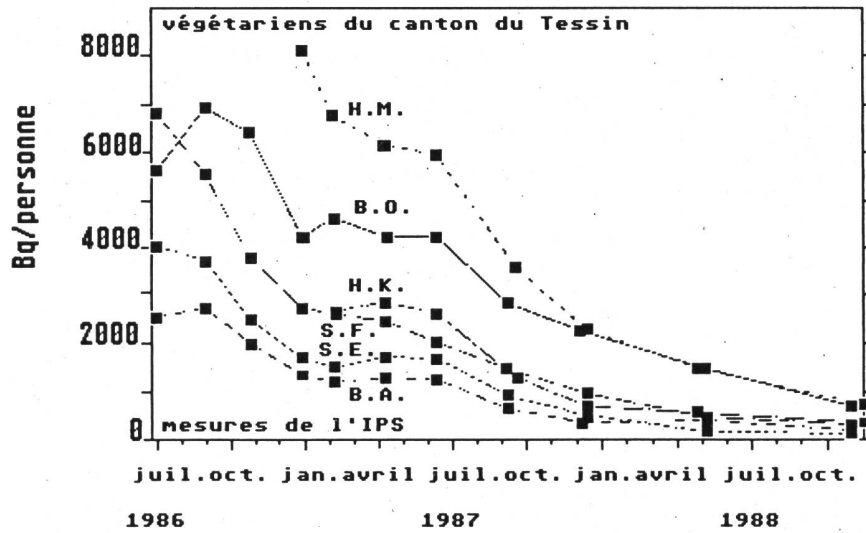


Fig. 3.37.d:
mesures au corps entier 1986-88: Cs-134 + Cs-137

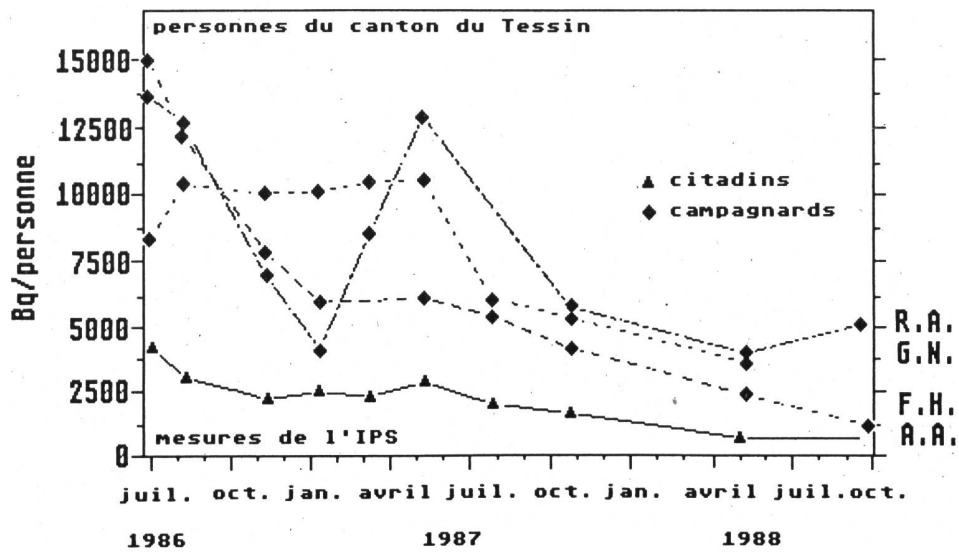


Fig. 3.37.e:
mesures au corps entier 1986/1989: Cs-134 + Cs-137

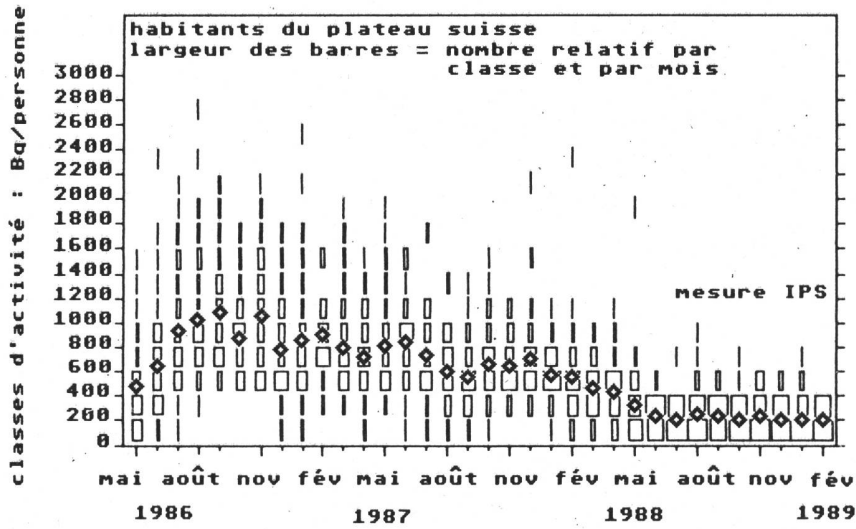


Fig. 3.37.f:
mesures au corps entier 1986/1989: Cs-134 + Cs-137

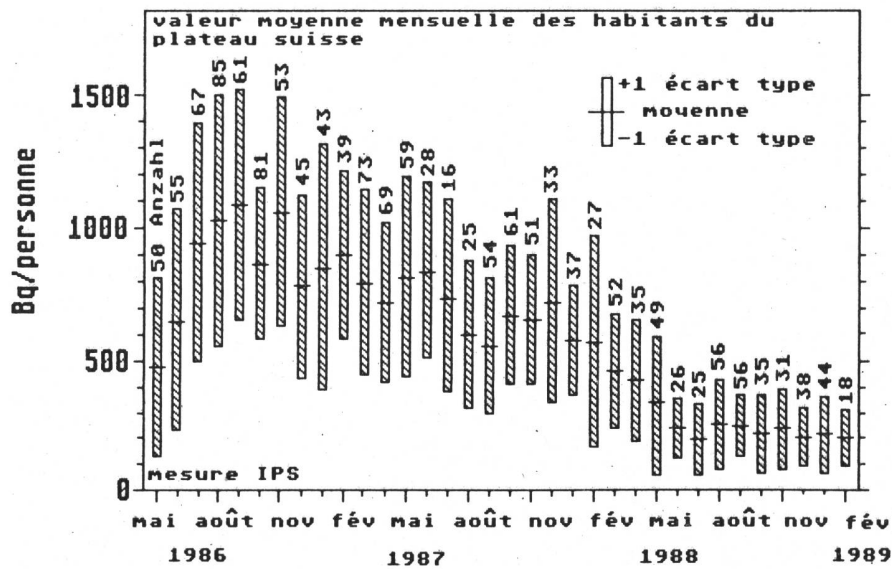


Fig. 3.37.g: mesures d'urine 1986/1989: Cs-134 + Cs-137

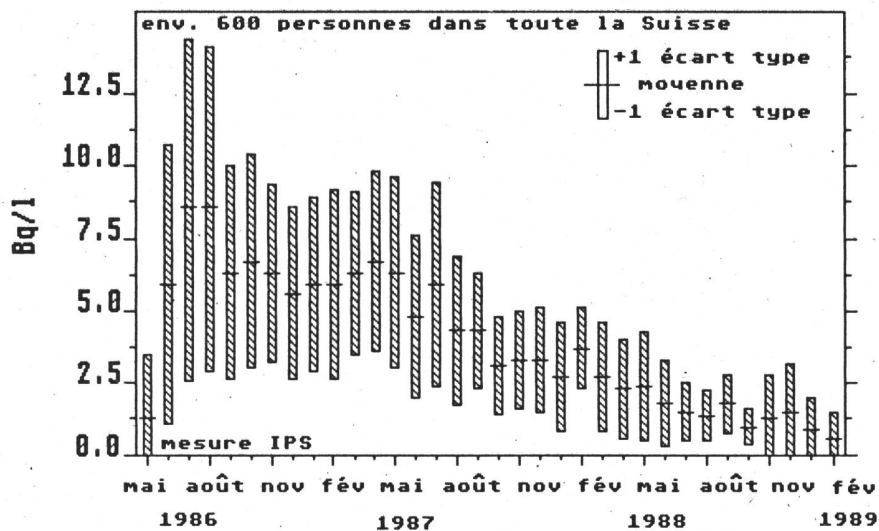
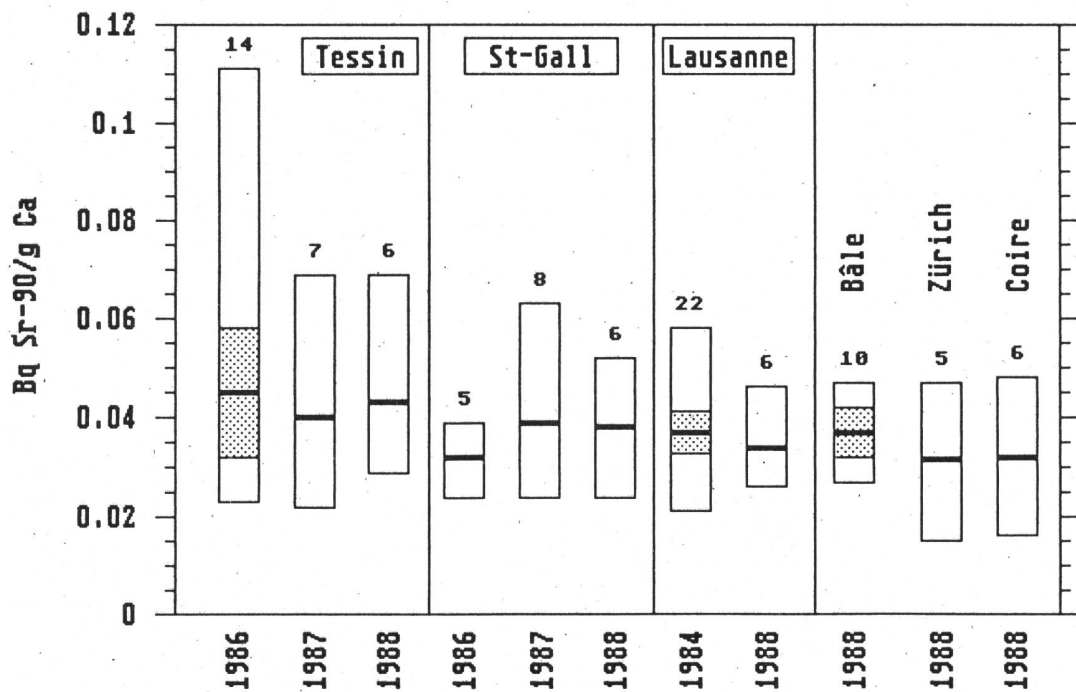


Fig.3.38: Sr-90 dans les vertèbres



Pour obtenir des valeurs correspondantes au squelette entier, les valeurs des vertèbres sont à multiplier avec un facteur 0.55.